



ใบรับรองวิทยานิพนธ์
บัณฑิตวิทยาลัย มหาวิทยาลัยเกษตรศาสตร์

วิทยาศาสตรมหาบัณฑิต (ศรีวิทยาทางสัตว์)

ปริญญา

ศรีวิทยาทางสัตว์

สาขา

ศรีวิทยา

ภาควิชา

เรื่อง ความเครียดจากปฏิกิริยาออกซิเดชัน ในการเก็บรักษาเม็ดเลือดแดงของสุนัข

Oxidative Stress in Canine Red Blood Cells Storage

นามผู้วิจัย นายธนานิทร์ สิงกันยา

ได้พิจารณาเห็นชอบโดย

อาจารย์ที่ปรึกษาวิทยานิพนธ์หลัก

(ผู้ช่วยศาสตราจารย์ หม่อมหลวงสุนทรานี ทองใหญ่, Dr.3e Cycle.)

อาจารย์ที่ปรึกษาวิทยานิพนธ์ร่วม

(ผู้ช่วยศาสตราจารย์ชนินทร์ ติรัตนวนิช, Ph.D.)

อาจารย์ที่ปรึกษาวิทยานิพนธ์ร่วม

(รองศาสตราจารย์ณรงค์ จีสมานญาติ, Ph.D.)

หัวหน้าภาควิชา

(รองศาสตราจารย์อภัสสรา ชูเทกะ, Dr.rer.nat.)

บัณฑิตวิทยาลัย มหาวิทยาลัยเกษตรศาสตร์รับรองแล้ว

(รองศาสตราจารย์กัญจนा ธีระกุล, D.Agr.)

คณบดีบัณฑิตวิทยาลัย

วันที่ เดือน พ.ศ.

สิงหาคม มหาวิทยาลัยเกษตรศาสตร์

วิทยานิพนธ์

เรื่อง

ความเครียดจากปฏิกิริยาออกซิเดชัน ในการเก็บรักษาเม็ดเลือดแดงของสุนัข

Oxidative Stress in Canine Red Blood Cells Storage

โดย

นายชานินทร์ สิงกันยา

เสนอ

บัณฑิตวิทยาลัย มหาวิทยาลัยเกษตรศาสตร์

เพื่อความสมบูรณ์แห่งปริญญาวิทยาศาสตร์มหาบัณฑิต (สาขาวิทยาทางสัตว์)

พ.ศ. 2553

สิงห์ นิตาวิทยาลัยเกษตรศาสตร์

รายงานที่ สิงคันยา 2553: ความเครียดจากปฏิกริยาออกซิเดชัน ในการเก็บรักษาเม็ดเลือดแดงของสุนัข
ปริญญาวิทยาศาสตรมหาบัณฑิต (ศรีวิทยาทางสัตว์) สาขาวิชาระบบทั่วไป ภาควิชาศรีวิทยา
อาจารย์ที่ปรึกษาวิทยานิพนธ์หลัก: ผู้ช่วยศาสตราจารย์ หมื่นอม惶วงศ์สุนทรานี ทองไหสู่, Dr.3^{eme} Cycle.
86 หน้า

ปัญหาที่สำคัญในการเก็บรักษาเลือดในธนาคารเลือด คือภาวะเครียดจากปฏิกริยาออกซิเดชันของเม็ดเลือดแดงซึ่งมีการศึกษาอย่างกว้างขวางในธนาคารเลือดของคน แต่ในการเก็บรักษาเลือดสุนัขบังไม่ปรากฏข้อมูลนี้ได้ทำการศึกษาเพื่อเป็นข้อมูลในการใช้เลือดสุนัขอย่างมีประสิทธิภาพ โดยใช้เลือดที่บรรจุจากสุนัขภาคี 7 ตัว และเก็บรักษาสภาพเลือดโดยใช้ถุงเลือดมาตรฐานที่บรรจุสารรักษาสภาพเซลล์ (CPDA) แบ่งการวิเคราะห์เป็น 5 ระดับ คือ C: เลือดที่เก็บก่อนใส่ในถุงเลือดมาตรฐานที่มีสาร CPDA 0: เลือดที่เก็บในถุงเลือดที่บรรจุสาร CPDA นาน 3 ชั่วโมง 14: เลือดที่เก็บในถุงเลือดที่บรรจุสาร CPDA 14 วัน 28: เลือดที่เก็บในถุงเลือดที่บรรจุสาร CPDA 28 วัน และ 42: เลือดที่เก็บในถุงเลือดที่บรรจุสาร CPDA 42 วัน จากนั้นทำการทดลองเพื่อยืนยันความเสียหายที่เกิดจากภาวะเครียดจากปฏิกริยาออกซิเดชัน โดยวิเคราะห์ความเข้มข้นของ กลูต้าไธโอน ซึ่งบ่งบอกถึงสถานะการทำงานของสารต้านอนุมูลอิสระภายในเซลล์ ประเมินความสามารถรวมของสารต้านอนุมูลอิสระ (TAC) ในพลาสมา และความเข้มข้นของ malondialdehyde (MDA) และปริมาณคาร์บอนิลโปรตีน ซึ่งเป็นค่านิยมที่บ่งชี้การเกิดปeroxideออกซิเดชันของไขมัน และออกซิเดชันของโปรตีน ตามลำดับ ตลอดจนทำการศึกษาผลกระทบต่อความอุดรอดของเซลล์เม็ดเลือดแดง โดยการวัดค่าความเปร่า (MCF) และปริมาตรอัดแน่นของเม็ดเลือดแดง (Hct)

ผลการศึกษาพบว่าระดับกลูต้าไธโอนลดลงอย่างมีนัยสำคัญ ($P<0.05$) เมื่อเก็บรักษาเลือดนานถึง 14 วัน แต่การลดลงของกลูต้าไธโอนหลังจาก 14 ถึง 42 วัน ไม่มีนัยสำคัญทางสถิติ การเปลี่ยนแปลงนี้อาจมีผลมาจากการปฏิกริยาออกซิเดชันของเซลล์เม็ดเลือดแดง ทำให้การทำงานของสารต้านอนุมูลอิสระภายในเซลล์ลดลง เกิดภาวะเสียสมดุลของเซลล์ และเป็นจุดเริ่มต้นของการทำลายเซลล์จากปฏิกริยาออกซิเดชัน การลดลงของ TAC ในพลาasma ของเลือดที่เก็บรักษานาน 3 ชั่วโมง (0) เมื่อเทียบกับ C แสดงถึงการทำงานที่ลดลงของสารต้านอนุมูลอิสระในพลาasma ด้วย อนึ่ง เมื่อเก็บรักษาเลือดนานถึง 14 28 และ 42 วัน พบว่า TAC เพิ่มขึ้นอย่างมีนัยสำคัญ อาจเนื่องมาจากการเคลื่อนย้ายของสารต้านอนุมูลอิสระสู่พลาasma เมื่อพิจารณาร่วมกับค่า MCF ที่เพิ่มขึ้น จากการทำงานที่ลดลงของสารต้านอนุมูลอิสระส่งผลเพิ่มทั้งออกซิเดชันของไขมัน (MDA) และ โปรตีน (ปริมาณคาร์บอนิลโปรตีน) อย่างมีนัยสำคัญ ซึ่งเมื่อพิจารณาร่วมกับค่า MCF ที่เพิ่มขึ้น และ Hct ที่ลดลง อย่างมีนัยสำคัญที่ 28 และ 42 วัน เป็นการยืนยันถึงความเสียหายจากภาวะเครียดจากปฏิกริยาออกซิเดชันระหว่างการเก็บรักษาเลือด ที่มีผลต่อโมเลกุลไขมันและโปรตีนของเซลล์ ส่งผลต่อโครงสร้างและการทำงาน ของเชลล์ นำไปสู่การทำลายเซลล์ ดังนั้น การเก็บเลือดสุนัขนานถึง 28 วันอาจไม่มีประสิทธิภาพในการรักษาสัตว์ป่วย

Thanin Singkanya 2010: Oxidative Stress in Canine Red Blood Cells Storage. Master of Science (Animal Physiology), Major Field: Animal Physiology, Department of Physiology.
Thesis Advisor: Assistant Professor ML. Soontaranee Tongyai, Dr.3e Cycle. 86 pages.

Oxidative stress of red blood cells was a major problem in blood storage which has been extensively studied in human blood bank but not in canine banked red blood cells. The present study was conducted to obtain the information for effective use of canine blood. Blood collected from 7 healthy donor dogs and stored in a standard blood storage bag containing citrate phosphate dextrose adenine (CPDA) was sampled in 5 successive durations: fresh whole blood before storage in CPDA (C), 3 hours after storage in CDPA (0), 14 days (14), 28 days (28) and 42 days (42) of storage. To confirm the oxidative damage of cells, analyses were conducted on glutathione (GSH) concentration as indicator of cellular antioxidant status, the activity of total antioxidant capacity (TAC) in the plasma, malondialdehyde (MDA) and protein carbonyl content as indicators of lipid peroxidation and protein oxidation, respectively. Moreover, affects on red cells survival were measured using of Mean Corpuscular Fragility (MCF) and Hematocrit (Hct) levels.

The results revealed that GSH decreased significantly when stored up to 14 days. However the continuing reduction of glutathione after 14 days until 42 days was not significant. This change might have resulted from oxidative modification of stored red blood cell causing a decline in antioxidant defense system thus leading to cellular imbalance and initiation of oxidative cell damage. TAC reduction in plasma at 0 when compared to C also demonstrated reduced plasma antioxidant function. However, when stored blood from 14, 28 to 42 days, plasma TAC increased significantly which could be due to the leakage of antioxidants to plasma taking into consideration of the elevation of the MCF. The declination of antioxidant activity significantly elevated both oxidative indicators of lipid (MDA) and protein (carbonyl protein content). Thus, when considered with the significant elevation of MCF and reduction of Hct ($P<0.05$) at 28 and 42 days of storage confirmed the occurrence of oxidative stress under prolong storage leading to the damage of lipid and protein of red blood cell and consequently to the membrane lipid structure and function of the cells, eventually causing cell deterioration. Therefore, canine red blood cells storage up to 28 days may not provide maximal effective treatment.

Student's signature

Thesis Advisor's signature

กิตติกรรมประกาศ

วิทยานิพนธ์ฉบับนี้สามารถเสรีจลุ่งไปได้ ด้วยการสนับสนุน และช่วยเหลือของ คณาจารย์ในภาควิชาสรีวิทยาที่ประสิทธิประสาทวิชาการต่างๆ ให้แก่ตัวเข้าเพื่อเจียนสามารถทำงาน ได้อย่างราบรื่น โดยเฉพาะอย่างยิ่ง ผู้ช่วยศาสตราจารย์หมื่นหลวงสุนทรานี ทองใหญ่ ประธานกรรมการที่ปรึกษาวิทยานิพนธ์ ที่กรุณายังให้คำปรึกษา ข้อซึ้งแนะ และแนะนำไปในทางที่ถูกต้องใน ระหว่างการดำเนินงานวิจัยมาโดยตลอด ตลอดจนการตรวจสอบแก้ไขวิทยานิพนธ์ให้สมบูรณ์ ขอ กราบขอบพระคุณ ผู้ช่วยศาสตราจารย์ชนินทร์ ติรัตนวนานิช ที่ให้คำแนะนำในการวางแผนการ วิจัย และการวิเคราะห์ผลวิจัยทำให้ผลงานนี้สำเร็จลุ่งไปได้ด้วยดี และขอกราบขอบพระคุณ รอง ศาสตราจารย์มรรค จึงสมานญาติ ที่เคยให้คำแนะนำด้านเนื้องานวิจัยตลอดจนการเลือกใช้ เทคนิคในการวิจัยที่สามารถตอบโจทย์ปัญหาในการทดลอง

ขอกราบขอบพระคุณ รองศาสตราจารย์อาภัสสรา ชูเทศะ ประธานหน่วยงานฯการเลือด โรงพยาบาลสัตว์ มหาวิทยาลัยเกษตรศาสตร์ บางเขน และบุคลากรในหน่วยงานฯการเลือดที่เคย ช่วยเหลือในการเก็บตัวอย่าง ตลอดจนสุนัขที่ให้เลือดและเจ็บของสุนัข ที่อนุเคราะห์ตัวอย่างเลือด สุนัข ทำให้งานวิจัยสามารถดำเนินไปได้อย่างราบรื่น

ขอขอบคุณภาควิชาสรีวิทยา คณะสัตวแพทยศาสตร์ มหาวิทยาลัยเกษตรศาสตร์ และ นักวิทยาศาสตร์ทุกท่านที่อ่านความสะความใน การดำเนินกิจกรรมด้านงานวิจัย ทั้งด้านห้องวิจัย และเครื่องมือที่ใช้ในการวิเคราะห์

สุดท้ายขอกราบขอบพระคุณครอบครัวของข้าพเจ้าที่เคยสนับสนุนทั้งกำลังใจ และ ทุนการศึกษาให้กับข้าพเจ้า ให้สามารถบรรลุอุปสรรคต่างๆ ตลอดจนสามารถแก้ไขปัญหาที่ เกิดขึ้นระหว่างดำเนินงานวิจัยนั้นไปได้ด้วยดี สุดท้ายนี้ คุณค่าและประโยชน์จากวิทยานิพนธ์ เล่มนี้ขอมอบแด่ มหาวิทยาลัยเกษตรศาสตร์ และหวังเป็นอย่างยิ่งว่าวิทยานิพนธ์เล่มนี้จะมี ประโยชน์ต่องานพัฒนาคุณภาพเลือดที่เก็บในธนาคารเลือด เพื่อนำไปสู่การวิจัยเพื่อต่อยอดองค์ ความรู้ด้านการพัฒนานางานวิจัย และการประยุกต์ใช้ทางอาชญาศาสตร์การถ่ายเลือดในสัตว์ต่อไป

ชนินทร์ สิงกันยา

มกราคม 2553

สารบัญ

หน้า

สารบัญ	(1)
สารบัญตาราง	(2)
สารบัญภาพ	(3)
คำนำ	1
วัดคุณประสงค์	3
การตรวจสอบสาร	4
อุปกรณ์และวิธีการ	30
อุปกรณ์	30
วิธีการ	33
ผลและวิจารณ์	39
สรุปและข้อเสนอแนะ	52
สรุป	52
ข้อเสนอแนะ	54
เอกสารและสิ่งอ้างอิง	55
ภาคผนวก	71
ประวัติการศึกษาและการทำงาน	86

สารบัญตาราง

ตารางที่	หน้า
1 แสดงชนิดโปรตีนที่เยื่อหุ้มเซลล์เม็ดเลือดแดงของคน วิเคราะห์โดยวิธี Gel Electrophoresis	5
2 แสดงผลการตรวจสุขภาพของสุนัขที่ใช้ในการศึกษา	39
3 การเปรียบเทียบค่าความเข้มข้นของกลูต้าไธโอน (Glutathione concentration) ก่อน และหลังใส่ในถุงเลือดที่มีสาร CPDA	41
4 ค่าความเข้มข้นของกลูต้าไธโอน (Glutathione concentration) ในระหว่างการเก็บรักษาเลือด	41
5 การเปรียบเทียบค่าความสามารถรวมของสารต้านอนุมูลอิสระ (Total Antioxidant Capacity: TAC) ก่อน และหลังใส่ในถุงเลือดที่มีสาร CPDA	43
6 ค่าความสามารถรวมของสารต้านอนุมูลอิสระ (Total Antioxidant Capacity: TAC) ในระหว่างการเก็บรักษาเลือด	43
7 การเปรียบเทียบค่าความเข้มข้นของ Malondialdehyde (MDA) ก่อน และหลังใส่ในถุงเลือดที่มีสาร CPDA	44
8 ค่าความเข้มข้นของ Malondialdehyde (MDA) ในระหว่างการเก็บรักษาเลือด	45
9 การเปรียบเทียบค่าความเข้มข้นของคาร์บอนิลโปรตีน ก่อน และหลังใส่ในถุงเลือดที่มีสาร CPDA	47
10 ค่าความเข้มข้นของคาร์บอนิลโปรตีน ในระหว่างการเก็บรักษาเลือด	47
11 การเปรียบเทียบค่าความประจำของเม็ดเลือดแดง (Mean Corpuscular Fragility; MCF) ก่อน และหลังใส่ในถุงเลือดที่มีสาร CPDA	49
12 ค่าความประจำของเม็ดเลือดแดง (Mean Corpuscular Fragility; MCF)	49
13 การเปรียบเทียบค่าปริมาตรเซลล์เม็ดเลือดแดงอัดแน่น (Hematocrit; Hct) ก่อน และหลังใส่ในถุงเลือดที่มีสาร CPDA	50
14 ค่าปริมาตรเซลล์เม็ดเลือดแดงอัดแน่น (Hematocrit; Hct) ในระหว่างการเก็บรักษาเลือด	51

สารบัญภาพ

ภาพที่	หน้า
1 แบบจำลองโครงสร้างของโปรตีนที่เยื่อหุ้มเซลล์เม็ดเลือดแดง	6
2 การสร้างอนุมูลอิสระ และการป้องกันของร่างกาย	9
3 แสดงโครงสร้างทางเคมีของ Malondialdehyde (MDA) และ Hydroxynonenal (HNE) จากกระบวนการเปอร์ออกซิเดชันของไขมัน (lipid peroxidation)	11
4 กระบวนการเกิดการบอนิลโปรตีน ที่ได้จากการออกซิเดชันของโปรตีน	13
5 การเปลี่ยนแปลงของเบสกั่วนีน จากปฏิกิริยาออกซิเดชัน	14
6 กระบวนการทำลายเยื่อหุ้มเซลล์ของเซลล์เม็ดเลือดแดง จากอนุมูลอิสระ	18
7 ภาพแสดงกระบวนการสร้างและบทบาทกลูต้าไธโอน (GSH) ในการป้องกันภาวะออกซิเดชัน	20
8 กลไกการเกิดภาวะเครียดจากปฏิกิริยาออกซิเดชัน และกลไกการป้องกันของเซลล์เม็ดเลือดแดง	22
9 กระบวนการทำลายเซลล์เซลล์เม็ดเลือดแดงจากโปรตีนในพลาสมา	24
10 ปฏิกิริยาการวิเคราะห์กลูต้าไธโอน (GSH) ด้วยวิธี enzymatic recycling method	35
11 ปฏิกิริยาระหว่าง TPTZ กับ Fe^{2+}	36
12 ปฏิกิริยาระหว่าง TBA และ MDA	37
13 ปฏิกิริยาระหว่าง DNPH กับการบอนิลโปรตีน	38
14 กราฟแสดงค่า % Hemolysis ของเลือดก่อนเข้าถุงเลือด (C) หลังเข้าถุงเลือด 3 ชั่วโมง (0) 14 28 และ 42 ตามลำดับ	50
15 แสดงกลไกการทำลายเซลล์เม็ดเลือดแดงในระหว่างการเก็บรักษาเลือด	53

สารบัญภาพ (ต่อ)

ภาพนวักที่	หน้า
1 ปฏิกริยาการวิเคราะห์ GSH ด้วยวิธี enzymatic recycling method.	72
2 กราฟมาตรฐานแสดงความเข้มข้นของกลูต้าไนโตรอน (GSH)	75
3 ปฏิกริยาระหว่าง TPTZ กับ Fe^{2+}	76
4 กราฟมาตรฐานแสดงความเข้มข้นของเหล็กเฟอร์ริก	78
5 ปฏิกริยาระหว่าง TBA และ MDA	79
6 กราฟมาตรฐานแสดงความเข้มข้น malondialdehyde (MDA)	81

ความเครียดจากปฏิกิริยาออกซิเดชันในการเก็บรักษาเม็ดเลือดแดงของสุนัข

Oxidative Stress in Canine Red Blood Cells Storage

คำนำ

การเก็บรักษาเม็ดเลือดของคนมักประสบปัญหาการเปลี่ยนแปลงคุณภาพของเซลล์เม็ดเลือดแดงตามระยะเวลาการเก็บรักษา ส่งผลต่อความอยู่รอดของเซลล์เม็ดเลือดแดง แม้จะมีสาร Citrate Phosphate Dextrose Adenine (CPDA) ในการเก็บรักษาสภาพเซลล์ แต่เมื่อถึงระยะเวลาหนึ่งเซลล์จะสูญเสียการทำงาน (Dumaswala *et al.*, 1996) จากการศึกษาความเสียหายของเซลล์เม็ดเลือดแดงที่เก็บในธนาคารเลือดของคนแสดงให้เห็นถึงการเปลี่ยนแปลงที่เกิดขึ้นในระหว่างการเก็บรักษาเม็ดเลือด โดยมีสาเหตุหลักมาจากการความเครียดเนื่องจากปฏิกิริยาออกซิเดชัน (oxidative stress) (Kriebardis *et al.*, 2006)

ความเครียดจากปฏิกิริยาออกซิเดชันเป็นเรื่องที่มีการศึกษาอย่างกว้างขวาง จากผลที่ทำให้เกิดความเสียหายต่อเซลล์ต่างๆ ภายในร่างกาย ซึ่งมีสาเหตุมาจากอนุมูลอิสระ (free radical) เช่น ทำลายสารชีวโมโนเกลุคที่สำคัญที่เป็นองค์ประกอบของเซลล์ทั้งโปรตีน และไขมัน (Dorge, 2002) เป็นเหตุทำให้เซลล์ทำหน้าที่ผิดปกติไป และนำไปสู่การตายของเซลล์ (Buttke and Sandstrom, 1994)

เนื่องจากเซลล์เม็ดเลือดแดงของสัตว์เลี้ยงลูกด้วยนมเป็นกลุ่มเซลล์ที่ไม่มีนิวเคลียส (nucleus) ไม่โตกอนเดรีย และ ออร์กอแแนลล์ อื่นๆ ภายในเซลล์ (Ozben, 1998) จึงไม่สามารถสังเคราะห์กรดนิวคลีอิก โปรตีน และไขมัน อีกทั้งยังใช้วิตามินโภคไซต์เป็นวิตามินในการผลิตพลังงานในกระบวนการเมแทบoliซึมภายในเซลล์ (Hamasaki and Yamamoto, 2000) เซลล์เม็ดเลือดแดงจะสัมผัสกับอนุมูลอิสระทั้งภายในและภายนอกเซลล์ จึงมีการพัฒนาระบบป้องกันเพื่อคงความอยู่รอดของเซลล์ (Ozben, 1998) โดยภายในเซลล์เม็ดเลือดแดงจะมีสารต้านหรือกำจัดอนุมูลอิสระ (antioxidant) ที่สำคัญ คือ กลูตაไธโอน (glutathione; GSH) ที่มีคุณสมบัติในการทำงานเป็นตัวรีดิวเซอร์ (reducing agent) เพื่อรักษาสมดุลการทำงานของเซลล์ (Anderson, 1998)

เซลล์เม็ดเลือดแดงมีบทบาทสำคัญในการขนส่งออกซิเจนไปให้เนื้อเยื่อ แต่การทำงานดังกล่าวจะเสื่อมสภาพลงในระหว่างการเก็บรักษาเซลล์ในธนาคารเลือด แม้จะมีการใช้สารช่วย

รักษาสภาพเซลล์ (liquid preservation) ซึ่งช่วยให้สามารถเก็บรักษาเซลล์เม็ดเลือดแดงได้นานขึ้น แต่อัตราการอยู่รอดของเซลล์หลังจากการให้เลือด และความสามารถในการทนส่องอกซิเจนจะลดลง (Hamasaki and Yamamoto, 2000) เนื่องจากมีการเปลี่ยนแปลงทางชีวเคมีของโปรตีนในเยื่อหุ้มเซลล์ (membrane protein) และทางพยาธิวิทยาในระหว่างการเก็บรักษาเซลล์ (Dumaswala *et al.*, 1996) อีกทั้งโปรตีนที่อยู่ในพลาสม่ามีส่วนในการทำลายเซลล์เม็ดเลือดแดง ยิ่งส่งผลต่อการเพิ่มระดับความเสียหายมากขึ้น สาเหตุดังกล่าวก่อความเครียดต่อเซลล์ (cellular stress) (Geldwerth *et al.*, 1993) โดยระดับความเครียดจากปฏิกิริยาออกซิเดชันใช้บ่งถึงความรุนแรง และความเสียหายในระยะต่างๆ ของการเก็บรักษาเลือด เพื่อให้ทราบถึงความเหมาะสมของการใช้เลือดในการรักษาสัตว์ป่วย ความอยู่รอดของเซลล์เม็ดเลือดแดงหลังการให้เลือดที่ต่ำลง อาจทำให้การทนส่องอกซิเจนหลังการให้เลือดด้อยประสิทธิภาพ และส่งผลกระทบต่อการรักษาและฟื้นฟูสุขภาพ

การให้เลือดมีจุดประสงค์หลักประการ และสามารถใช้ผลิตภัณฑ์จากการแยกส่วนประกอบของเลือด ได้หลายชนิด งานวิจัยนี้ทำการศึกษาในผลิตภัณฑ์เลือดชนิดโอลิตรูบส่วน (whole blood) ในขนาดการเลือดของสุนัข (1) เพื่อศึกษาผลการเกิดภาวะเครียดจากปฏิกิริยาออกซิเดชันในระหว่างการเก็บรักษาเลือด โดยใช้ดัชนีชี้วัดระดับความเครียดของเซลล์ที่เกิดจากปฏิกิริยาออกซิเดชัน คือ ระดับความเข้มข้นของกลูต้าไธโอน (GSH) และความสามารถรวมของสารต้านอนุมูลอิสระ (total antioxidant capacity; TAC) (2) เพื่อศึกษาระบบการป้องกันของเซลล์เม็ดเลือดแดงในระหว่างการเก็บรักษาเลือด แล้วตรวจสอบผลที่เกิดขึ้นระหว่างการเก็บรักษาเลือด โดยใช้ผลผลิตสุดท้ายจากปฏิกิริยาเปอร์ออกซิเดชันของไขมัน (malondialdehyde;MDA) และออกซิเดชันของโปรตีน (คาร์บอนิล โปรตีน) ในพลาasma ในการบ่งบอกถึงความเสียหายต่อโครงสร้างเยื่อหุ้มเซลล์ และต่อเซลล์โดยรวม ตลอดจน (3) ทำการศึกษาความเปลี่ยนแปลงของคุณสมบัติเยื่อหุ้มเซลล์ที่แสดงออกในลักษณะระดับความเปราะแตกง่าย (Mean Corpuscular Fragility; MCF) และตรวจสอบปริมาตรเม็ดเลือดแดงอัดแน่น (Hematocrit) เพื่อแสดงถึงความอยู่รอดของเซลล์ในระหว่างการเก็บรักษาเลือด ตลอดจนใช้เป็นข้อมูลพื้นฐานให้ทราบถึงระยะเวลาและปัญหาที่เกิดกับเลือดสุนัขที่เก็บรักษาในขนาดการเลือด ซึ่งจะเป็นประโยชน์ในการใช้เลือดให้เกิดประสิทธิภาพสูงสุด

วัตถุประสงค์

1. เพื่อศึกษาการเกิดภาวะเครียดเนื่องจากปฏิกิริยาออกซิเดชัน (oxidative stress) ในเซลล์เม็ดเลือดแดงสูนข
2. เพื่อศึกษาผลของภาวะเครียดเนื่องจากปฏิกิริยาออกซิเดชัน ต่อเม็ดเลือดที่กู้ภัยรักษาในขนาดการเลือด และประเมินความเสียหายของเม็ดเลือดที่กู้ภัยรักษาเป็นระยะ
3. เพื่อศึกษาการทำงานของสารต้านอนุมูลอิสระของเซลล์เม็ดเลือดแดง เพื่อที่จะนำไปเป็นข้อมูลพื้นฐานในการรักษาสภาพของเซลล์เม็ดเลือดแดงให้มีประสิทธิภาพมากขึ้น
4. เพื่อศึกษาคุณภาพของเม็ดเลือดในแต่ละช่วงเวลาการกู้ภัยรักษาที่ยังคงมีประสิทธิภาพมากที่สุดในการถ่ายโอนให้ผู้รับ
5. เพื่อประเมินความเสียหายของเม็ดเลือดแดงในช่วงเวลาต่างๆ ที่กู้ภัยรักษาในสาร Citrate Phosphate Dextrose Adenine (CPDA)

การตรวจเอกสาร

เม็ดเลือดแดงและปัญหาการเก็บรักษาในธนาคารเลือด

เลือดที่เก็บรักษาในธนาคารเลือดมีการเปลี่ยนแปลงทั้งทางชีวเคมี พยาธิวิทยา และโครงสร้าง ถึงจะมีสารช่วยรักษาสภาพเซลล์ เมื่อถึงระยะเวลาหนึ่งเซลล์เม็ดเลือดแดงจะลดการทำงานส่งผลต่อการใช้เลือดที่ไม่มีประสิทธิภาพกับผู้รับเลือด (Dumaswala *et al.*, 1996; Kriebardis *et al.*, 2006) ปัญหาเหล่านี้มีการศึกษาในเซลล์เม็ดเลือดแดงที่เก็บรักษาในธนาคารเลือดของคน โดยการเปลี่ยนแปลงต่างๆที่เกิดขึ้นในระหว่างที่เก็บรักษาเลือดมีสาเหตุหลักมาจากการเครียดนี้ของจากปฏิกิริยาออกซิเดชัน (oxidative stress) (Kriebardis *et al.*, 2006)

เนื่องจากเยื่อหุ้มเซลล์ของเม็ดเลือดแดงเป็นเป้าหมายแรกที่จะเกิดความเสียหายภายในอิทธิพลของระยะเวลาในการเก็บรักษาเลือด จึงเป็นตัวบ่งชี้สำคัญถึงผลกระทบต่อการเก็บรักษาต่อการใช้ในการรักษาทางคลินิก การเปลี่ยนแปลงของรูปร่างเซลล์เม็ดเลือดแดงเกี่ยวข้องกับองค์ประกอบและการทำงานของโปรตีนโครงสร้าง (cytoskeletal proteins) ที่ขัดอยู่กับเยื่อหุ้มเซลล์ (ภาพที่ 1 และตารางที่ 1) และต้องอาศัยพลังงานซึ่งมักคลองในสภาวะการเก็บรักษา การสูญเสียคุณสมบัติความสามารถในการเปลี่ยนแปลงรูปร่างจะทำให้การลำเลียงออกซิเจนในเลือดฟ้อยคลองภายในหลังการให้เลือด (Ho, *et al.*, 2003) ผลกระทบนี้อาจเป็นกุญแจสำคัญในการศึกษาหารแนวทางแก้ไขปัญหาที่เกิดขึ้นระหว่างการเก็บรักษาเซลล์เม็ดเลือดแดงในธนาคารเลือดตลอดจนนำไปสู่การเพิ่มคุณภาพเซลล์เม็ดเลือดแดง เพื่อให้มีอัตราการอยู่รอดสูงที่สุด และมีประสิทธิภาพมากที่สุดหลังจากให้เลือดกับตัวรับ

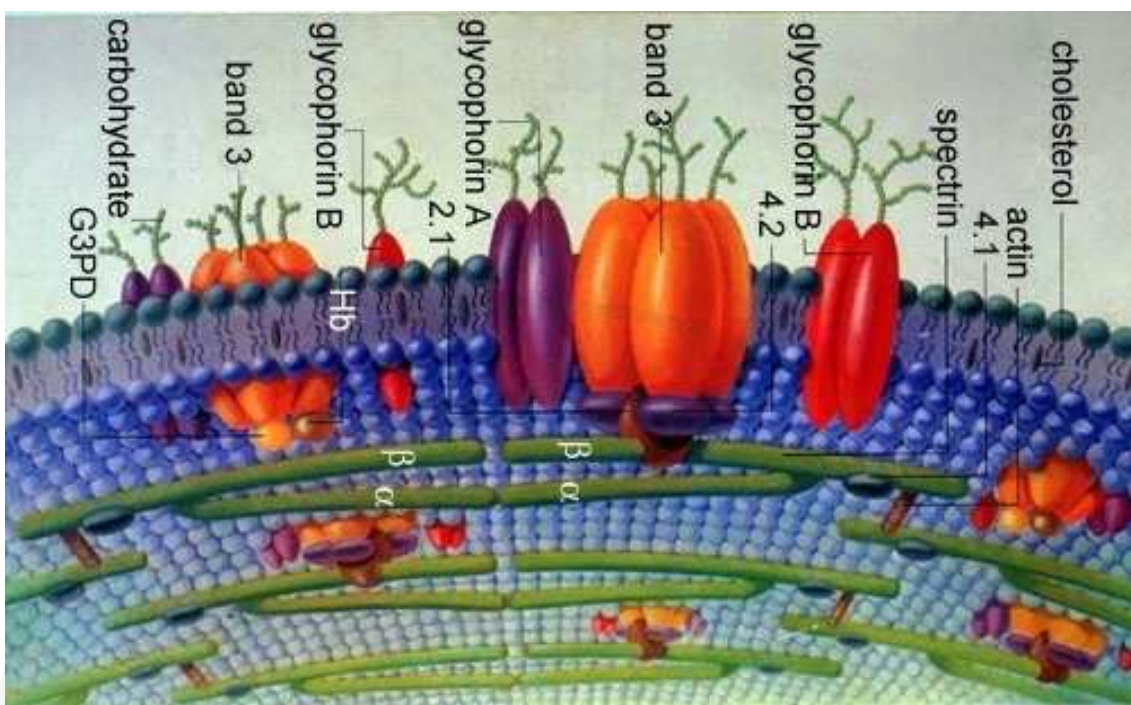
จากการศึกษาเซลล์เม็ดเลือดแดงที่เก็บรักษาในธนาคารเลือด พบว่าเซลล์เม็ดเลือดแดงได้รับความเสียหายนำไปสู่การเปลี่ยนแปลงทั้งทางชีวเคมี (Dumaswala *et al.*, 1996) พยาธิวิทยา (Kriebardis *et al.*, 2006) และ โครงสร้างเซลล์ (ภาพที่ 1) ในระหว่างการเก็บรักษาเซลล์เม็ดเลือดแดงเกิดการสูญเสียโมเลกุลไขมันที่เกี่ยวข้องกับการขนส่งสารผ่านเยื่อเซลล์ เกิดการเปลี่ยนแปลงของฟอสโฟไลปิด (phospholipid) ชนิด ฟอสฟอติดิล เซอร์ีน (phosphatidylserine) ฟอสฟอติดิล เอติโนลาไมน (phosphatidylethanolamine) และฟอสฟอติดิล คอลีน (phosphatidylcholine) (Geldwerth *et al.*, 1993; Trotter and Rumsby, 1981) พร้อมทั้งมีการทำลายโปรตีนที่เยื่อหุ้มเซลล์ชนิดต่างๆ (ตารางที่ 1) (Dumaswala *et al.*, 1996 ; Dumaswala *et al.*, 1997) และฮีโมโกลบิน (hemoglobin) (Jarolim *et al.*, 1990 ; Kriebardis *et al.*, 2006) และยังส่งผลต่อโปรตีนที่ช่วยเสริมการทำงานของ

เยื่อหุ้มเซลล์ (adaptor proteins) เช่น ankyrin (band 2.1) P55, adducin, tropomyosin, myosin และ tropomodulin (Liu and Derick, 1992) การเปลี่ยนแปลงที่เกิดจากภาวะเครียดจากปฏิกิริยาออกซิเดชันเหล่านี้จะนำไปสู่การสูญเสียโครงสร้างของเซลล์เม็ดเลือดแดงที่เก็บรักษาเป็นผลทำให้เซลล์เม็ดเลือดแดงมีรูปร่างที่ผิดปกติไปส่งผลต่อความอยู่รอดของเซลล์ในขณะที่อยู่ในสาร CPDA (Dumaswala *et al.*, 1996)

ตารางที่ 1 แสดงชนิดโปรตีนที่เยื่อหุ้มเซลล์เม็ดเลือดแดงของคน วิเคราะห์โดยวิธี Gel Electrophoresis

Numerical designation of bands in SDS-PAGE	Classification of proteins		Molecular weights
	Inegral	peripheral	
1		Spectrin 1	250,000
2		Spectrin 2	222,000
3	Band 3 proteins		118,000-98,000
(3)	glycophorin		30,000 (monomer)
4.1		Band 4.1 protein	88,000
4.2		Band 4.2 protein	80,000
5		actin	47,000
6		Glyceraldehyde-3-phosphate dehydrogenase	39,500
7		Band 7 protein	32,000

ที่มา: ดัดแปลงจาก Marchesi *et al.* (1976)



ภาพที่ 1 แบบจำลองโครงสร้างทางเคมีของเยื่อหุ้มเซลล์เม็ดเลือดแดงที่ประกอบด้วยลิปิดและโปรตีน

ที่มา : Butterfield (1996)

ผลกระทบทางเคมีจากอนุมูลอิสระที่มีออกซิเจนเป็นองค์ประกอบ ส่งผลต่อโปรตีนของเยื่อหุ้มเซลล์ โดย Reactive Oxygen Species (ROS) สามารถหนันยานำให้เกิดการรวมกลุ่มกันของโปรตีน เกิดการเปลี่ยนแปลงแนวข้างของสายโปรตีน (side chain) โดยมีการสร้างพันธะไดซัลไฟฟ์ กับกรดอะมิโนของโปรตีนข้างเคียง รวมทั้งชาตุโภหะที่ถูกถลายจากปฏิกิริยาออกซิเดชันของโปรตีนจะจับกับหมู่คาร์บอนิล (carbonyl group) ของไอลเซ็น อาร์จินีน โพร์ลีน และ ทรีโวนีน ที่ถูกออกซิไดซ์ในตำแหน่งจำเพาะ นำไปสู่การสร้างสารอนุมูลอิสระที่มีความรุนแรง (Amici *et al.*, 1989)

โดยปกติเม็ดเลือดที่เก็บรักษาในธนาคารเลือดจะผสมสารละลายน้ำ CDPA ซึ่งมีสารที่ป้องกันการแข็งตัวของเม็ดเลือด (citrate) และสารหล่อเลี้ยงให้พลังงาน (dextrose phosphate adenine) เพื่อยืดอายุการเก็บรักษาให้นานขึ้น แต่ถึงแม้จะมีสารที่ช่วยรักษาสภาพของเซลล์ (CPDA) เมื่อเวลาผ่านไปเซลล์เม็ดเลือดแดงก็จะเกิดการเปลี่ยนแปลง และลดความอยู่รอดของเซลล์ลง ทำให้โอกาสที่เซลล์เม็ดเลือดแดงจะอยู่รอดหลังการให้เม็ดเลือดดันน้อดลง (Dumaswala *et al.*, 1999) ในระหว่างการเก็บเลือด มีองค์ประกอบหลายอย่างที่สามารถนำไปสู่กระบวนการออกซิเดชันของเซลล์ และการเกิดอนุมูลอิสระ เช่น superoxide radical (O_2^-), hydrogen peroxide (H_2O_2) และ hydroxyl radical (OH^-)

(Dumaswala *et al.*, 1996) และภาวะที่ มีการสร้างอนุมูลอิสระมากกว่าระบบการป้องกันปฏิกิริยาออกซิเดชัน (antioxidant) มีผลให้เกิดความเสียหายต่อเซลล์ตามมา โดยระบบเอนไซม์ที่ใช้ต่อต้านปฏิกิริยาออกซิเดชัน (antioxidant enzyme systems) ตัวหลักๆ ในเซลล์เม็ดเลือดแดง คือ superoxide dismutase (SOD), glutathione peroxidase (GSH-PX), และ catalase ซึ่งมีหน้าที่หลักในการกำจัดอนุมูลอิสระ และป้องกันการสร้างเมตหีโน้มโกลบิน (methemoglobin) (Lynch *et al.*, 1977) เมตหีโน้มโกลบินต่างจากฮีโน้มโกลบินตรงที่ธาตุเหล็กในโน้มเลกุลของเม็มอยู่ในรูปออกซิไดซ์ คือ Fe^{3+} ซึ่งไม่สามารถจับกับออกซิเจนได้ (Duncan *et al.*, 1994) จึงนำไปสู่การเสื่อมสภาพของเซลล์เม็ดเลือดแดง และเกิดความล้มเหลวในการขนส่งออกซิเจนหลังการให้เลือด ตลอดจนเกิดผลเสียอื่นๆตามมา (Lynch *et al.*, 1977)

การเกิดอนุมูลอิสระ

Free radical หรือ "อนุมูลอิสระ" หมายถึง โน้มเลกุลของสารใดๆ ที่มีอิเลคตรอนเดี่ยวในวงนอกสุด (unpaired electron) (Karlsson, 1997; Bahorun *et al.*, 2006) อิเลคตรอนเดี่ยวที่มีพลังงานสะสมอยู่จะไม่เสถียรและมีความสามารถในการทำปฏิกิริยาสูง ขณะนั้นอนุมูลอิสระจึงพวยยามที่จะเสาะแสวงหาอิเลคตรอนมาจับคู่ โดยการดึงอิเลคตรอนจากสารอื่นๆ และส่วนใหญ่มักจะแย่งได้จากออกซิเจน แม้ว่ากระบวนการดังกล่าวทำให้ได้สารที่มีความคงด้วยขึ้นมาใหม่หนึ่งชนิด แต่ในเวลาเดียวกันสารที่ถูกแย่งอิเลคตรอนก็กลับกลายเป็นสารที่ไม่เสถียร สูญเสียความคงด้วย และต้องพวยยามดึงอิเลคตรอนจากสารตัวอื่นต่อไป ทำให้เกิดปฏิกิริยาลูกลูบ ฯ และนำไปสู่การเสื่อมของเซลล์ต่างๆ ทั่วร่างกาย (Goldfarb, 1999)

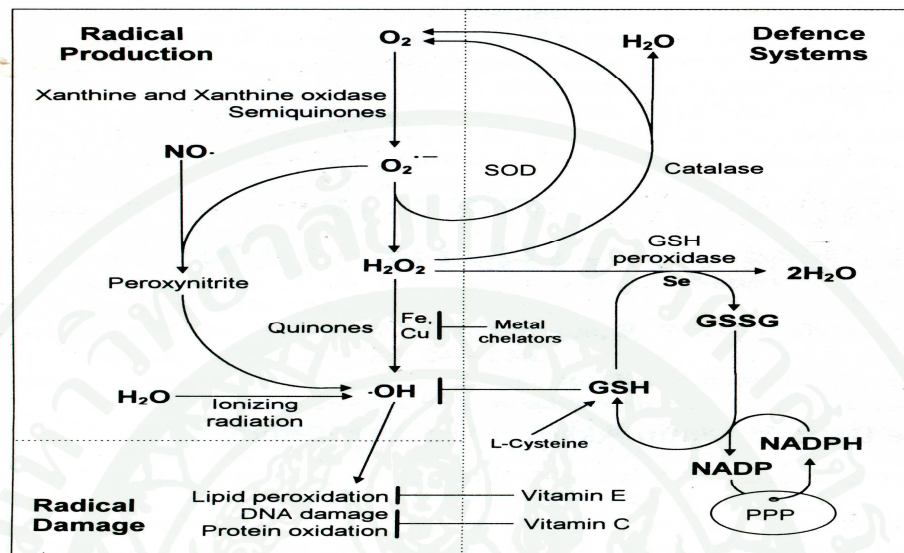
คน และสิ่งมีชีวิตอื่นๆ สามารถทนต่อออกซิเจน (O_2) เนื่องจากอวัยวะต่างๆ ต้องใช้ออกซิเจนในกระบวนการห่วงโซ่การถ่ายทอดอิเลคตรอน (electron transport chains) และระบบการทำงานของเอนไซม์หลายชนิดที่ต้องการออกซิเจนในการทำงาน (Bahorun *et al.*, 2006) ระบบป้องกันของสารต้านอนุมูลอิสระจะช่วยต้านพิษของออกซิเจนโดยจะเกิดขึ้นควบคู่กันไป Reactive oxygen species / Reactive nitrogen species (ROS/RNS) จะถูกสร้างอย่างคงที่ในตัวของสิ่งมีชีวิต โดยมีกระบวนการ 2 ชนิดหลักๆ คือ ROS และ RNS ที่สามารถเกิดขึ้นจากการสร้างโดยไม่ได้ตั้งใจ เช่น การร้าวไหลของอิเลคตรอนไปยังออกซิเจน จากกระบวนการถ่ายทอดอิเลคตรอนในไนโตรคอนเดรีย (mitochondrial electron transport chains) เยื่อหุ้มนิวเคลียส (nuclear membrane) และ endoplasmic reticulum (xenobiotic metabolism) การสังเคราะห์ prostaglandin เซลล์ตับ (hepatocytes) และ cytochrome P-450 ทำให้เกิดการสร้างอนุมูลอิสระตามมา (Yu, 1994) โดยกระบวนการหลักที่

นำไปสู่การสร้างอนุมูลชูปเปอร์ออกไซด์ (O_2^-) คือ กระบวนการบนส่วนอิเล็กตรอนที่เกี่ยวข้องกับ ubiquinone-cytochrome *b* ใน mitochondrial membrane ซึ่งเป็นตำแหน่งที่สำคัญที่สุดของการสร้างอนุมูลชูปเปอร์ออกไซด์ มีการประเมินว่า ประมาณ 1-3% ของการหายใจจะถูกเปลี่ยนไปเป็นอนุมูลชูปเปอร์ออกไซด์ (Karlsson, 1997) โดยจะมีการเพิ่มขึ้นในช่วงที่มีการสร้างพลังงานเพิ่มขึ้น ซึ่งเซลล์ที่จับกินเชื้อโรค (phagocytic cells) เช่น neutrophils, monocytes, macrophages, eosinophils จะสร้างได้ เช่นกัน ทำให้แบคทีเรีย และไวรัสไม่สามารถทำงานได้ ซึ่ง phagocytic cells จะต้องใช้ออกซิเจนเพิ่มขึ้นอย่างมากเพื่อที่จะกำจัดสิ่งแผลกปลอม การใช้ออกซิเจนเพิ่มขึ้นนี้เรียกว่า ‘Respiratory burst’ โดยการกระตุนของ membrane-located enzyme (NADPH-oxidase) เกิดปฏิกิริยาตัดชั้น (reduction) ของออกซิเจนไปเป็นอนุมูลชูปเปอร์ออกไซด์ แล้วอนุมูลชูปเปอร์ออกไซด์ก็จะเกิดกระบวนการสร้าง reactive chemical species อื่นๆ อีกตามมา เช่น Hydroxyl radical (OH^-), hypochlorite และ chloramines (Curnutte and Babior, 1987)

ในสภาวะทางสรีรวิทยาปกติ กระบวนการเมtabolismของออกซิเจนใน aerobic organisms นำไปสู่การเกิดสารประกอบที่มีปฏิกิริยาสูงคือ สารอนุมูลอิสระ ชนิด ROS (Meier, 2001; Lim *et al.*, 2002) เช่น อนุมูลชูปเปอร์ออกไซด์, Hydroxyl radical (OH^-) (Fantel, 1996; Castro & Freeman, 2001; Young & Woodside, 2001) nitric oxide (NO^-) Nitrogen dioxide (NO_2^-) และ Peroxyl (ROO^-) ส่วนที่ไม่ใช่อนุมูลอิสระแต่สามารถหนีบวนได้ เช่น Hydrogen peroxide (H_2O_2), singlet oxygen (1O_2), ozone (O_3), nitrous acid (HNO_2) และ dinitrogen trioxide (N_2O_3) (Bahorun *et al.*, 2006) สารเหล่านี้จะสามารถออกซิไดซ์สารที่เป็นโมเลกุลใหญ่ๆ รวมทั้ง โปรตีน ไขมัน และกรดนิวคลีอิก (Zachara *et al.*, 2006) ร่างกายจะจัดสารประกอบที่ป้องกันปฏิกิริยาออกซิเดชันมาให้ เพื่อป้องกันอันตรายจากการเสียหายของอนุมูลอิสระ และ ROS ตัวอื่นๆ (Gieseg, 1999)

ร่างกายถูกพัฒนาให้ป้องกันระบบภายในร่างกายต่อภาวะเครียดอันเนื่องจากปฏิกิริยาออกซิเดชัน ซึ่งมีทั้งระบบเอนไซม์ ที่สำคัญคือ superoxide dismutase, catalase, glutathione peroxidase และระบบของ thioredoxin ซึ่งมีประสิทธิภาพสูงในการจัดจำเพื่อที่จะกำจัดพิษของ ROS และยังมี สารป้องกันปฏิกิริยาออกซิเดชัน ที่ไม่ใช่เอนไซม์ ตัวหลักๆ เช่น bilirubin, estrogen sex hormone, uric acid, coenzyme Q, melanin, melatonin, α -tocopherol และ lipoic acid (Laguerre *et al.*, 2007) อีกทั้งยังมีแร่ธาตุจำนวนหนึ่ง เช่น copper, zinc และ selenium ที่ไปจับที่ตำแหน่ง active sites ของเอนไซม์ข้างต้น โดยจะแสดงบทบาทสำคัญในระบบป้องกันปฏิกิริยาออกซิเดชันใน

สัตว์เลี้ยงลูกด้วยนม โดยตัวหลักที่ทำงานคือ selenium (Se) และ Se-dependent GSH-Pxs เป็นตัวป้องกันเซลล์จากการภาวะเครียดเนื่องจากปฏิกิริยาออกซิเดชันได้ (Zachara *et al.*, 2006) ดังภาพที่ 2



ภาพที่ 2 การสร้างอนุมูลอิสระ และกระบวนการป้องกันของร่างกาย

ที่มา: ดัดแปลงจาก Jacobson (1996)

ผลของอนุมูลอิสระต่อโมเลกุลของเซลล์

1. การเกิดเปอร์ออกซิเดชันของไขมัน (Lipid peroxidation)

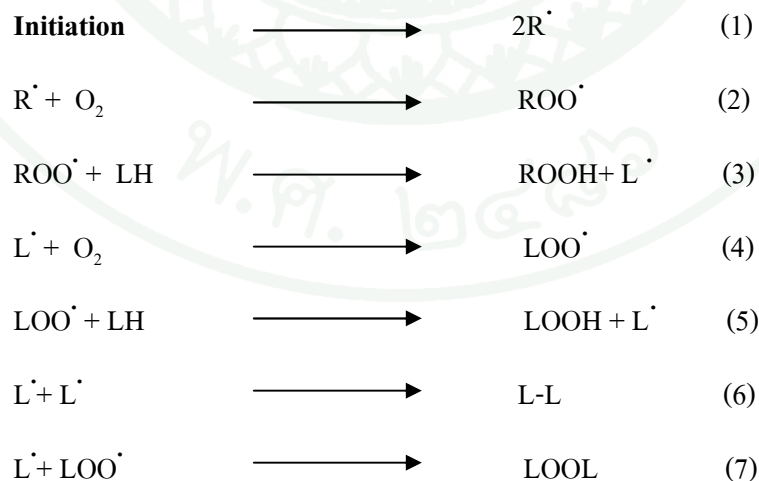
กรดไขมันไม่อิ่มตัวที่มีพันธะคู่มากกว่าสองพันธะ (Polyunsaturated fatty acids (PUFAS)) มีอยู่มากในเยื่อหุ้มเซลล์ (cell membrane) และใน low-density lipoproteins (LDL) (Dekkers *et al.*, 1996) ชนิดและระดับของ PUFAS จะบอกรถึงความยืดหยุ่นของเยื่อหุ้มเซลล์ อนุมูลอิสระ ในกลุ่ม reactive oxygen species (ROS) จะโจมตีเยื่อหุ้มเซลล์โดยดึงอิเล็กตรอนจากส่วนประกอบไขมัน (membrane lipid) ในปฏิกิริยาออกซิเดชันของไขมัน (lipid peroxidation) ตำแหน่งเป้าหมายสำคัญคือ พันธะคู่ที่มีระยะห่างการบอนอะตอน ($C=C$) ของ PUFAS ซึ่งไม่มีความแข็งแรงจ่ายต่อการทำลายพันธะไฮโดรเจน (hydrogen bond) อนุมูลอิสระจะดึงอิเล็กตรอนเดี่ยว (single electron) จากไฮโดรเจน ซึ่งเชื่อมกับการบอนอะตอนด้วยพันธะคู่ ดังนั้นอิเล็กตรอนเดี่ยวที่ถูกดึงจะกลายเป็นอนุมูลอิสระตัวใหม่ และพยายามทำให้ตัวเองเกิดความเสถียร โดยโมเลกุลของอนุมูลอิสระที่มี

การบ่อนสะตอมเป็นแกนกลาง (carbon-centered free radical) จะจัดเรียงตัวใหม่ เรียกว่า Conjugated diene (CD) โครงสร้างนี้จะเกิดปฏิกิริยาได้ง่ายกับออกซิเจน และเปลี่ยนไปเป็น peroxy radical ซึ่งจะดึงอิเล็กตรอนจากโนมเลกุล ไขมันตัวอื่นๆ ต่อเนื่องไปเป็นปฏิกิริยาลูกโซ่ (chain reaction) (Halliwell and Gutteridge, 1985)

กลไกการเกิดปeroxออกซิเดชันของไขมัน ประกอบด้วยปฏิกิริยา 3 ขั้นตอน (Bohnstedt, 2005)

1. ปฏิกิริยาเริ่มต้น (Initiation)

ปฏิกิริยาเริ่มจากกรดไขมันสายยาวชนิดไม่อิ่มตัวลูกศิริ ไอโอดรเจนอะตอมออกจาก methylene (-CH₂-) group ที่ตำแหน่งถัดจากพันธะคู่ (double bond) โดยอนุមูลอิสระ ไฮดรอกซิล (hydroxyl radical) หรืออนุมูลอิสระตัวอื่นๆ (ปฏิกิริยาที่ 1) ทำให้เกิดเป็นอนุมูลอิสระที่ไม่เสถียร (lipid radical หรือ carbon-centered radical) ซึ่งพยายามทำให้ตัวมันเองเสถียรโดยจัดเรียงโนมเลกุลใหม่ในรูป conjugated diene ภายใต้สภาวะที่มีออกซิเจน conjugated diene จะขอบทำปฏิกิริยากับออกซิเจน ได้เป็นอนุมูลอิสระปeroxออกซิล (peroxyl radical, ROO[·]) (ปฏิกิริยาที่ 2) จากนั้nonumul อิสระปeroxออกซิลจะไปดึงไอโอดรเจนอะตอมออกจากโนมเลกุลของไขมันเพื่อทำให้ตัวเองเสถียร ขณะเดียวกันก็ทำให้เกิดอนุมูลอิสระชนิดไขมัน (ปฏิกิริยาที่ 3)

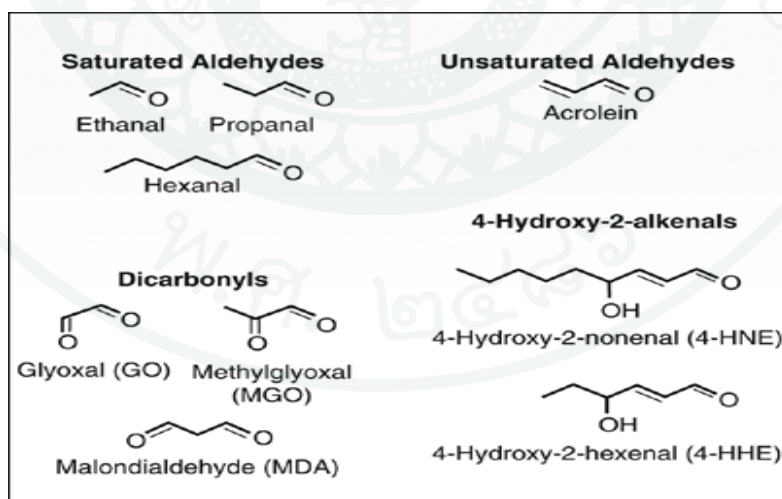


2. ปฏิกิริยาเพิ่มจำนวน (Propagation)

ในขั้นตอนนี้ไขมันที่แปรสภาพเป็นอนุมูลอิสระ (lipid radical หรือ carbon-centered radical) จะทำปฏิกิริยากับน้ำออกซิเจน เกิดเป็นอนุมูลอิสระ ไขมันเปอร์ออกซิเดต (lipid peroxy radical, LOO[·]) (ปฏิกิริยาที่ 4) จากนั้นอนุมูลอิสระ ไขมันเปอร์ออกซิเดตจะทำปฏิกิริยากับโมเลกุลไขมันที่อยู่ข้างเคียง โดยดึงไฮโดรเจนอะตอมออก และเกิดเป็นไขมันเปอร์ออกไซด์ (lipid hydroperoxide, LOOH) และอนุมูลอิสระ ไขมันที่ไม่คงตัว (ปฏิกิริยาที่ 5) ผลิตภัณฑ์ที่ได้จากปฏิกิริยาที่ 4 และ 5 จะทำให้เกิดปฏิกิริยาลูกโซ่เพื่อเปอร์ออกซิเดชันของไขมันดำเนินต่อไป

3. ปฏิกิริยาสุดท้าย (Termination reaction)

ปฏิกิริยาเกิดขึ้นได้ 2 แบบ คือ การที่อนุมูลอิสระของไขมันที่ไม่คงตัว 2 โมเลกุลมาจับกัน (ปฏิกิริยาที่ 6) หรือการที่อนุมูลอิสระ ไขมันที่ไม่คงตัวมาจับกับอนุมูลอิสระของไขมันเปอร์ออกซิเดต (ปฏิกิริยาที่ 7) ทำให้เกิดเป็นโมเลกุลที่คงตัว ได้แก่ อีเทน (Ethane) หรือเพนเทน (Pentane) และไขมันอัลดีไฮด์ (lipid aldehyde) โดยมีชาตุเหล็กหรือชาตุทองแดง (iron or copper ion) เป็นตัวช่วย อัดดีไฮด์ชนิด malondialdehyde (MDA) และ hydroxynonenal (HNE) ที่เกิดขึ้น (ภาพที่ 3) เป็นอันตรายต่อเซลล์ โดยสามารถทำให้โปรตีนในเซลล์เปลี่ยนแปลงได้



ภาพที่ 3 แสดงโครงสร้างทางเคมีของ Malondialdehyde (MDA) และ Hydroxynonenal (HNE) จากกระบวนการเปอร์ออกซิเดชันของไขมัน (lipid peroxidation)

ที่มา: Negre-Salvayre *et al.* (2008)

สารต้านอนุมูลอิสระเป็นตัวต่อต้านปฏิกิริยาออกซิเดชันใน 2 ทางที่แตกต่างกัน โดยการป้องกันไขมันเป้าหมาย จากปฏิกิริยาเริ่มต้น หรือ โดยการขัดขวาง propagation phase ในกรณีที่ 1 เป็นการป้องกันของสารต้านอนุมูลอิสระในการขัดขวางการสร้าง ROS หรือ การกำจัดชนิดของอนุมูลอิสระ ที่สามารถทำให้เกิดตัวตั้งต้นของปฏิกิริยาออกซิเดชัน(oxidation initiation) ได้ เช่น O_2^- , 1O_2 และ ในกรณีที่ 2 เรียกว่า Chain breaking เป็นการป้องกันของสารต้านอนุมูลอิสระในการขัดขวาง oxidation propagators (LOO') (Laguerre *et al.*, 2007) และตัวต้านปฏิกิริยาออกซิเดชันยังสามารถทำหน้าที่หลอกหลอนในระดับต่างๆ (Ozben, 1998) เช่น

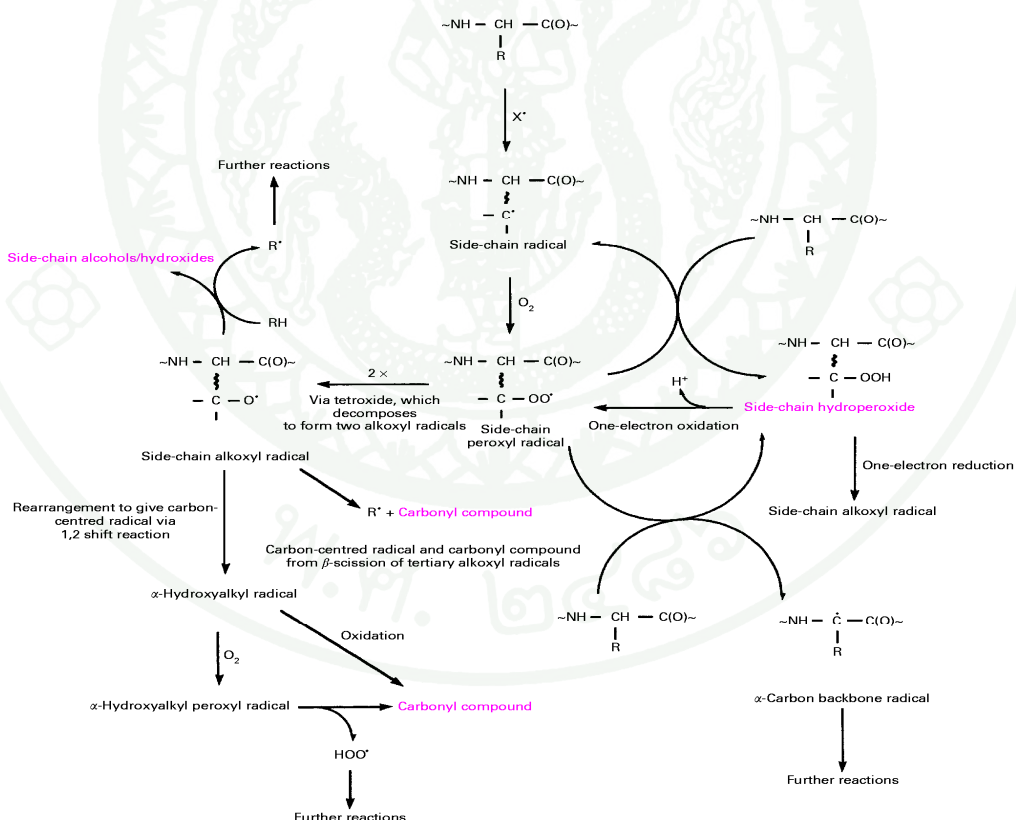
- เคลื่อนย้ายออกซิเจน หรือลดความเข้มข้นของออกซิเจน
- เคลื่อนย้ายธาตุโลหะที่นำสลาย (catalytic metal ion)
- เคลื่อนย้าย ROS/RNS เช่น O_2^- , H_2O_2 , HOCL, 1O_2 หรือ $ONOO^-$
- กำจัดต้นเหตุของปฏิกิริยาออกซิเดชัน เช่น OH^- , RO^\cdot , RO_2^\cdot
- ทำลายสายของตัวตั้งต้นของปฏิกิริยาออกซิเดชัน (initiated sequence)

2. การเกิดออกซิเดชันของโปรตีน (Protein oxidation)

อนุมูลอิสระเป็นสาเหตุที่ทำให้เกิดกระบวนการเปลี่ยนแปลงโครงสร้างของโปรตีน (Grune *et al.*, 1997) และนำมาซึ่งการเปลี่ยนแปลงคุณสมบัติทางเคมีและหน้าที่ของโปรตีน หรือเพิ่มความไวต่อการสลายโปรตีน จากการศึกษาพบว่า การสลายโปรตีน (Davies *et al.*, 1987; Stadtman, 1993; Wolff *et al.*, 1986) จะเพิ่มขึ้นหลังจากมีการสร้างอนุมูลอิสระ เช่น H_2O_2 (Davies and Goldberg, 1987) ที่มีความเข้มข้น 20 – 400 ไมโครโมล nok จากนี้ความเข้มข้นในระดับมิลลิไมลาร์อาจจะนำไปสู่การสะสมของโปรตีนในรูปออกซิไดซ์กายนอกเซลล์ อนุมูลอิสระมีผลต่อการเปลี่ยนแปลงการทำงานของเซลล์โดยตรง โดยในระยะหลังกระบวนการแปลงร่าง (post-translation) ของโปรตีน อนุมูลอิสระจะไปออกซิไดซ์แบนงช้างของกรดอะมิโน และแกนโครงสร้างของโปรตีน (protein backbone) ซึ่งจะนำไปสู่ protein-protein cross-link และการแยกออกเป็นส่วนๆของโปรตีนอย่างต่อเนื่อง อนุมูลอิสระจึงส่งผลให้การสื่อสัญญาณของโปรตีนทำหน้าที่ผิดปกติ การทำหน้าที่ผิดปกติของออร์แกเนลล์ และทำให้เกิดการตายของเซลล์ได้ อนุพันธุ์ของโปรตีนที่ถูกนำมาใช้เป็นตัวชี้วัดถึงการเกิดการเปลี่ยนแปลงของโปรตีนจากอนุมูลอิสระ มี 2 ชนิด คือ อนุพันธุ์ของการรับอนิล โปรตีน และ protein nitrotyrosine การเพิ่มของการรับอนิล โปรตีนแสดงถึงการเกิดออกซิเดชันของโปรตีน จากการถูกทำลายด้วยอนุมูลอิสระ การเพิ่มขึ้นของการรับอนิล โปรตีนในเนื้อเยื่อนั้น มี

ความสัมพันธ์กับการเกิดพยาธิสภาพ เช่น โรค rheumatoid arthritis, Alzheimer, respiratory distress syndrome, Parkinson's disease และ atherosclerosis (Grune *et al.*, 1997; Stadtman, 1993)

การบอนนิล โปรตีนเป็นดัชนีของการเครียดจากปฏิกิริยาออกซิเดชันที่สำคัญ เนื่องจากในกระบวนการที่ได้มาของการบอนนิล โปรตีน เกิดจากการออกซิไดซ์เบนงข้าง โปรตีนโดยเนพะอย่างถึง กรณีมิโนชนิด ไพรีน อาร์จีนีน ไลซีน และ ทรีโวนีน เป็นผลให้เกิดอนุมูลกรดมิโน และเมื่อได้รับ O_2 ก็จะเปลี่ยนรูปไปเป็นอนุมูลเปอร์ออกซิດ (peroxyl radical, ROO \cdot) ซึ่งเป็นจุดเริ่มต้นของการทำลายโมเลกุล โปรตีน และเมื่อมีอนุมูลอิสระตัวอื่นมาเพิ่มปฏิกิริยาก็จะเกิดอนุมูลชนิดใหม่ คือ alkyl radical ($R\cdot$) พร้อมผลิตภัณฑ์ การบอนนิล โปรตีน อีกทั้งการออกซิไดซ์ของ hydroxyalkyl radical ในปฏิกิริยา สามารถเนียนยาน้ำให้เกิดการบอนนิล โปรตีนพร้อมด้วยอนุมูลไฮโดรเปอร์ออกไซด์ ($HOO\cdot$) ซึ่งมีความรุนแรงในการทำลายสารชีวโมเลกุลตัวใหม่ได้อีกทางหนึ่ง ดังภาพที่ 4 (Roger *et al.*, 1997)

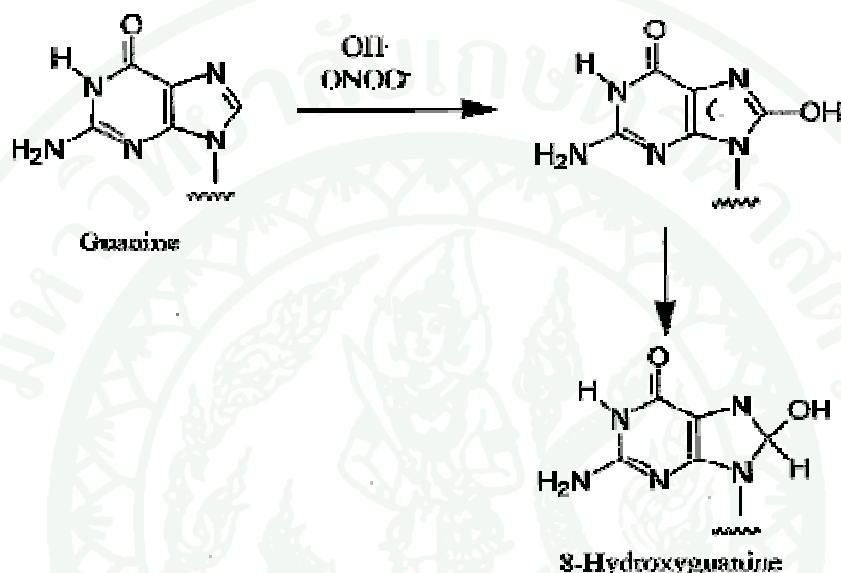


ภาพที่ 4 กระบวนการเกิดการบอนนิล โปรตีน ที่ได้จากออกซิเดชันของ โปรตีน

ที่มา: Roger *et al.* (1997)

3. ความเสียหายของดีเอ็นเอ (DNA Damage)

อนุมูลอิสระเป็นตัวหนึ่งที่บันดาล ทำให้เกิดความเสียหายต่อสายดีเอ็นเอ (DNA) โดยจะทำให้เกิดการเปลี่ยนแปลงสายของดีเอ็นเอที่ระดับเบส และนิวคลีโอไทด์ โดยเฉพาะอย่างยิ่งระดับเบสที่มีกวานีน (guanine) สูง (Burney, 1999) ดังภาพที่ 5



ภาพที่ 5 การเปลี่ยนแปลงของเบสกัวนีน จากปฏิกิริยาออกซิเดชัน

ที่มา: Burney *et al.* (1999)

ความเสียหายของสายดีเอ็นเอ ที่เกิดจากปฏิกิริยาออกซิเดชันจะมีบทบาทต่อการเกิดโรคมะเร็ง และเป็นสาเหตุทำให้เกิดการเสื่อมสภาพของเซลล์ (Kasai, 1997; Dizdaroglu, 1992; Guyton and Kensler, 1993; Feig *et al.*, 1994; Beckman and Ames, 1998) ดีเอ็นเอที่ได้รับความเสียหายจะถูกซ่อมแซมด้วยเอนไซม์ แลสเซลล์จะสามารถกลับมาทำหน้าที่ได้เป็นปกติ อย่างไรก็ตามการซ่อมแซมที่ผิดพลาดของดีเอ็นเอที่ได้รับความเสียหายจะมีผลทำให้เกิดการกลาย (mutation) เช่น การสลับลำดับเบส (base substitution) และการขาดหายของลำดับเบส (deletion) ซึ่งกระบวนการดังกล่าวจะเป็นเหตุที่จะนำไปสู่การเกิดโรคมะเร็ง (Vineis *et al.*, 1999; Halliwell, 1998; Wang *et al.*, 1998; Poulsen *et al.*, 1998) ตำแหน่งของการเกิดความเสียหายของดีเอ็นเอ (DNA damage) ยังส่งผลต่อการกลายได้ (Hanrahan *et al.*, 1997) ดังนั้นการศึกษาลำดับเบสจำเพาะในสายดีเอ็นเอ จึงใช้ในการตรวจหาความเสียหายของดีเอ็นเอ และนำไปใช้ประโยชน์ในการป้องกันการเกิดมะเร็ง ความ

เสียหายของดีอีนเอในร่างกายส่วนหนึ่งเกิดจากการเพิ่มของอนุมูลอิสระ (Marnett, 2000) เช่น อนุมูลชูปเปอร์ออกไซด์ และ OH⁻ และ non – radical oxidants เช่น hydrogen peroxide, singlet oxygen , nitric oxide, lipid hydroperoxide, alkoxyl radical, peroxy radical, nitrogen-centered, sulfate radical และ metal oxygen complexes โดยอนุมูลอิสระเหล่านี้มีความแตกต่างกันของ redox potential (Neta *et al.*, 1988)

เซลล์เม็ดเลือดแดง และการเกิดปฏิกิริยาออกซิเดชัน

เซลล์เม็ดเลือดแดงของสุนัขมีช่วงอายุขัยประมาณ 100-115 วัน (Feldman *et al.*, 2000) มีหน้าที่สำคัญเป็นตัวขนส่งออกซิเจนเข้าสู่เนื้อเยื่อทั้งหลอด แม้จะสามารถเก็บเซลล์เม็ดเลือดแดงได้นานขึ้นในน้ำยารักษาสภาพ (liquid preservation) แต่การทำงานของเซลล์จะลดลงในช่วงเวลาการเก็บรักษา นอกจากนี้อัตราการอยู่รอดหลังจากการให้เลือด (transfusion) และความสามารถในการขนส่งออกซิเจนจะลดลง ดังนั้นการพัฒนาวิธีการสำหรับการเก็บรักษาเลือดจึงมีความสำคัญ (Hamasaki and Yamamoto, 2000)

เนื่องจากเซลล์เม็ดเลือดแดง เป็นกลุ่มของเซลล์ที่ไม่มีนิวเคลียส ไม่โทคอนเดรีย และ ออร์กานেลล์ (organelles) ภายในเซลล์ (Ozben, 1998) ดังนั้นเซลล์เม็ดเลือดแดงจึงไม่สามารถสังเคราะห์กรดnicotinicoic โปรตีน และ ไขมัน และใช้กระบวนการ ไกโอลโคไลซิส จึงเป็นเพียงแหล่งพลังงานเดียวในการดำเนินกิจกรรมของเซลล์ (Hamasaki and Yamamoo, 2000)

เซลล์เม็ดเลือดแดงเป็นเซลล์อิสระ จะสัมผัสกับอนุมูลอิสระทั้งภายในและภายนอกเซลล์ จึงมีการพัฒนาระบบการป้องกันที่จะต้านอนุมูลอิสระ เพื่อ抵抗ความอยู่รอดของเซลล์และทำหน้าที่สำคัญหลากหลาย เช่น (Ozben, 1998)

1. สร้าง ATP จากกระบวนการ ไกโอลโคไลซิส (glycolysis) เพื่อใช้ในกระบวนการขนส่งไอออนผ่านเยื่อหุ้มเซลล์ (membrane ion pump)
2. สร้าง NADH สำหรับเก็บชีโน่โกลบินในรูปริคิวช์
3. สร้าง reducing power เช่น NADPH และ NADH สำหรับการควบคุมการถูกกระแทกจากอนุมูลอิสระทั้งภายนอกและภายในเซลล์
4. เซลล์เม็ดเลือดแดงต้องเคลื่อนข่ายอนุมูลอิสระเหล่านี้ โดยใช้ reducing power ซึ่งได้รับความช่วยเหลือจาก เอนไซม์ เช่น Glutathione reductase, Glutathione peroxidase หรือโดยการใช้

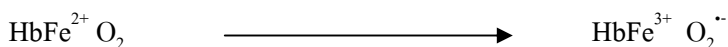
ระบบอื่นๆ ที่ไม่ต้องการ reducing power เช่น catalase และ superoxide dismutase เอนไซม์ทั้งสองนี้ ไม่มี reducing power แต่สามารถเปลี่ยนอนุมูลอิสระให้มีความเป็นพิษน้อยลง หรือไม่มีพิษเลย

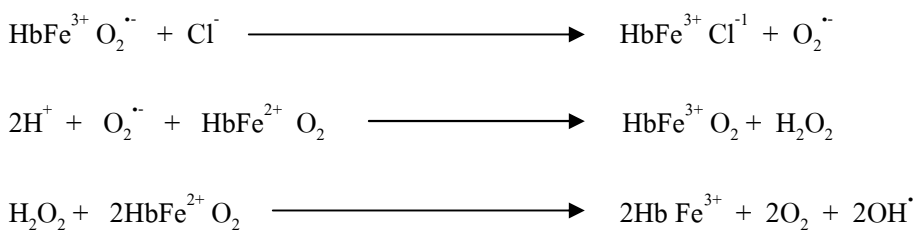
แม้ว่าเซลล์เม็ดเลือดแดงจะมีระบบป้องกันตนเองจากสารต้านอนุมูลอิสระ แต่ก็ยังคงเกิดความเสียหายของเยื่อหุ้มเซลล์จากปฏิกิริยาออกซิเดชัน ทั้งที่ส่วนประกอบโปรตีนและไขมัน ทำให้หัวใจวิตของเซลล์เม็ดเลือดแดงลดลง แหล่งที่มาหลักของ ROS ในเซลล์เม็ดเลือดแดง คือ ปฏิกิริยาออกไซด์ออกซิเดชัน (autoxidation) ของ oxyhemoglobin ซึ่งจะสร้างอนุมูลชูปเปอร์ออกไซด์ แล้วเกิดปฏิกิริยาดิสมิวเตชัน (dismutation) เป็น H₂O₂ และเกิด OH⁻ ตามมา (Nagababu *et al.*, 2003)

ATP และ NADH ของเซลล์เม็ดเลือดแดง ได้มาจากกระบวนการสลายกลูโคสโดยไม่ใช้ออกซิเจน (anaerobic glycolysis) ซึ่ง ATP มีความสำคัญสำหรับการทำงานในการขนส่งไอออน (Ion pump) ของเซลล์เม็ดเลือดแดง และกระบวนการขนส่งสารโดยใช้พลังงาน (active transport) ของเซลล์ (Atkinson, 1949) ในกระบวนการ ไกโอลโคไอลซิส (glycolysis pathway) จะมีการสร้าง NADPH ขึ้นเพื่อใช้ในกระบวนการรีดักชัน (reduction) ของฮีโมโกลบินที่ถูกออกซิไดซ์ (oxidized hemoglobin) หรือ เมตฮีโนมิโ哥ลบิน ไปเป็นรีโนมิโ哥ลบินในรูปริคิวช์ (reduced hemoglobin) ซึ่งทุกวันฮีโนมิโ哥ลบินประมาณ 0.5-3.0% จะถูกเปลี่ยนไปเป็นเมตฮีโนมิโ哥ลบิน (Carrell *et al.*, 1975) และ เมตฮีโนมิโ哥ลบินนี้จะถูกริคิวช์โดย NADH โดยการช่วยของเมตฮีโนมิโ哥ลบินรีดักเทส (methemoglobin reductase) แต่ก็ยังมีเมตฮีโนมิโ哥ลบินคงเหลือ ซึ่งจะถูกริคิวช์โดยวิตามิน ซี (ascorbate) และกลูต้าไธโอน (Wefers and Sies, 1988) yah หรือสารเคมีบางชนิดสามารถป้องกันปฏิกิริยาเรดักชันซึ่งเป็นสาเหตุของเมตฮีโนมิโ哥ลบินในเม็ดเลือดแดงได้ (Baggot, 1992)

เนื่องจากเซลล์เม็ดเลือดแดงมีความเข้มข้นของธาตุเหล็กสูงจึงมีการสร้างอนุมูลชูปเปอร์ออกไซด์ขึ้น (Carrell *et al.*, 1975; Shikama, 1984; Winterbourn, 1985) ซึ่งเป็นสาเหตุหลักของความเครียดจากปฏิกิริยาออกซิเดชันต่อฮีโนมิโ哥ลบินของเซลล์เม็ดเลือดแดง (Wever *et al.*, 1973; Misra and Fridovich, 1972; Winterbourn *et al.*, 1976; Lynch *et al.*, 1976; Demma and Salhany, 1977)

สมการการเกิดอนุมูลอิสระเนื่องจากฮีโนมิโ哥ลบินในเม็ดเลือดแดง





การเกิดปฏิกิริยาออกซิเดชันพร้อมกับการลด pH และความดันย่อของออกซิเจนในเลือด จะเกิดการสร้างอนุมูลชุปเปลอร์ออกไซด์ ซึ่งจะสูงที่สุดเมื่อชีโวโม โกลบินอยู่ตัวเดียวของออกซิเจน 50% (George and Stratmann, 1952; Brown and Mebine, 1969; Banerjee and Stetzkowski, 1970) อนุมูลชุปเปลอร์ออกไซด์จะปลดปล่อย Fe^{2+} จากชีโวโม โกลบิน และ Fe^{3+} จากเมตชีโวโม โกลบิน ซึ่งผลจากเหล็กที่ถูกสลายก็จะเกิด Fenton reaction และ Haber-Weiss reaction ผลจากการสลายจะให้ OH^{\cdot} และนำไปสู่การทำลายสารชีวโมเลกุลต่างๆ ต่อไป (Halliwell and Gutteridge, 1984; Halliwell and Gutteridge, 1985; Halliwell and Gutteridge, 1986; Wood, 1988; Puppo and Halliwell, 1988)

สมการ Fenton reaction:



สมการ Haber-Weiss reaction :

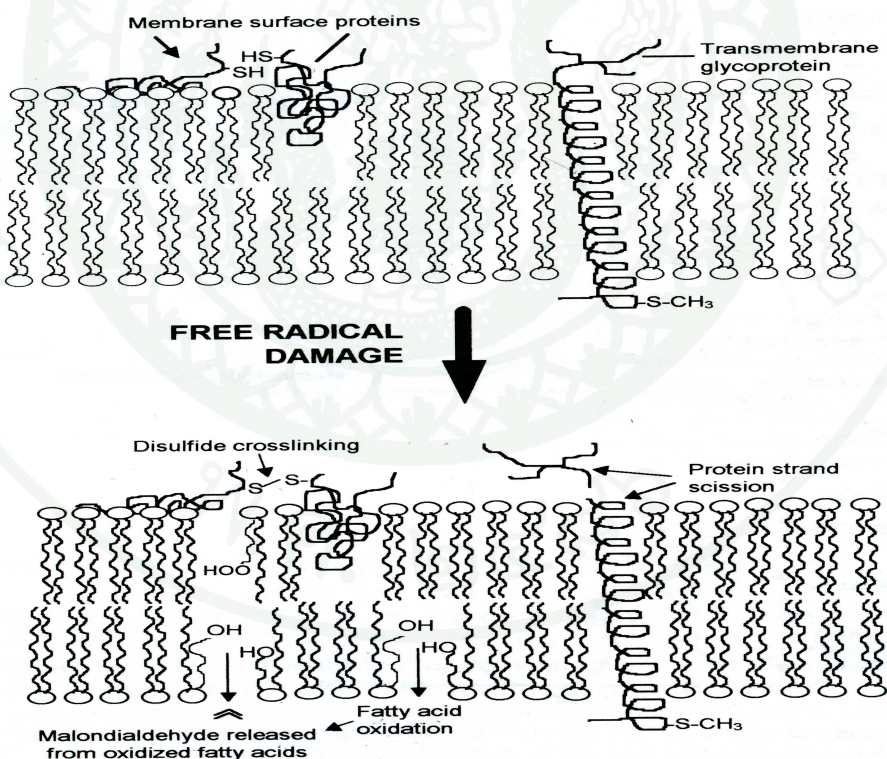


กระบวนการเกิดออกซิเดชันในเม็ดเลือดแดง เป็นจุดเริ่มต้นของการสร้างอนุมูลตั้งต้น (precursor radical) เช่น อนุมูลชุปเปลอร์ออกไซด์ในระหว่างการสร้างเมตชีโวโม โกลบิน เมื่ออนุมูลชุปเปลอร์ออกไซด์ทำปฏิกิริยากับ oxyhemoglobin จะนำไปสู่การเกิด H_2O_2 และปฏิกิริยาของอนุมูลชุปเปลอร์ออกไซด์กับ H_2O_2 และ Fe^{2+} ก็จะเป็นแหล่งผลิต OH^{\cdot} ที่สำคัญของเม็ดเลือดแดง

ในเม็ดเลือดแดงที่มีระดับของชาตุเหล็กที่สูง การสร้าง OH^{\cdot} จึงเป็นกลไกเริ่มต้นในการทำลายเซลล์ ดังนั้นการป้องกันที่จะด้านอันตรายจากผลของการปลดปล่อยชาตุเหล็กมีความสำคัญมากในเม็ดเลือดแดง จึงมีการใช้ metal chelator ที่แตกต่างกันออกไป เช่น deferoxamine diethylenetriaminepentaacetic acid หรือ ethylenediaminetetraacetic acid ซึ่งจับเหล็กที่ถูกปลดปล่อยจากเม็ดเลือดแดง

ที่เลื่อมสภาพทำให้สามารถลดอันตรายที่เกิดจาก Fenton reaction และ Haber-Weiss reaction ได้ (Knight *et al.*, 1992)

แหล่งที่สำคัญของ reducing power ในเซลล์เม็ดเลือดแดง คือ Pentose phosphate pathway (PPP) โดยมีoen ไซม์ 2 ชนิดที่มีส่วนในการสังเคราะห์ NADPH คือ glucose-6-phosphate dehydrogenase (G6PD) และ 6-phosphogluconate dehydrogenase (6PGD) ซึ่งเป็นoen ไซม์ที่ควบคุม Pentose phosphate pathway หากขาดเอน ไซม์นี้จะเกิดความผิดปกติต่อการทำงานของเซลล์เม็ดเลือดแดง จากการสังเคราะห์ NADPH ไม่เพียงพอ ทำให้เซลล์เม็ดเลือดแดงถูกทำลาย โดยอนุมูลิสระมากขึ้น เนื่องจากปฏิกิริยาออกซิเดชันมีผลต่อไขมัน และ โปรตีนในเยื่อหุ้มเซลล์ ทำให้เกิดความเสียหายต่อฟอสโฟไลปิด ก่อการสร้าง Malondialdehyde (MDA) ทำลายโปรตีนที่เป็นส่วนประกอบของเยื่อหุ้มเซลล์ เกิดการแตกกลุ่มกันของโปรตีน ผลกระทบการทำลายไม่เฉพาะ โครงสร้างของเยื่อหุ้มเซลล์ดังกล่าวจะนำไปสู่การถูกเลี้ยงโครงสร้างปกติ และเกิดการแตกของเม็ดเลือดแดง (Orten and Neutaus, 1982) ดังภาพที่ 6

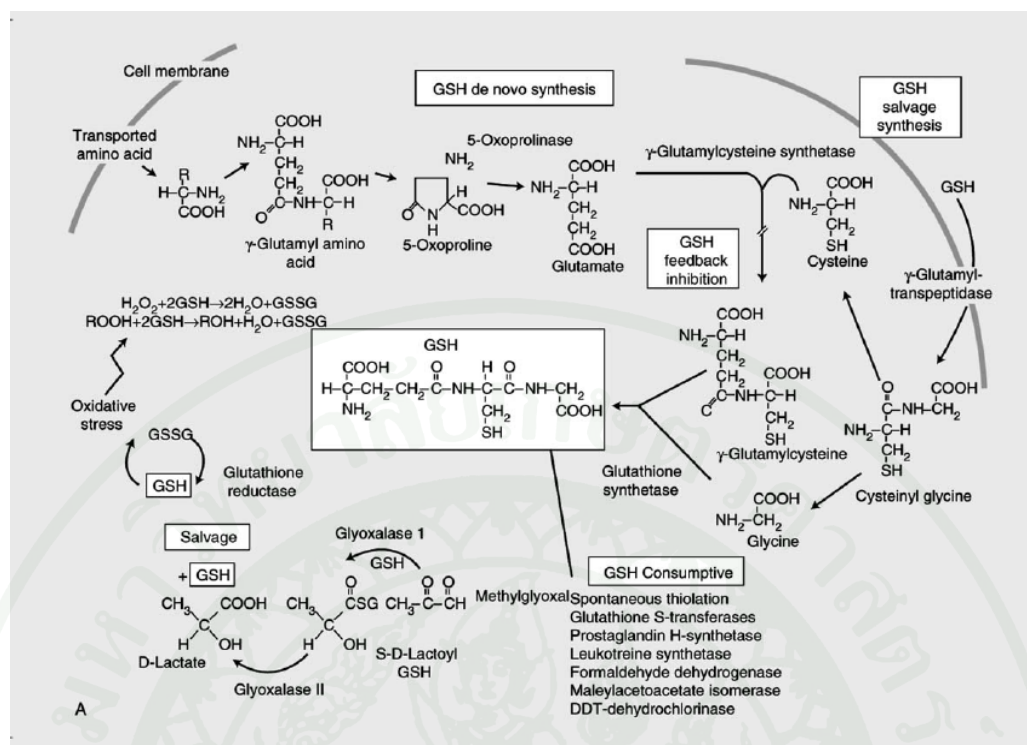


ภาพที่ 6 กระบวนการทำลายเยื่อหุ้มเซลล์ของเซลล์เม็ดเลือดแดง จากอนุมูลิสระ

ที่มา: Ozben (1998)

ความสำคัญของ NADPH ไม่เพียงแต่จะเป็น reducing power แต่ยังใช้ในปฏิกิริยาเรดักชัน (reduction) ของ oxidized glutathione (GSSG) ไปเป็น reduced glutathione (GSH) โดย glutathione reductase (Ozben, 1998) กลูต้าไธโอนสังเคราะห์จากการลดอะมิโนไกลซีน ซีสเทอีน (cysteine) และ กลูตามิค แอลซิด (glutamic acid) การสังเคราะห์กลูต้าไธโอนด้องใช้เอนไซม์ 2 ชนิด คือ γ -glutamyl cysteine synthetase (γ -GCS) และ GSH synthetase ในการเร่งปฏิกิริยา (Meister and Anderson, 1983) (ภาพที่ 7) การควบคุมของการทำงานเอนไซม์ γ -GCS เป็นลักษณะที่มีความซับซ้อนจะทำงานกี ต่อเมื่อมีการตอบสนองที่จำเพาะ ซึ่งการสังเคราะห์กลูต้าไธโอนนี้มีข้อจำกัดที่ระดับของกรดอะมิโนซีสเทอีน ซึ่งจะขันสั่งเข้าสู่เซลล์ โดยจับกับโซเดียม ไอออน โดยไม่ต้องอาศัยตัวพา (Bannai *et al.*, 1984) สารอนุมูลอิสระ เช่น H_2O_2 และสารประกอบอิเล็กโทรฟิลิก (electrophilic compound) จะกระตุ้นการทำงานของเอนไซม์ γ -GCS ซึ่งมีอิทธิพลต่อการสังเคราะห์กลูต้าไธโอนโดยเฉพาะ กระบวนการฟอกไฟฟ์เดชั่นของเอนไซม์ γ -GCS นำไปสู่การขับยิ่งการสังเคราะห์ กลูต้าไธโอน และกลูต้าไธโอนเองจะควบคุมการทำงานของเอนไซม์ γ -GCS โดยกลไกการขับยิ่งข้อนกลับ (feed back inhibition) ดังนั้นการขาดหายไปของกลูต้าไธโอนในเม็ดเลือดแดงจะเพิ่มอัตราการสังเคราะห์ กลูต้าไธโอนด้วย ทั้งนี้กลูต้าไธโอนขังมีหน้าที่หลัก 4 ประการ คือ (Mannervik, 1985)

1. การรักษาหมู่ไธออล (thiol groups) ของโปรตีนไว้ ในระยะ reduced state (หน้าที่ของ protein disulfide reducing ของ GSH จะขึ้นอยู่กับอัตราส่วนของ GSH/GSSG มา กกว่าจำนวน glutathione ในเซลล์เม็ดเลือดแดง)
2. เคลื่อนย้าย H_2O_2 เพื่อการกำจัดโดย GSH-Pxs
3. เพื่อช่วยให้เกิดปฏิกิริยาเรดักชัน กับสารประกอบที่ทำให้เกิดปฏิกิริยาออกซิเดชัน (oxidizing compounds) ตัวอื่นๆ
4. เพื่อกำจัดสารพิษของ xenobiotics โดยกระบวนการ conjugation แล้วถูกถ่ายโดย glutathione S-transferase (GSTs)



ภาพที่ 7 ภาพแสดงกระบวนการรักษาสมดุลของกลูต้าไธโอน(GSH)

ที่มา: Danyelle (2003)

ในสภาวะความเป็นกรด-ด่างจะมีการเปลี่ยนแปลงความสามารถสร้าง NADPH และกลูต้าไธโอนอย่างเพียงพอสำหรับป้องกันภาวะต่างๆ ที่เป็นอันตรายต่อเซลล์เม็ดเลือดแดง (Ozben, 1998) แต่ถ้ากระบวนการป้องกันภาวะเครียดที่เกิดจากปฏิกิริยาออกซิเดชันไม่เพียงพอ ก็จะมีผลต่อเซลล์เม็ดเลือดแดงได้ 3 ทาง (เนลลี่ว, 2548) คือ

1. เกิดมี heinz body หรือ accentrocyte จากเม็ดเลือดแดงที่ถูกทำลาย (denatured)
2. โครงสร้างโปรตีนบนเยื่อหุ้มเซลล์เปลี่ยนแปลงจากการเกิดปฏิกิริยาออกซิเดชัน
3. เกิดเมตไฮมีโน โกลบินจากเกิดปฏิกิริยาออกซิเดชันของธาตุเหล็กที่ไม่เลกฤทธิ์ไม่สามารถมีผลขัดขวางการขนส่งออกซิเจน

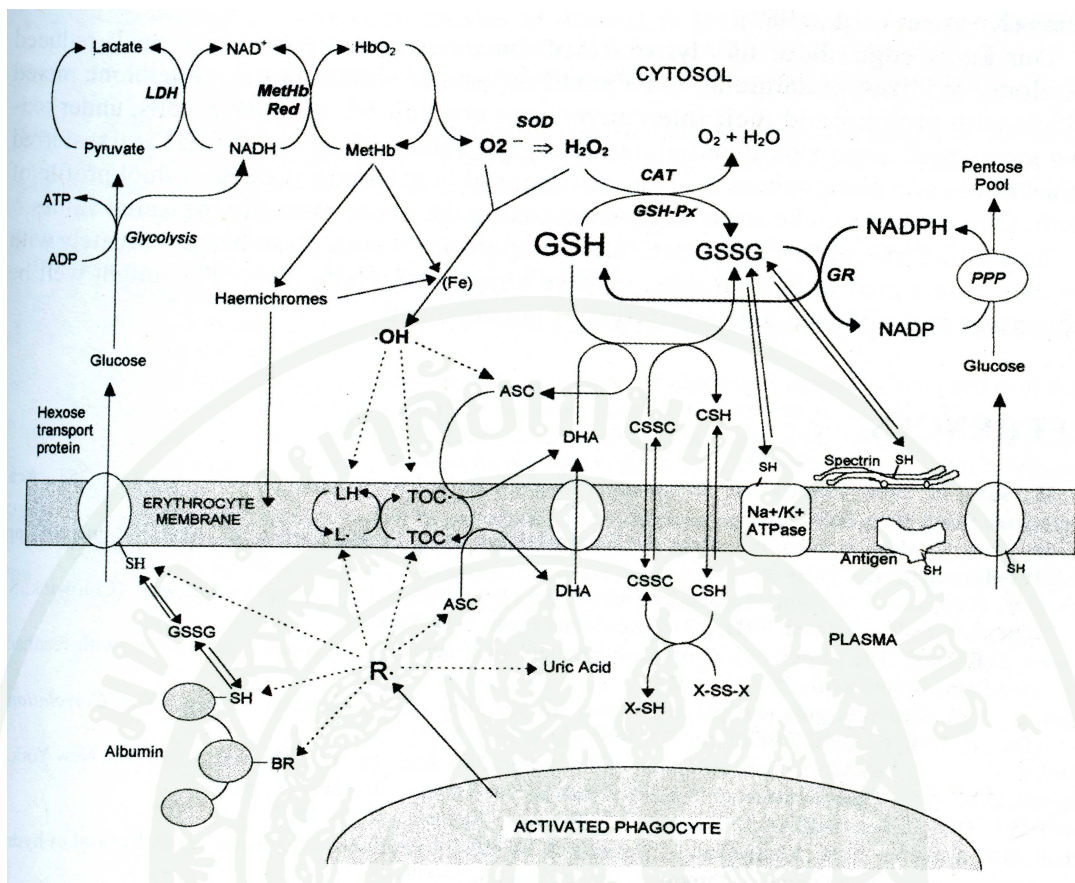
ผลของข้อ 1 และ 2 ทำให้เยื่อหุ้มเซลล์ของเม็ดเลือดแดงเสียหายมากพอก็จะปล่อยเมตไฮมีโน โกลบินออกมานอกไปแล้ว เกิดการแตกของเม็ดเลือดแดงตามมา

ระบบการทำงานของสารต่อต้านปฏิกิริยาออกซิเดชันในเซลล์เม็ดเลือดแดง

ระบบการทำงานต้านอนุมูลอิสระภายในเซลล์เม็ดเลือดแดงที่สำคัญคือ กลูต้าไธโอน เนื่องจากสารประกอบนี้เป็นสารตั้งต้นในการทำปฏิกิริยา ที่ร่วมทำงานกับสารต้านอนุมูลอิสระที่เป็นเอนไซม์ 3 ชนิด คือ Glutathione peroxidase (GSH-Px) Glutathione reductase (GR) และ Glutathione S-transferase (GSHs-t) ในระหว่างกระบวนการสลายของ GSHpx ไฮโดรเจนperอํอกไซด์จะถูกทำให้ไม่สามารถทำงานได้โดยสารที่เป็นกลาง คือ H_2O และ Oxidized Glutathione (GSSG) กลูต้าไธโอน เป็น reducing factor ที่สำคัญภายในเซลล์ ส่วน GSSG จะกลับมาอยู่ในรูปกลูต้าไธโอนอย่างคงที่โดย GR โดยการใช้ประโยชน์จาก NADPH (ภาพที่ 8) ปฏิกิริยาจะดำเนินต่อไปจนกระทั่ง NADPH ลดลง หรือหมดไป ที่ความเข้มข้นของ NADPH ในระดับต่ำ ระดับของกลูต้าไธโอนก็จะลดลง เป็นสาเหตุให้เกิดการเพิ่มความเข้มข้นของ H_2O_2 ในเนื้อเยื่อ โดยส่วนมากความเข้มข้นของกลูต้าไธโอนภายในเซลล์อยู่ระหว่าง 0.5-10 ไมลิตอลโดยประมาณ 5% อยู่ในรูป GSSG (Kretzschmar and Klinger., 1990; Mannervik, 1987; Reed and Fariss, 1984; Deneke and Fanburg, 1989) ภายในเซลล์เม็ดเลือดแดงมีการใช้ประโยชน์จากกลูต้าไธโอนมากตามความแตกต่างของสารประกอบเคมีเนื่องจากกลูต้าไธโอนจะทำปฏิกิริยาหลักๆ กับ H_2O_2 และปฏิกิริยาเปลือกออกซิเดชันของไขมัน จึงมีการเพิ่มกลูต้าไธโอนตัวใหม่อย่างคงที่ และจะต้องสร้างก่อนที่จะเกิดการทำงานของสารต้านอนุมูลอิสระของเซลล์ (Jozwik *et al.*, 1997)

ระบบการป้องกันอันตรายต่อเซลล์เม็ดเลือดแดง ซึ่งมีสาเหตุมาจากการ ROS หรือ อนุมูลอิสระตัวอื่นๆ สามารถแบ่งระบบออกเป็น 2 กลุ่ม คือ

1. GSH independent system ประกอบด้วย catalase, superoxide dismutase
2. GSH dependent system ประกอบด้วย NADPH-dependent GR และ GSH-Px systems



ภาพที่ 8 ภาพแสดงกลไกการเกิดภาวะเครียดจากปฏิกิริยาออกซิเดชัน และกลไกการป้องกันของเซลล์เม็ดเลือดแดง ชนิดตัวย่อ โดย DHA: dehydroascorbate; ASC: ascorbate; CSH: cysteamine; CSSC: cystamine; L[·]: lipid radical; LH: lipid; TOC[·]: α-tocopherol radical; TOC: α-tocopherol; PPP: pentose phosphate pathway; BR: bilirubin; X-SH: โมเลกุลของสารไดที่มีหมู่ไฮดรอซอล (thiol group) เป็นองค์ประกอบ; X-SS-X: รูปออกซิไดซ์ของโมเลกุลที่มีหมู่ชื่อเป็นองค์ประกอบ

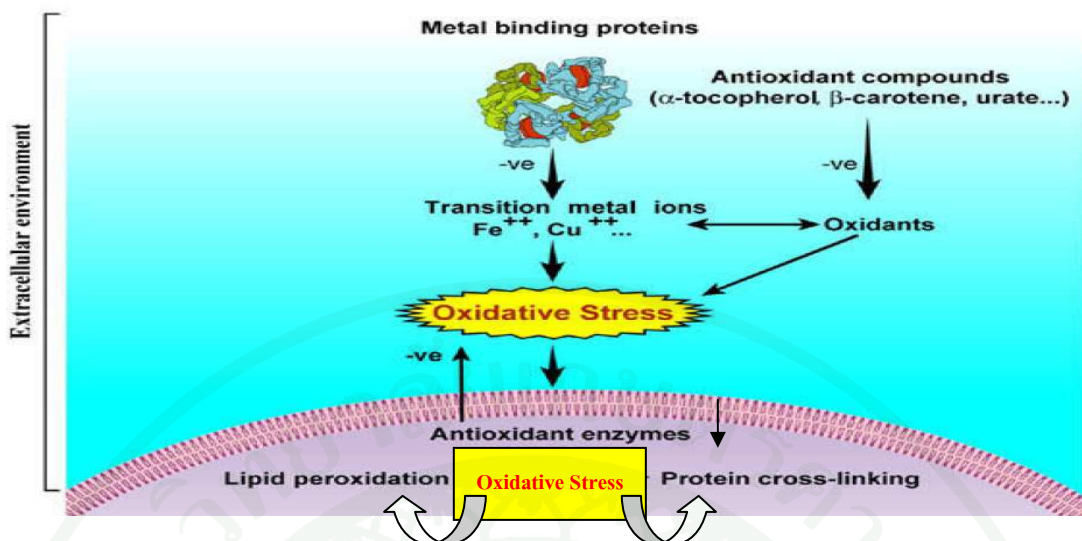
ที่มา: Hunt and stocker (1990)

เนื่องจากความดันบ่อบของออกซิเจน (partial oxygen pressure) สูง เซลล์เม็ดเลือดแดงจะเผชิญกับภาวะเครียดจากปฏิกิริยาออกซิเดชันทุกๆวันประมาณ 0.5-30% ของอีโวโน่โกลบินจะเปลี่ยนไปเป็นแม่ชีโวโน่โกลบิน และ เกิดปฏิกิริยาอํตออํอกซิเดชันของอีโวโน่โกลบิน เป็นสาเหตุให้เกิดการสร้างอนุมูลชูปเปอร์ออกไซต์ ในภาวะที่มีการสร้างเมตอีโวโน่โกลบิน ร่างกายจะมีระบบกำจัดเพื่อเปลี่ยนให้อยู่ในรูปอีโวโน่โกลบินที่สามารถทำงานได้โดยใช้ NADH จากวิถีไกโลไลซิสเป็นตัวเรductant เมตอีโวโน่โกลบินให้เปลี่ยนกลับมาอยู่ในรูปอีโวโน่โกลบินโดยการซ่วยของเอ็นไซม์เมตอีโวโน่โกลบินรีดัก

เกส แต่ถ้า NADH ไม่เพียงพอ ก็จะทำให้เกิดการสร้างอนุมูลชูปเปอร์ออกไซด์ และเปลี่ยนไปเป็น H_2O_2 จากนั้นกลูต้าไธโอนก็จะมีบทบาทสำคัญในการเปลี่ยน H_2O_2 ไปเป็น H_2O และ O_2 เพื่อที่จะลดความเสี่ยงต่อการเกิด OH^- (ภาพที่ 8) ซึ่งส่งผลต่อ unsaturated phospholipids ที่พบในเซลล์เม็ดเลือดแดงที่ถูกออกซิได้ ทำให้เกิดความเสียหายต่อเยื่อหุ้มเซลล์ และเกิดการแตกของเซลล์เม็ดเลือดแดงตามมา (Hunt and stocker, 1990; Gaetani *et al.*, 1994)

ปัจจัยภายนอกที่สำคัญที่มีผลต่อการทำลายเซลล์เม็ดเลือดแดง คือ โปรตีนในพลาสม่า ในระหว่างการเกิดปฏิกิริยาออกซิเดชันอนุมูลอิสระจะเกิดขึ้นควบคู่กันทั้งภายในเซลล์ที่มีผลต่อเซลล์โดยตรง และภายนอกเซลล์ที่เกิดจากการทำลายสารชีวโมเลกุลที่อยู่ในพลาสม่า แล้วมีการสร้างสารอนุมูลอิสระที่มีความรุนแรงสูง ไปมีผลต่อเซลล์ที่อยู่ข้างเคียง โดยเฉพาะเซลล์เม็ดเลือดแดง (Agarwal *et al.*, 2005) ซึ่งอนุมูลอิสระที่เกิดขึ้นดังกล่าว จะไปทำลายโมเลกุลไขมัน และโปรตีนที่เยื่อหุ้มเซลล์เม็ดเลือดแดง ดังนั้นในระหว่างการเก็บรักษาเลือดอนุมูลอิสระที่สร้างขึ้นทั้งภายในและภายนอกเซลล์ จึงมีความสำคัญในการทำลายเซลล์เม็ดเลือดแดง

การทำลายเซลล์เม็ดเลือดแดงจากปฏิกิริยาออกซิเดชันของโปรตีนในพลาสมาก็จากหมู่คาร์บอนิลที่เกิดจากออกฤทธิ์ของกรดอะมิโน (Grune *et al.*, 1997) ซึ่งต้องการ metal ions (Fe^{2+} และ Cu^{2+}) ในการกระตุ้น โดยการจับกับตำแหน่ง cation binding site ในโมเลกุลของโปรตีน จากนั้น H_2O_2 เข้าทำปฏิกิริยากับ Fe^{2+} (โดยสมการของ Fenton reaction) เกิดการเปลี่ยนรูปเป็น OH^- (Stadtman, 1990; Moskovitz *et al.*, 2002) ซึ่งมีพลังในการทำลายสารชีวโมเลกุล นำไปสู่การทำลายเยื่อหุ้มเซลล์ที่อยู่บริเวณใกล้เคียง โดยเพราะอย่างยิ่งเซลล์เม็ดเลือดแดง (ภาพที่ 9) ดังนั้น การเพิ่มขึ้นของคาร์บอนิล โปรตีนในพลาสมาก็สามารถใช้เป็นดัชนีที่แสดงถึงการเกิดโปรตีนออกซิเดชัน (Grune *et al.*, 1997; Stadtman, 1993)



ภาพที่ 9 กระบวนการทำลายเซลล์เม็ดเลือดแดงจากโปรตีนในพลาสมา

ที่มา: Agarwal *et al.* (2005)

ชนการเลือด และ การให้เลือด

การให้เลือดเป็นการช่วยชีวิตสัตว์ในรายที่เกิดภาวะวิกฤต โดยการช่วยชดเชยเลือดที่สูญเสีย เพื่อที่จะรักษาความสมดุลในการขนส่งออกซิเจนเข้าสู่ vital organs (Tinmouth *et al.*, 2008) ด้วยเหตุนี้จึงมีการศึกษาพัฒนาการใช้สารรักษาสภาพเซลล์เม็ดเลือดแดงอย่างต่อเนื่อง เริ่มตั้งแต่การใช้ Acid-Citrate-Dextrose (ACD) ในปี 1947 (Gibson *et al.*, 1947; Ross *et al.*, 1947) ต่อมามีการใช้ Citrate Phosphate Dextrose (CPD) และ Citrate Phosphate Dextrose Adenine (CPDA) ในปี 1957 และ 1960 ตามลำดับ ปัจุบันทั้งในคน และสุนัขนิยมใช้สาร CPDA ในการเก็บรักษาเลือด ซึ่งสามารถเพิ่มเวลาเก็บเป็น 28 - 35 วัน (Orlina and Josephson, 1969) เลือดที่เก็บรักษาในธนาคารเลือดได้จากการเจาะเลือดแล้วผสมกับสารรักษาสภาพเซลล์ (CPDA) ใช้สำหรับให้พลังงานแก่เซลล์เม็ดเลือดแดง แล้วเก็บในอุณหภูมิ 4 ± 2 องศาเซลเซียส ซึ่งจะช่วยลดวิถีไกลโคไลซิสของเซลล์ต่างๆ ในเลือด ระหว่างการเก็บเลือดจะมีภาวะเป็นกรดเพิ่มขึ้นอย่างต่อเนื่อง ซึ่งสภาวะนี้จะรบกวนการทำงานของเอนไซม์ต่างๆ เช่น hexokinase และ phosphofructokinase นอกจากนี้การคงสภาพชีวิต (viability) และ organic phosphates ได้แก่ adenosine triphosphate (ATP) และ 2,3 diphosphoglyceric acid (DPG) จะลดลงไปด้วย (Dawson *et al.*, 1970) การที่ ATP ในเลือดลดลง ทำให้มีการเปลี่ยนแปลงของรูปร่างและผิวของเซลล์เม็ดเลือดแดง ระดับ ATP จึงมีความสำคัญต่อความมีชีวิตของเซลล์เม็ดเลือดแดง เนื่องจากเซลล์เม็ดเลือดทุกชนิดยังมีชีวิตหลังจากเจาะเก็บในน้ำยา กันเลือดแข็ง และกิจกรรมของเซลล์

เหล่านี้ยังดำเนินต่อไป ทำให้มีความเปลี่ยนแปลงระดับของสารต่างๆ ในเลือด เรียกว่า storage lesion (พิมล, 2526)

การลดลงของ DPG ในเม็ดเลือดแดงที่เก็บรักษาในธนาคารเลือด โดย DPG เป็น Hb-organic phosphate ซึ่งมีบทบาทสำคัญในการปล่อยออกซิเจนจากออกซิเจโนโกลบิน (HbO_2) ไปสู่เนื้อเยื่อต่างๆ ของร่างกาย เลือดที่มี CPD จะมีการลดลงของ DPG น้อยกว่าเลือดที่เก็บใน acid citrate dextrose (ACD) ในระยะเวลาเก็บเท่ากัน (Bailey and Bove, 1975) ปัจจุบันจึงนิยมใช้สาร CPD เป็นสารช่วยรักษาความยั่งยืนของเซลล์เม็ดเลือดแดง และมีการเติมสารในน้ำยาเก็บเลือดแข็ง เช่น อะเดนีน (adenine) เพื่อยืดอายุการเก็บ (rejuvenation) ของเซลล์เม็ดเลือดแดง โดย อะเดนีนจะถูกใช้ไปในการสร้าง nucleotide ตลอดระยะเวลาการเก็บเลือด จึงช่วยชะลอการลดลงของ ATP แต่ข้อเสียของการเติมอะเดนีน คือ การลดลงของ DPG เร็วกว่าเลือดที่เก็บรักษาด้วย ACD หรือ CPD ธรรมชาติ (Zuck *et al.*, 1977)

เนื่องจากเลือดสัมผัสกับความเครียดจากปฏิกิริยาออกซิเดชัน ทำให้สารต้านอนุมูลอิสระทำงานเพิ่มขึ้น (Lewin and Popov, 1994) ซึ่งหลังจากเก็บเลือดจากผู้ให้เลือดในเลือดจะมีองค์ประกอบมากมายที่จะนำไปสู่การเพิ่มภาวะออกซิเดชันของเลือด ทำให้ลดความสามารถของสารต้านอนุมูลอิสระ ส่งผลต่อเนื่องถึงการเสียหายต่อเซลล์เม็ดเลือดแดง โดยการเกิดอนุมูลอิสระนำไปสู่การเปลี่ยนแปลงหลายด้าน เช่น โปแทสเซียม และแอลกอฮอล์ ไซโตรเจนส์ ที่หลังจากเม็ดเลือดแดงออกสู่พลาสม่า ซึ่งสามารถพิจารณาเป็นตัวชี้วัดที่ดีของความเสียหายเนื่องจากปฏิกิริยาออกซิเดชันของเยื่อหุ้มเซลล์เม็ดเลือดแดงและ MDA ก็ใช้เป็นตัวชี้วัดเบื้อร์ออกซิเดชันของไขมัน (Niki *et al.*, 1988) การทำงานของ SOD และการป้องกันของ GSH-Px ในการต้านความเสียหายของเลือด (Yamagchi *et al.*, 1992) ก็มีประโยชน์ในการควบคุมการเปลี่ยนแปลงของสถานะรวมของสารต้านอนุมูลอิสระ และเบื้อร์ออกซิเดชันของไขมันในเลือดที่เก็บในเวลาต่างๆ เช่นเดียวกัน

ผลิตภัณฑ์เลือดของสุนัขในปัจจุบันสามารถเก็บรักษาได้หลากหลายรูปแบบ แบ่งชนิดผลิตภัณฑ์ของเลือดออกได้ดังต่อไปนี้

1. ผลิตภัณฑ์ของเม็ดเลือดแดง (Red blood cell products)

โลหิตครบส่วน (Whole blood)

คือ เลือดที่เก็บจากตัวให้ผสมกับสารป้องกันการแข็งตัวของเลือด (Howard *et al.*, 1992) ถุงเลือดมาตรฐาน 1 ถุงจะมีสารป้องกันการแข็งตัวของเลือด (CPDA) อุ่น 50 ml (Ettinger and Feldman, 2005) โดยต้องให้เลือดกับสัตว์ภายใน 8 ชั่วโมงหลังการเก็บเลือด ผลิตภัณฑ์เลือดชนิดนี้ จะให้ทึ้งการเพิ่มความสามารถในการขนส่งออกซิเจน และมีองค์ประกอบการแข็งตัวของเลือด (Howard *et al.*, 1992) โลหิตครบส่วนที่ถูกเก็บเป็นเวลานานจะมีคุณสมบัติเพียงแต่เป็นตัวเพิ่มความสามารถในการขนส่งออกซิเจน การใช้โลหิตครบส่วนจะมีความเหมาะสมมากที่สุดในรายของสัตว์ที่มีการสูญเสียเลือดมากจากอุบัติเหตุหรือในการผ่าตัด มีภาวะโลหิตจาง (anemic animal) หรือรายที่ขาดองค์ประกอบการแข็งตัวของเลือด ถ้าโลหิตครบส่วนถูกใช้เป็นแหล่งขององค์ประกอบที่ช่วยให้เลือดแข็งตัว (coagulation factors) ในสัตว์ที่ยังไม่มีอาการของภาวะเลือดจาง จะทำให้เกิดภาวะเม็ดเลือดแดงมากกว่าปกติ (polycythemia) โลหิตครบส่วนไม่ควรจะใช้ในรายที่มีภาวะโลหิตจางแต่มีปริมาตรเม็ดเลือดแดงปกติ (normovolemic anemia) เนื่องจากจะทำให้เกิดความเสี่ยงต่อภาวะปริมาตรเลือดมากกว่าปกติ (volume overload) จากมีปริมาตรของพลาสมามากขึ้น โลหิตครบส่วนมีอายุการเก็บได้ 28-35 วัน ขนาดการให้ โลหิตครบส่วน คือ 10-20 มิลลิลิตรต่อน้ำหนักตัวสัตว์ 1 กิโลกรัม (ml/kg) (Ettinger and Feldman, 2005)

Packed red blood cells

หลังจากการปั่นโลหิตครบส่วน แล้วแยกส่วนของเม็ดเลือดแดง และพลาสม่า จากนั้นพลาสมาก็จะถูกข้าย้ายเข้าสู่ satellite bag ซึ่งจะยังเหลือเฉพาะเม็ดเลือดแดง และพลาสมาระดับน้ำหนักตัวสัตว์ 1 ยูนิต ของ Packed red blood cells จะมีความเข้มข้นของเซลล์เม็ดเลือดแดง (PCV) ประมาณ 80% (Morrissey and Cotter, 2000) ในการสร้างเป็น Packed red blood cells โดย 1 ยูนิต ของ Packed red blood cells ได้จาก 1 ยูนิต ของโลหิตครบส่วนในส่วน Packed red blood cells 1 ยูนิต เท่ากับ 200 มิลลิลิตร มีค่า hematocrit 80% (Kerl and Hohenhaus, 1993) ซึ่ง Packed red blood cells จะมีความเหนียวหนืดมาก ดังนั้นจึงควรเพิ่มน้ำยา Normal saline (0.9%) เข้าสู่ Packed red blood cells เพื่อให้ผลิตภัณฑ์เลือดสามารถเคลื่อนไหวได้ดีขึ้น (Ettinger and Feldman, 2005) โดย Packed red blood cells จะใช้ในการดำรงไว้ซึ่งการขนส่งออกซิเจนเข้าสู่เนื้อเยื่อให้เพียงพอต่อความต้องการ ซึ่ง Packed red blood cells ใช้ในการรักษาภาวะโลหิตจาง เนื่องจากการเสียเลือด เม็ดเลือดแดงแตก (hemolysis) หรือ ไขกระดูกไม่ทำงาน (Kerl and Hohenhaus, 1993) ค่าความเข้มข้นของ

ปริมาตรเม็ดเลือดแดงอัดแน่น (hematocrit) และ อัตราโกลบินเพียงอย่างเดียวไม่เพียงพอสำหรับการประเมินความจำเป็นที่จะให้เม็ดเลือดแดง แต่ต้องดูองค์ประกอบอื่นๆด้วย เช่น สถานะของหัวใจ (cardiovascular status) การเตียเม็ดเลือด โรคโลหิตจางเรื้อรัง และความสามารถของไขกระดูก ต่อการตอบสนองภาวะโลหิตจางเข้ามายืนหนาทในการตัดสินใจให้เลือดกับสัตว์ (Audet and Goodnough, 1992) ขนาดการให้ Packed red blood cells คือ 6-10 มิลลิลิตรต่อน้ำหนักตัวสัตว์ 1 กิโลกรัม (Ettinger and Feldman, 2005)

Packed red blood cells ที่มี Additive solution

เป็นผลิตภัณฑ์เม็ดเลือดที่มีกระบวนการทำคล้ายกันกับ Packed red blood cells แต่หลังจากที่เม็ดเลือดแดงถูกแยกออกจากพลาสมาแล้ว ก็จะมีการเพิ่ม additive solution เข้าไปใน red blood cells 100 มิลลิลิตร มีค่า PCV อยู่ที่ 55%-60% additive solution มีหลายชนิด เช่น dextrose, adenine, mannitol และ sodium chloride เพื่อที่จะช่วยให้เซลล์เม็ดเลือดแดงสามารถทำงานได้นานกว่าเซลล์เม็ดเลือดแดงที่เก็บอยู่ในสารป้องกันการแข็งตัวของเลือดทั่วๆ ไป (เพิ่มอายุการเก็บจาก 21 วัน ไปเป็น 35-37 วัน) และการมีการเพิ่ม normal saline เพื่อเพิ่มการเคลื่อนไหวของเซลล์เม็ดเลือดแดง เช่นกัน ขนาดการให้ Packed red blood cells ที่มี additive solution คือ 10-15 มิลลิลิตรต่อน้ำหนักตัวสัตว์ 1 กิโลกรัม (Ettinger and Feldman, 2005)

2. ผลิตภัณฑ์ที่ได้จากส่วนประกอบของพลาสมา (Plasma component)

Fresh frozen plasma (FFP)

คือ พลาสมาที่ได้รับจากโลหิตครบส่วนที่ถูกปั่นแยกเซลล์เม็ดเลือดแดงออกภายใน 6 ชั่วโมง หากเก็บด้วย sodium citrate หรือ ACD แต่ถ้าเก็บด้วย CPDA, CPD จะต้องปั่นแยกเม็ดเลือดแดงภายใน 8 ชั่วโมง (Lanevschi and Wardrop, 2001) หลังจากการเก็บเลือด ซึ่งจะยังคงมีสารป้องกันการแข็งตัวของเลือดเหลือในพลาสมา จากนั้นก็นำไปแช่แข็งที่ -20 องศาเซลเซียส โดยองค์ประกอบการแข็งตัวของเลือดยังคงทำงานต่อไปได้อีกประมาณ 1 ปี FFP เป็นแหล่งขององค์ประกอบการแข็งตัวของเลือดที่ดีที่สุด (Ettinger and Feldman, 2005) จึงใช้รักษาภาวะขาด coagulation factor ที่เกี่ยวกับตับทำงานผิดปกติ (Lanevschi and Wardrop, 2001) และสามารถใช้รักษาภาวะ hemorrhage ที่ผิดปกติได้อย่างกว้างขวาง รวมไปถึงภาวะ hemophilia, von Willebrand's disease, rodenticide intoxication, และ Disseminated intravascular coagulation (DIC) แต่ไม่ควรใช้เป็นแหล่งของอัลบูมิน (albumin) หรือสารอาหาร โดย FFP 45 มิลลิลิตรต่อน้ำหนักตัวสัตว์ 1

กิโลกรัมจึงจะสามารถเพิ่มความเข้มข้นของ serum albumin ได้ 1 กรัมต่อปริมาตรคลาスマ 100 มิลลิลิตร (g/dl) FFP จะใช้ในลูกสุนัข หรือลูกแมวที่มีภาวะ failure of passive transfer การให้คลาスマ จะเป็นสาเหตุที่ทำให้เกิด volume overload หรือ ปฏิกิริยาการแพ้ ขนาดการให้เริ่มต้นของ FFP คือ 6-10 มิลลิลิตรต่อน้ำหนักตัวสัตว์ 1 กิโลกรัม 1-3 ครั้งต่อวัน ขนาดการให้ขึ้นอยู่กับสภาพสัตว์ (Ettinger and Feldman, 2005)

Frozen plasma (FP)

เป็นคลาスマที่ไม่ได้แช่แข็งภายใน 6 ชั่วโมงหลังการเก็บ หรือ เป็น Fresh frozen plasma (FFP) ที่เก็บที่ -20°C นานกว่า 1 ปี ซึ่งทั้งสองแบบ ได้มีการเสียสมดุลของ coagulation factors V และ VIII นอกจากนี้ยังอาจแยก FP ได้จากโลหิตครบส่วนที่ลูกเก็บแช่เย็นนานกว่า 6 ชั่วโมง อาจใช้ FP ในลูกสุนัข หรือ ลูกแมว ที่มีภาวะ failure of passive transfer และใช้เป็นแหล่งอัลบูมิน ขนาดที่ใช้ คือ 6-10 มิลลิลิตรต่อน้ำหนักตัวสัตว์ 1 กิโลกรัม โดยให้ 1 – 3 ครั้งต่อวัน ขนาดการให้ขึ้นอยู่กับสภาพสัตว์ (Ettinger and Feldman, 2005)

Cryoprecipitate

Cryoprecipitate เป็นแหล่งที่มีความเข้มข้นของ von Willebrand's factor (vWF), fibrinogen (factor I) (Ettinger and Feldman, 2005), fibronectin (Morrissey and Cotter, 2000) และ factor VIII ซึ่งเตรียมจาก FFP 1 ยูนิต โดย FFP จะถูก漉ลงมาที่ 4 องศาเซลเซียส (Ettinger and Feldman, 2005) ในระหว่างการ漉ลงมาประมาณ 90% (Morrissey, 2000) cryoprecipitate ก็จะรวมตัวกันในคลาスマซึ่ง precipitate เหล่านี้ ประกอบด้วย vWF, factor VIII และ I และแยก precipitate ออกจาก liquid plasma โดยการปั่นแยก liquid plasma ก็จะอยู่ในรูปของ cryo-poor plasma

Cryoprecipitate ใช้ในการรักษา von Willebrand's disease, hemophilia A, และ ภาวะการขาด fibrinogen การใช้ Cryoprecipitate คล้ายกับ FFP สามารถเก็บที่ -20°C องศาเซลเซียส ได้นาน 1 ปี Cryoprecipitate จะเหมือนกับผลิตภัณฑ์คลาスマทั่วๆ ไป ซึ่งอาจจะเป็นสาเหตุที่ทำให้เกิดปฏิกิริยาการแพ้ได้ 1 ยูนิต ของ Cryoprecipitate ได้จาก 1 ยูนิตของ FFP ขนาดที่ใช้ คือ 1 ยูนิตต่อน้ำหนักตัวสัตว์ 10 กิโลกรัม (Ettinger and Feldman, 2005)

Cryo-poor plasma

เป็นพลาสม่าที่ยังคงเหลือหลังจากนำเอา Cryoprecipitate ออก โดย cryo-poor plasma จะประกอบไปด้วย factor II , VII, IX, และ X ซึ่งจะใช้ในการรักษา rodenticide intoxication การเก็บและการใช้เหมือนกับ FFP และผลิตภัณฑ์พลาสม่าทั่วๆ ไป ซึ่งอาจจะเป็นสาเหตุที่ทำให้เกิดปัฏกิริยาการแพ้ได้ ขนาดที่ใช้ คือ 1 ยูนิตต่อน้ำหนักตัวสัตว์ 10 กิโลกรัม (Ettinger and Feldman, 2005)

Platelet-rich plasma (PRP)

เตรียมจากโลหิตครบส่วน โดยการปั่นแยกที่ความเร็วต่ำกว่าการเตรียม pRBC และพลาสม่า เพื่อให้เกล็ดเลือด (platelet) ตกตะกอนในพลาสม่า ซึ่งจะต้องให้ภายในไม่กี่ชั่วโมงหลังการเก็บ PRP ไม่ควรจะนำไปแช่เย็น ซึ่งจะทำให้เกล็ดเลือดไม่ทำงาน การให้เกล็ดเลือดจะมีประโยชน์มากที่สุดในกรณีที่มีการลดการสร้างเกล็ดเลือด และจะได้ผลยากในกรณีที่ร่างกายมีการเพิ่มอัตราการใช้เกล็ดเลือด หรือการถ่าย geleid เลือด ซึ่งจะเป็นสาเหตุของ thrombocytopenia ในสุนัข การให้เกล็ดเลือดอาจมีการตอบสนองเกิดปัฏกิริยาการแพ้ หรือมีไข้ ขนาดที่ใช้ คือ 1 ยูนิตต่อน้ำหนักตัวสัตว์ 10 กิโลกรัม (Ettinger and Feldman, 2005)

อุปกรณ์และวิธีการ

อุปกรณ์

1. อุปกรณ์ในการเก็บตัวอย่าง

1.1 เฮพาริน (Heparin)

1.2 ถุงเก็บเลือดมาตรฐานบารูสาร citrate phosphate dextrose adenine (CPDA) ขนาด 350 มิลลิลิตร

1.3 กระบอกน้ำยาขนาด 10 มิลลิลิตร

1.4 ตู้เย็นความคุมอุณหภูมิ 4 องศาเซลเซียส

2. อุปกรณ์ในการทดลอง

2.1 หลอดทดลองพลาสติกขนาด 15 และ 50 มิลลิลิตร

2.2 หลอดแก้วทดลอง

2.3 Auto pipette ขนาด 20, 200, และ 1,000 ไมโครลิตร

2.4 Microcentrifuge tube

2.5 96 well plate

2.6 Eight multi-channel pipette

2.7 Microhematocrit capillary tube

2.8 เครื่อง Elisa reader

2.9 เครื่อง Spectrophotometer

2.10 เครื่อง Centrifuge ควบคุมอุณหภูมิ

2.11 Sorvall Centrifuge

2.12 Vortex mixer

2.13 Waterbath

3. สารเคมีที่ใช้ในการทดลอง

3.1 สารเคมีที่ใช้ในวิธี Osmotic Fragility test (ดูภาคผนวก)

3.1.1 Phosphate buffer solution (PBS) pH 7.4

3.1.2 0.25% -0.75% Sodium chloride solution (NaCl)

3.2. สารเคมีที่ใช้ในการวัดความสามารถรวมของสารต้านอนุมูลอิสระในการรีดิวช์ เหล็กเฟอร์ริก โดยวิธี Ferric reducing ability of plasma (FRAP) assay (ดูภาคผนวก)

3.2.1 Sodium acetate จากบริษัท Sigma-Aldrich ประเทศสหรัฐอเมริกา

3.2.2 TPTZ (2,4,6-tripyridyl-s-triazine) จากบริษัท Sigma-Aldrich ประเทศ
สหราชอาณาจักร

3.2.3 Hydrochloric acid (HCl)

3.2.4 Ferric chloride จากบริษัท Sigma-Aldrich ประเทศสหรัฐอเมริกา

3.2.5 Ferrous sulfate จากบริษัท Sigma-Aldrich ประเทศสหรัฐอเมริกา

3.3. สารเคมีวิเคราะห์ระบบกลูต้าไธโอน (ดูภาคผนวก)

3.3.1 Metaphosphoric acid จากบริษัท Sigma-Aldrich ประเทศสหรัฐอเมริกา

3.3.2 Sodium phosphate จากบริษัท Sigma-Aldrich ประเทศสหรัฐอเมริกา

3.3.3 Ethylenediaminetetraacetic acid-Na (EDTA-Na) จากบริษัท Sigma-Aldrich
ประเทศสหรัฐอเมริกา

3.3.4 Oxidized glutathione (GSSG) จากบริษัท Sigma-Aldrich ประเทศ

สหราชอาณาจักร

3.3.5 Triethanolamine จากบริษัท Sigma-Aldrich ประเทศสหรัฐอเมริกา

3.3.6 5,5'-dithiobis-(2-nitrobenzoic acid) (DTNB) จากบริษัท Sigma-Aldrich
ประเทศสหรัฐอเมริกา

3.3.7 NADPH จากบริษัท Sigma-Aldrich ประเทศสหรัฐอเมริกา

3.3.8 Glutathione reductase (GR) จากบริษัท Sigma-Aldrich ประเทศ
สหราชอาณาจักร

3.3.9 2-vinylpyridine จากบริษัท Sigma-Aldrich ประเทศสหรัฐอเมริกา

3.4 สารเคมีวิเคราะห์ Malondialdehyde (MDA) โดยวิธี Thiobarbituric Acid (TBA) assay (ดูภาคผนวก)

- 3.4.1 2-thiobarbituric acid (TBA) จากบริษัท Sigma-Aldrich ประเทศไทย สหรัฐอเมริกา
- 3.4.2 Trichloroacetic acid จากบริษัท Sigma-Aldrich ประเทศไทย สหรัฐอเมริกา
- 3.4.3 Butylated hydroxytoluene (BHT) จากบริษัท Sigma-Aldrich ประเทศไทย สหรัฐอเมริกา
- 3.4.4 n-butanol จากบริษัท Sigma-Aldrich ประเทศไทย สหรัฐอเมริกา
- 3.4.5 Pyridine จากบริษัท Sigma-Aldrich ประเทศไทย สหรัฐอเมริกา
- 3.4.6 Hydrochloric acid (HCl)
- 3.4.7 Deionized water

3.5. สารเคมีวิเคราะห์ปริมาณการบอนนิลโปรตีน ในเซลล์เม็ดเลือดแดง (ดูภาคผนวก)

- 3.5.1 2,4-dintrophenylhydrazine (DNPH) จากบริษัท Himedia ประเทศไทย อินเดีย
- 3.5.2 Trichloroacetic acid จากบริษัท Sigma-Aldrich ประเทศไทย สหรัฐอเมริกา
- 3.5.3 Ethanol จากบริษัท Carlo Erba ประเทศไทย อิตาลี
- 3.5.4 Ethyl acetate จากบริษัท Carlo Erba ประเทศไทย อิตาลี
- 3.5.5 Guanidine hydrochloride จากบริษัท Acros ประเทศไทย สหรัฐอเมริกา

วิธีการ

1. สัตว์ทดลอง

สุนัขพันธุ์ โกลเด้น รีทรีฟเวอร์ (Golden Retriever) ที่มาบริจาคเลือด ณ ธนาคารเลือด โรงพยาบาลสัตว์ มหาวิทยาลัยเกษตรศาสตร์ บางเขน อายุระหว่าง 3-6 ปี คละเพศ น้ำหนักอยู่ในระหว่าง 30-36 กิโลกรัม จำนวน 7 ตัว จากแหล่งเลี้ยงเดียวกัน สภาพแวดล้อม และอาหารแบบเดียวกัน มาบริจาคเลือดให้หน่วยธนาคารเลือด โรงพยาบาลสัตว์ มหาวิทยาลัยเกษตรศาสตร์ บางเขน เป็นประจำเมื่อจำเป็นต้องใช้เลือด มีประวัติการทำวัสดุชนิดบรรบุรูปปั้นจากโรคติดต่อทางเลือด ไม่เคยได้รับการผ่าตัดใหญ่ ในระยะ 1 – 2 เดือน ไม่มีโรคประจำตัวที่ร้ายแรง ไม่มีเห็บหมัด หรือโรคผิวนัง ทำการเจาะเก็บเลือดสุนัขตัวให้ (donors) แต่ละตัวจากเส้นเลือดดำใหญ่บริเวณลำคอ (Jugular vein) ของสุนัขด้วยวิธีการที่ปลอดเชื้อ เข้าตรงสู่ถุงเก็บเลือดมาตรฐานที่มีสารรักษาสภาพเซลล์ Citrate phosphate dextrose adenine (CPDA) อยู่ในปริมาตร 49 มิลลิลิตร รวมกับปริมาตรเลือดเป็น 350 มิลลิลิตรในถุงเลือด หลังจากผสมเข้ากันดีแล้วจึงทำการถ่ายเทเลือดปริมาตร 50 มิลลิลิตร จากถุงใหญ่ผ่านห้องท่อที่เชื่อมต่อ กันด้วยระบบปิด ไปยังถุงเก็บเลือดมาตรฐานขนาดเล็กแล้วเก็บเลือดสุนัขในธนาคารเลือดที่อุณหภูมิ 4 องศาเซลเซียส เพื่อใช้ในการทดลองต่อไป

2. การวางแผนการทดลอง

2.1 การเก็บตัวอย่างเลือด 5 ระยะ

กำหนดสัญลักษณ์แทนด้วย C 0 14 28 และ 42 โดยในวันแรกของการเก็บเลือดจะแบ่งเป็น 2 ช่วง คือ C เป็นเลือดที่เก็บจากสุนัขในสารป้องกันการแข็งตัวของเลือดชนิดไฮปาริน (heparin) ที่ความเข้มข้น 5-10 ยูนิต ต่อมิลลิลิตรเลือด เพื่อแสดงคุณภาพเลือดตามสภาพรวมชาติจกร่างกาย สัตว์ก่อนบรรจุลงในถุงเลือดมาตรฐานที่มีสาร CPDA และ 0 คือ เลือดที่เก็บจากสุนัขในวันแรกผสมด้วยสาร CPDA นาน 3 ชั่วโมง จากนั้นเลือดจะถูกเก็บในธนาคารเลือดสุนัข 14 คือ เลือดเก็บรักษาด้วยสาร CPDA นาน 14 วัน 28 คือ เลือดเก็บรักษาด้วยสาร CPDA นาน 28 วัน และ 42 คือ เลือดเก็บรักษาด้วยสาร CPDA นาน 42 วัน

2.2 การตรวจวิเคราะห์ตัวอย่างเลือด

ตัวอย่างโลหิตครบส่วนที่ใช้ในการวิเคราะห์ในแต่ละช่วงเวลาในข้อ 2.1 จะถูกแบ่งเป็น 2 ส่วน คือ น้ำเลือดพลาสma (plasma) และเซลล์เม็ดเลือดแดง

1. การเตรียมพลาสma โดยการนำโลหิตครบส่วนมาปั่นแยกตัวยึดร่องปั่นหนึ่งที่ 1,300 g นาน 15 นาที ที่ 4 องศาเซลเซียส จากนั้นดูดส่วนไส้ด้านบน คือพลาสma ใส่หลอดเก็บไว้ในตู้แช่แข็ง ที่อุณหภูมิ -80 องศาเซลเซียส เพื่อรอทำการวิเคราะห์ต่อไป

2. การเตรียมเม็ดเลือดแดง นำเลือดที่ถูกแยกพลาสma จากข้อ 1 ไปล้างด้วย PBS (Phosphate buffer solution) pH 7.4 ปั่นตกรอกอนเม็ดเลือดที่ 1,300 g นาน 15 นาที ที่ 4 องศาเซลเซียส ดูดน้ำใส และเซลล์เม็ดเลือดขาวพร้อมทั้งเกล็ดเลือดที่ผิวนทิ้ง ทำการล้างเม็ดเลือดเช่นนี้ 2 ครั้ง จึงนำไปใช้ในการทดลองต่อไป

3. วิธีการศึกษา

การศึกษาสภาวะเครียดเนื่องจากปฏิกิริยาออกซิเดชัน แบ่งการศึกษาออกเป็น 2 ทาง คือ

3.1 การศึกษาทางกายภาพ

3.1.1 Osmotic fragility test เป็นการเปรียบเทียบคุณสมบัติการแตกของเซลล์เม็ดเลือดแดงของสุนัขในสารละลาย Hypotonic ของ NaCl ที่มีความเข้มข้นต่าในระดับร้อยละ 0.25-0.75 ในช่วงระยะเวลาการเก็บรักษาต่างๆ

เยื่อหุ้มเซลล์มีบทบาทสำคัญในการรักษาสภาวะภายในเซลล์ให้เหมาะสมต่อการดำรงชีพ และการทำหน้าที่ต่างๆ แม้เมื่อสภาวะแวดล้อมภายนอกเซลล์แปรเปลี่ยนไป คุณสมบัติเคมี-ฟิสิกส์ขององค์ประกอบลิปิด-โปรตีนของเยื่อหุ้มเซลล์มีความสำคัญในการควบคุมอัตรา และปริมาณการเคลื่อนเข้าออกของน้ำและสารต่างๆ ระหว่างภายในและภายนอกเซลล์ ดังนั้นในกรณีที่มีการเปลี่ยนแปลงที่เกิดขึ้นทั้งภายในและภายนอกเซลล์ และมีผลกระทบต่อคุณสมบัติความคงทนของเยื่อหุ้มเซลล์ จะส่งผลต่อการขนส่งสารต่างๆ เข้าออกเซลล์ได้ การใช้สารละลาย NaCl ที่คำนับความเข้มข้นต่างกันจะเป็นการทดสอบความทนต่อสภาวะการเปลี่ยนแปลงที่เกิดขึ้น ซึ่งสามารถ

เปรียบเทียบการเปลี่ยนแปลงได้จากการคำนวนเป็นค่า MCF (Mean Corpuscular Fragility) ซึ่งเป็นค่าความเข้มข้นของสารละลาย NaCl ที่ทำให้มีดเลือดแดงแตกในระดับ 50% (McGown *et al.*, 1983)

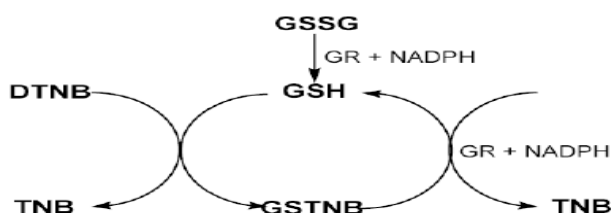
3.1.2 การวัดปริมาตรอัตตแน่นของเซลล์เม็ดเลือดแดง (Hematocrit) เพื่อตรวจสอบความสมบูรณ์ของเลือดสุน้ำ และใช้เปรียบเทียบความอยู่รอดของเซลล์ในระหว่างการเก็บรักษาเลือด

ใช้ microcapillary technique ใน การดึงเลือดเข้าสู่หลอด capillary หลังจากอุดด้วยดินน้ำมันที่ปลายหลอดด้านหนึ่งแล้ว ทำการปั่นตกรากอนเม็ดเลือดแดงด้วยเครื่องปั่นเหวี่ยงที่ 1,300 g นาน 15 นาที และอ่านค่าร้อยละของเม็ดเลือดแดงอัตตแน่นเทียบกับปริมาตรเลือดทั้งหมดที่ดูดเข้ามาในหลอด capillary

3.2 การศึกษาทางเคมี

3.2.1 การวิเคราะห์ปริมาณกลูต้าไธโอนภายในเซลล์เม็ดเลือดแดงโดยวิธี Enzymatic Recycling Assay (ดัดแปลงจากวิธีของ Tietze 1969)

หลักการวิเคราะห์กลูต้าไธโอนโดยใช้ออนไซน์ กลูต้าไธโอน รีดักเตส (Glutathione reductase) เพื่อหาความเข้มข้นของกลูต้าไธโอนใน microtiter plate assay โดยอาศัยหลักการดังนี้ หมู่ sulphhydryl ของกลูต้าไธโอน จะทำปฏิกิริยากับ 5,5'-dithiobis-2-nitrobenzoic acid (DTNB) และให้สีเหลืองของ 5-thio-2-nitrobenzoic acid (TNB) ซึ่งจะวัดค่าการดูดกลืนแสงได้ที่ความยาวคลื่น 405 นาโนเมตร อัตราการเกิด TNB เป็นสัดส่วนโดยตรงต่อความเข้มข้นของกลูต้าไธโอนในตัวอย่างในปฏิกิริยาข้อนกลับ ดังแสดงในภาพที่ 10

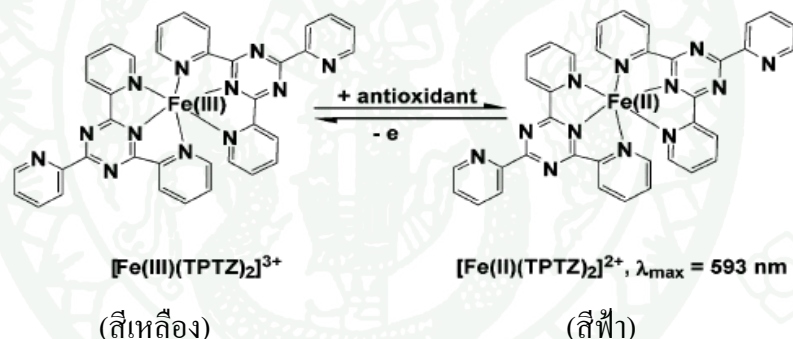


ภาพที่ 10 ปฏิกิริยาการวิเคราะห์กลูต้าไธโอน (GSH) ด้วยวิธี enzymatic recycling method.

3.2.2 การวัดความสามารถของสารต้านอนุมูลอิสระในการรีดิวซ์สารอนุมูลอิสระ (Total antioxidant capacity: TAC) ในตัวอย่างพลาasma โดยวิธี Ferric Reducing Ability of Plasma (FRAP) assay (ดัดแปลงจากวิธีของ Benzie and Strain, 1996)

วิธี FRAP Assay ใช้หลักการที่สารต้านอนุมูลอิสระในพลาasmaสามารถรีดิวซ์เฟอร์ริกไออกอน (ferric ion: Fe^{3+}) ได้เป็นเฟอร์รัสไออกอน (ferrus ion: Fe^{2+}) ที่ pH ต่ำ โดยมีโมเลกุล tripyridyl-triazine (TPTZ) ในปฏิกิริยาจับกับเฟอร์รัสไออกอน ทำให้เกิดสีฟ้า วัดค่าการดูดกลืนแสง ได้ที่ความยาวคลื่น 593 นาโนเมตร (ภาพที่ 11)

จำนวนความเข้มข้น ได้จากการเปรียบเทียบความเข้มข้นของ Fe^{2+} ที่ทราบความเข้มข้น (0-3,000 ไมโครโมลต์ต่อลิตร) และรายงานผลค่า TAC เป็นค่าไมโครโมลต์ต่อลิตร (Benzie and Strain, 1996; Fernandez-Pachon *et al.*, 2005)



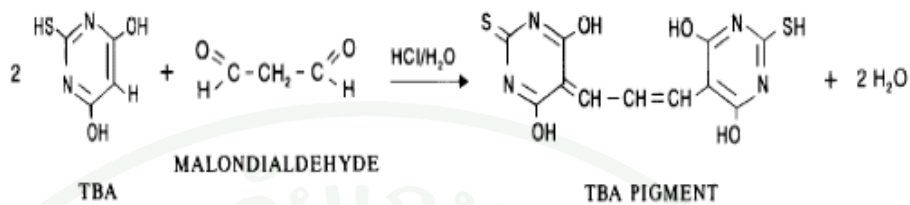
ภาพที่ 11 ปฏิกิริยาระหว่าง TPTZ กับ Fe^{2+}

ที่มา: Fernandez-Pachon *et al.* (2005)

3.2.3 การวิเคราะห์ระดับ Malondialdehyde (MDA) ในพลาasma โดยวิธี Thiobarbituric acid (TBA) assay (ดัดแปลงจากวิธีของ Sinnhuber และคณะ 1958)

MDA เป็นผลิตภัณฑ์ที่ได้จากการเปอร์ออกซิเดชันของไขมัน เมื่อทำปฏิกิริยากับ TBA เกิดเป็น Thiobarbituric acid reactive substrate (TBARS) ให้สีน้ำเงิน ซึ่งเป็นผลจากการทำปฏิกิริยาระหว่าง TBA 2 โมเลกุล กับ MDA 1 โมเลกุล (ภาพที่ 12) วัดค่าการดูดกลืนแสงที่ความยาวคลื่น

แสง 532 และ 572 นาโนเมตร เพื่อกำจัดปฏิกิริยารบกวนที่ไม่ใช่ MDA-TBA และรายงานผลค่า MDA เป็นนาโนโมลต่อมิลลิตรของพลาสม่า



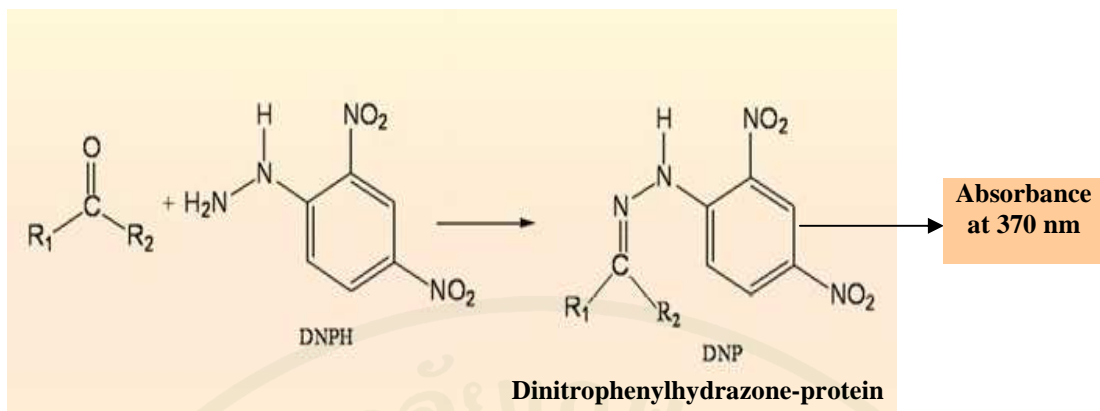
ภาพที่ 12 ปฏิกิริยาระหว่าง TBA และ MDA

ที่มา: Sinnhuber *et al.* (1958)

3.2.4 การหาปริมาณคาร์บอนิลโปรตีน (Protein carbonyl content) ในเซลล์เม็ดเลือดแดง โดยใช้วิธีของ Levine และคณะ (1990)

การเกิดออกซิเดชันของชาตุโลหะที่เกาะอยู่กับโปรตีน มีผลให้เกิดเป็นคาร์บอนิลโปรตีน พร้อมทั้งผลิต OH⁻ (Dukan *et al.*, 2000) คาร์บอนิลโปรตีนจึงเป็นผลิตภัณฑ์โปรตีนที่มีความสำคัญในการบ่งถึงการเกิดภาวะออกซิเดชันในตัวอย่างทางชีวภาพ ซึ่งผลิตภัณฑ์ดังกล่าวได้มาจากการเปลี่ยนแปลงแขนงข้างของกรดอะมิโนจำเพาะบางชนิดในโปรตีน เนื่องจากคาร์บอนิลโปรตีนเกิดขึ้นอย่างสมดุล โดยปฏิกิริยาเคมี จึงถูกใช้เป็นตัวชี้วัดสำคัญของการเครียดเนื่องจากปฏิกิริยาออกซิเดชันต่อโปรตีน โดยส่วนใหญ่เป็นชนิด ROS (Donne *et al.*, 2003) อนุมูล OH⁻ ที่เกิดตามมาจะไปออกซิไซซ์โปรตีนข้างเคียงเป็นปฏิกิริยาลูกโซ่ เกิดเป็นอนุมูลอิสระของกรดอะมิโน ทำให้โปรตีนของเซลล์เม็ดเลือดแดงเกิดความเสียหาย (Hawkins and Davies, 2001)

หลักการหาคาร์บอนิลโปรตีนในพลาสม่าคือ การทำปฏิกิริยาระหว่าง 2,4-Dinitrophenylhydrazine (DNPH) กับคาร์บอนิล โปรตีนเกิดการสร้าง Protein-hydrazone (ภาพที่ 13) ซึ่งสามารถตรวจด้วยเครื่อง spectrophotometer ที่ความยาวคลื่น 370 นาโนเมตร และเปรียบเทียบกับตัวอย่างควบคุม (control) โดยแสดงค่าเป็น นาโนโมลต่อมิลลิลิตร



ภาพที่ 13 ปฏิกิริยาระหว่าง DNPH กับการบอนนิลโปรตีน

ที่มา : Butterfield and Stadtman (1997)

การวิเคราะห์ทางสถิติ

วิเคราะห์ผลทางสถิติโดยวิธี Paired T-Test และวิธี Repeated Measures ANOVA และเปรียบเทียบความแตกต่างของค่าเฉลี่ยระหว่างกลุ่ม โดย Duncan's Multiple-Comparison Test ที่ระดับความเชื่อมั่นที่ $P < 0.05$ โดยใช้โปรแกรมสำเร็จรูป SPSS Version 16

ผลและวิจารณ์

1. ข้อมูลสุขภาพสุนัขที่ให้เลือด

ตารางที่ 2 แสดงผลการตรวจสุขภาพสุนัขพันธุ์โกลเด้น รีทรีฟเวอร์ ทั้ง 7 ตัวที่เป็นผู้ให้เลือด (doner) ในการศึกษาครั้งนี้ สุนัขทุกตัวมีสุขภาพดี มีค่าเคมีโลหิต และค่าทางโภชิตรวิทยาอยู่ในเกณฑ์ปกติ

ตารางที่ 2 แสดงผลการตรวจสุขภาพของสุนัขที่ใช้ในการศึกษา

สุนัข	เพศ	อายุ (ปี)	Hct (%)	BUN (mg%)	CREA (mg%)	ALT IU/L	TP gm%	ALB gm%
1	ผู้	6	37	11.5	0.9	32	6.4	2.8
2	เมีย	4	39	12.2	1.1	36	5.6	2.4
3	ผู้	3	37	11.1	1.2	29	6.9	3.2
4	ผู้	5	42	10.3	0.9	41	7.8	3.2
5	ผู้	6	38	10.9	1.0	30	8.5	3.1
6	ผู้	4	40	11.2	1.1	38	7.2	3.0
7	ผู้	3	37	12.3	1.0	59	6.8	2.6

ค่าปกติ: Hct (Hematocrit) 37-55 %

BUN (Blood urea nitrogen) 10-26 mg%

CREA (Creatinine) 0.5-1.3 mg%

ALT (Alanine aminotransferase) 6-70 IU/L

TP (Total protein) 5.3-7.8 gm%

ALB (Albumin) 2.3-3.2 gm%

2. ผลของการเก็บรักษาเลือดต่อระดับความเข้มข้นของกลูตาไธโอนภายในเซลล์

เซลล์เม็ดเลือดแดงมีระบบการป้องกันซึ่งจะถูกกระตุ้นเมื่อเซลล์ได้รับอันตรายที่อาจก่อให้เกิดความเสียหายของเซลล์ ภายในเซลล์จะมีสารต้านอนุมูลอิสระชนิดต่างๆ เพื่อรักษาสมดุลภายในเซลล์ และเพื่อต้านทานความรุนแรงที่จะเกิดขึ้น กลูตาไธโอนเป็นสารต้านอนุมูลอิสระภายในเซลล์ที่สำคัญในการป้องกันความเสียหายของเซลล์ ความเข้มข้นของกลูตาไธโอนระดับสูงภายในเซลล์จะทำหน้าที่ป้องกันหรือกำจัดอนุมูลอิสระหลายชนิด (Meister, 1992) การเพิ่มของอนุมูลอิสระภายในเซลล์เม็ดเลือดแดงจำเป็นต้องใช้กลูตาไธโอนในการรีดิวัสดารอนุมูลอิสระเพื่อเปลี่ยนความรุนแรงของ H_2O_2 ไปเป็น H_2O และ O_2 (Gaetani *et al.*, 1994) อิกทั้งยังช่วยรักษาหมู่ไธอัล (Thiol groups) ของโปรตีนไว้ในรูปรีดิวัสด (reduced state) ในสภาวะปกติเซลล์เม็ดเลือดแดงจะมี NADPH และกลูตาไธโอนอย่างเพียงพอเพื่อป้องกันอันตรายต่อเม็ดเลือดแดง (Ozben, 1998) ในภาวะเครียดที่เกิดจากปฏิกิริยาออกซิเดชันมากเกินไป อาจมีผลทำให้โครงสร้างของโมเลกุลไฮโมโกลบินเปลี่ยนแปลงไปจากลักษณะเดิม (denatured) เกิดมี Heinz body หรือ accentrocyte ปฏิกิริยาออกซิเดชันของชาตุเหล็กยังส่งผลเปลี่ยนแปลงโมเลกุลของไฮโมโกลบิน ให้เป็นเมตไฮโมโกลบิน (methemoglobin) ซึ่งจะขัดขวางการขนส่งออกซิเจน นอกจากนี้ปฏิกิริยาออกซิเดชันที่ระดับไขมันและโปรตีนบนเยื่อหุ้มเซลล์ ยังทำให้เกิดการสูญเสียรูปร่างของเซลล์ ผลเหล่านี้ก็จะทำให้เยื่อหุ้มเซลล์ของเซลล์เม็ดเลือดแดงเสียหาย และมีการปลดปล่อยไฮโมโกลบินออกนอกเซลล์ แล้วเกิดการแตกของเม็ดเลือดแดงตามมา (Duncan *et al.*, 1994)

จากการทดลองพบว่า ความเข้มข้นของกลูตาไธโอนในเซลล์เม็ดเลือดแดงที่เก็บรักษาในสารรักษาสภาพเซลล์ (CPDA) นาน 3 ชั่วโมง (0) ลดลงอย่างมีนัยสำคัญ ($P<0.05$) (ตารางที่ 3) เมื่อเทียบกับ กลูตาไธโอนในเซลล์เม็ดเลือดแดงก่อนใส่ในถุงเลือด (C) ความเข้มข้นของกลูตาไธโอนที่ลดลงแสดงถึงประสิทธิภาพในการทำงานของสารต้านอนุมูลอิสระในเซลล์ที่ลดลงเช่นกัน อาจเนื่องมาจากสภาพแวดล้อมของเซลล์ที่เปลี่ยนไป มีผลต่อการปรับตัวเพื่อรักษาสมดุลของเซลล์ในการต่อต้านปฏิกิริยาออกซิเดชันภายในเซลล์ที่เกิดขึ้นในระหว่างการเก็บรักษาเลือดใน 3 ชั่วโมงแรก และเมื่อเก็บรักษาเลือดนานถึง 14 วัน ความเข้มข้นของกลูตาไธโอนลดลงอย่างมีนัยสำคัญ ($P<0.05$) เมื่อเทียบกับ 0 (ตารางที่ 4) และมีแนวโน้มลดลงอย่างต่อเนื่อง สอดคล้องกับการทดลองในคน (Jozwiz *et al.*, 1997; Marjani, 2006; Dumaswala *et al.*, 1999) แต่หลังจากวันที่ 14 การลดลงไม่มีนัยสำคัญทางสถิติ ความเข้มข้นของกลูตาไธโอนในเม็ดเลือดที่ลดลงระหว่างการเก็บรักษาเลือด นอกถึงการลดการทำงานของสารต้านอนุมูลอิสระ เนื่องจากกลูตาไธโอนไม่เพียงพอต่อการป้องกันออกซิเดชันภายในเซลล์ในระหว่างการเก็บรักษาเลือด จึงมีผลต่อการลดการทำงานของ

กลูต้าไธโอนรีดักเตส (Glutathione reductase) และประสิติทิวภาพของ Pentose Phosphate Pathway ลดลง (Jozwiz *et al.*, 1997) และเมื่อพิจารณาถึงการเพิ่มขึ้นของ MDA (ตารางที่ 8) ในพิษทางเดียวกับการเพิ่มขึ้นของการบอนิดิโปรตีน (ตารางที่ 10) ซึ่งบ่งบอกถึงความเสียหายของโมเลกุลไขมันในเยื่อหุ้มเซลล์ และโปรตีนในสภาพแวดล้อมของเซลล์และในเยื่อหุ้มเซลล์เมื่odeloed แดงตามลำดับ สามารถยืนยันถึงความเสียหายที่รุนแรงเกินขีดความสามารถของสารต้านอนุมูลอิสระนำไปสู่ความล้มเหลวของระบบต้านภาวะออกซิเดชันภายในเซลล์ ภาวะเสียสมดุลในการป้องกันอันตราย เป็นจุดเริ่มต้นของภาวะเครียดจากปฏิกิริยาออกซิเดชันภายในเซลล์

ตารางที่ 3 การเปรียบเทียบค่าความเข้มข้นของกลูต้าไธโอน (Glutathione concentration) ในเม็ดเลือดแดงก่อน และหลังใส่ในถุงเลือดที่มีสาร CPDA

Control/Test	GSH ($\mu\text{mol/ml}$)
C	$0.70 \pm 0.05^{\text{a}}$
0	$0.49 \pm 0.06^{\text{b}}$

ตัวเลขแสดงค่า mean \pm SEM, n = 7

^{a,b} แสดงนัยสำคัญทางสถิติ ($P < 0.05$) เมื่อเปรียบเทียบคอลัมน์เดียวกัน

ตารางที่ 4 ค่าความเข้มข้นของกลูต้าไธโอน (Glutathione concentration) ในเม็ดเลือดแดงในระหว่างการเก็บรักษาเลือดในถุงเลือดที่มีสาร CPDA

Duration (days)	GSH ($\mu\text{mol/ml}$)
0	$0.49 \pm 0.06^{\text{b}}$
14	$0.40 \pm 0.06^{\text{c}}$
28	$0.36 \pm 0.06^{\text{c}}$
42	$0.34 \pm 0.05^{\text{c}}$

ตัวเลขแสดงค่า mean \pm SEM, n = 7

^{a,b,c} แสดงนัยสำคัญทางสถิติ ($P < 0.05$) เมื่อเปรียบเทียบคอลัมน์เดียวกัน

3. ผลของการเก็บรักษาเลือดต่อความสามารถรวมของสารต้านอนุมูลอิสระ (Total antioxidant capacity)

เซลล์เม็ดเลือดแดงจะสัมผัสกับอนุมูลอิสระทั้งภายในและภายนอกเซลล์ ดังนั้นจึงมีการพัฒนาระบบการป้องกันที่จะต้านภาวะออกซิเดชันที่เกิดจากอนุมูลอิสระ (Ozben, 1998) สารต้านอนุมูลอิสระจะทำงานมากขึ้นเมื่อตกอยู่ในภาวะเครียดเนื่องจากปฏิกิริยาออกซิเดชัน ค่าความสามารถรวมของสารต้านอนุมูลอิสระ (TAC) บอกถึงความสามารถของสารต้านอนุมูลอิสระในพลาสม่า ซึ่งช่วยในการป้องกันการเกิดปฏิกิริยาออกซิเดชันทั้งที่เกิดขึ้นกับเซลล์ และโปรตีนในพลาสม่า จากผลการทดลอง (ตารางที่ 5) พบว่าค่า TAC ของเลือดที่เก็บรักษาเลือดที่ 3 ชั่วโมงในสาร CPDA ลดลงอย่างมีนัยสำคัญ ($P<0.05$) เมื่อเทียบกับเลือดที่เก็บก่อนใส่ในถุงเลือด แสดงถึงการเก็บรักษาเลือดนาน 3 ชั่วโมงในสาร CPDA มีผลต่อการเพิ่มการทำงานของสารต้านอนุมูลอิสระในการรักษาสมดุลของเซลล์ เพื่อให้เซลล์สามารถดำเนินชีพในสภาพแวดล้อมที่เปลี่ยนแปลงไป ผลต่อการทำงานของเม็ดเลือดแดงในช่วงเริ่มต้นของการเก็บรักษาเลือดนี้สอดคล้องกับการทดลองในคน (Marjani, 2006) โดยการลดลงดังกล่าวเกิดจากการทำงานของระบบต้านอนุมูลอิสระภายนอกเซลล์ เพื่อรักษาภาวะสมดุลการทำงานของเซลล์ และโปรตีนในพลาสม่าให้ดำเนินได้ตามปกติ แต่เมื่อเก็บรักษานาน 14-28 และ 42 วัน ค่า TAC เพิ่มขึ้นอย่างมีนัยสำคัญ ($P<0.05$) (ตารางที่ 6) อาจเป็นไปได้ว่าในระหว่างการเก็บรักษาในวันที่ 14 ถึง 42 มีการเคลื่อนย้ายของสารต้านอนุมูลอิสระจากภายในเซลล์ ออกสู่นอกเซลล์ เพื่อปรับระดับระหว่างภายในและภายนอกเซลล์ และเมื่อเซลล์ได้รับความเสียหายจากอนุมูลอิสระเข้าทำลายสารชีวโมเลกุลที่สำคัญ จึงนำไปสู่การแตกของเซลล์ ซึ่งพิจารณาได้จากการเพิ่มขึ้นของ MDA (ตารางที่ 8) ที่บ่งถึงมีการทำลายเยื่อหุ้มเซลล์ของเม็ดเลือดแดงอย่างต่อเนื่อง ในระหว่างการเก็บรักษาเลือด นำไปสู่การเพิ่มความประจำของเซลล์เม็ดเลือดแดง ดังแสดงด้วยค่า MCF ในตารางที่ 12 และการลดลงของปริมาตรอัดแน่นของเซลล์เม็ดเลือดแดง (Hct) ในตารางที่ 14 จากการเปลี่ยนแปลงเหล่านี้อาจสันนิษฐานได้ว่ามีการเคลื่อนย้ายของสารต้านอนุมูลอิสระจากภายในเซลล์ จึงทำให้ค่า TAC เพิ่มขึ้นในตัวอย่างพลาสม่า ในขณะที่ความอยู่รอดของเซลล์เม็ดเลือดแดงลดลงเป็นลำดับ

ตารางที่ 5 การเปรียบเทียบค่าความสามารถรวมของสารต้านอนุมูลอิสระ (Total Antioxidant Capacity: TAC) ก่อน และหลังใส่ในถุงเลือดที่มีสาร CPDA

Control/Test	TAC ($\mu\text{mol/l}$)
C	$515.91 \pm 36.66^{\text{a}}$
0	$306.04 \pm 42.88^{\text{b}}$

ตัวเลขแสดงค่า mean \pm SEM, n = 7

^{a,b} แสดงนัยสำคัญทางสถิติ ($P < 0.05$) เมื่อเปรียบเทียบกับกลัมเนื้อเดียวกัน

ตารางที่ 6 ค่าความสามารถรวมของสารต้านอนุมูลอิสระ (Total Antioxidant Capacity: TAC) ในระหว่างการเก็บรักษาเลือดในถุงเลือดที่มีสาร CPDA

Duration (days)	TAC ($\mu\text{mol/l}$)
0	$306.04 \pm 42.88^{\text{a}}$
14	$370.65 \pm 35.31^{\text{b}}$
28	$465.43 \pm 31.47^{\text{c}}$
42	$528.80 \pm 29.30^{\text{d}}$

ตัวเลขแสดงค่า mean \pm SEM, n = 7

^{a,b,c,d} แสดงนัยสำคัญทางสถิติ ($P < 0.05$) เมื่อเปรียบเทียบกับกลัมเนื้อเดียวกัน

4. ผลของการเก็บรักษาเลือดต่อปริมาณของไขมัน (Lipid peroxidation)

จากผลข้างต้นที่แสดงถึงการลดลงของสารต้านอนุมูลอิสระ มีผลต่อการเพิ่มการทำลายสารชีวะโมเลกุล ที่สำคัญ โดยอนุมูลอิสระที่เพิ่มในขณะที่สารต้านอนุมูลอิสระลดลงโดยไม่มีการสร้างเพิ่มเติมในเซลล์เม็ดเลือดแดง จะเป็นสาเหตุให้เกิดเปอร์ออกซิเดชันของกรดไขมันในโมเลกุลฟอสโฟลิปิด ซึ่งเป็นส่วนประกอบที่สำคัญของโครงสร้างเยื่อหุ้มเซลล์ ระดับของ MDA ในพลาสม่า คือ ผลผลิตที่ถูกถ่ายจากปฏิกิริยาลูกโซ่ โดยการทำลาย Polyunsaturated fatty acid ของเยื่อหุ้มเซลล์ จากนั้นก็จะปลดปล่อยผลผลิตสุดท้ายของเปอร์ออกซิเดชัน ชนิด MDA ออกสูตรพลาสม่า ดังนั้น MDA จึงเป็นตัวชี้วัดเปอร์ออกซิเดชันของไขมันที่สำคัญที่สุด (Boaz. et al., 1999; Fiorillo et al., 1998; Niki et

al., 1988) และเป็นสาเหตุหลักของความเสียหายต่อเยื่อหุ้มเซลล์ของเม็ดเลือดแดง ซึ่งนำไปสู่การแตกของเม็ดเลือดแดง (hemolysis) (*Knight et al., 1992; Chiu et al., 1989; Jain, 1988*)

ผลการทดลองพบว่า ระดับของ MDA ในพลาสมาเพิ่มขึ้นอย่างมีนัยสำคัญ ($P<0.05$) ในเลือดที่เก็บรักษานาน 3 ชั่วโมง เมื่อเทียบกับเลือดที่เก็บก่อนใส่ในถุงเลือด (ตารางที่ 7) แสดงถึงมีการเกิดเปอร์ออกซิเดชันของไขมันในช่วงต้นของการเก็บรักษาเลือด และเมื่อเก็บรักษาเลือดนานถึง 14-28 วัน ระดับ MDA ในพลาสมาเพิ่มขึ้นอย่างมีนัยสำคัญ และมีแนวโน้มเพิ่มขึ้นอย่างต่อเนื่อง (ตารางที่ 8) กล่าวได้ว่าในระหว่างการเก็บรักษาเลือดมีเปอร์ออกซิเดชันของไขมันอย่างชัดเจนสอดคล้องกับการศึกษาในคน (*Marjani, 2006; Korgun et al., 2001; Jozwik et al., 1997; Gultekin et al., 2000; Dumaswala et al., 1999; Chiu et al., 1989; Knight et al., 1992; Jain, 1988; Wong et al., 1987; Aslan et al., 1997; Racek et al., 1997*) ผลการทดลองนี้แสดงถึงการทำลายสารชีวโมเลกุลที่เป็นไขมันของเยื่อหุ้มเซลล์อย่างชัดเจน และการเพิ่มของคาร์บอนิลโปรตีนในพลาasma (ตารางที่ 9) แสดงถึงการสร้างอนุมูลอิสระที่เกิดจากโปรตีนซึ่งมีส่วนสำคัญในการเพิ่มการทำลายสารชีวโมเลกุลไขมันของเซลล์ นำไปสู่ความเสียหายต่อโครงสร้างเซลล์เม็ดเลือดแดงที่เป็นไขมันอิกทางหนึ่ง จากการเพิ่มทั้ง MDA และคาร์บอนิลโปรตีนในพลาasmaแสดงถึงแนวโน้มความเสียหายที่อาจจะทวีความรุนแรงไปสู่การแตกของเซลล์เม็ดเลือดแดงในที่สุด

ตารางที่ 7 การเปรียบเทียบค่าความเข้มข้นของ Malondialdehyde (MDA) ก่อน และหลังใส่ในถุงเลือดที่มีสาร CPDA

Control/Test	MDA (nmol/ml)
C	1.36 ± 0.11^a
0	1.84 ± 0.12^b

ตัวเลขแสดงค่า mean \pm SEM, n = 7

^{a,b} แสดงนัยสำคัญทางสถิติ ($P<0.05$) เมื่อเปรียบเทียบค่าลักษณะเดียวกัน

ตารางที่ 8 ค่าความเข้มข้นของ Malondialdehyde (MDA) ในระหว่างการเก็บรักษาเลือด

Duration (days)	MDA (nmol/ml)
0	1.84±0.12 ^a
14	2.32±0.16 ^b
28	3.04±0.20 ^c
42	3.77±0.21 ^d

ตัวเลขแสดงค่า mean±SEM, n = 7

^{a,b,c,d} แสดงนัยสำคัญทางสถิติ ($P<0.05$) เมื่อเปรียบเทียบกับกลุ่มเดียวกัน

5. ผลของการเก็บรักษาเลือดต่อออกซิเดชันของโปรตีนในพลาสma

อนุมูลอิสระเป็นสาเหตุที่ทำให้เกิดกระบวนการเปลี่ยนแปลงของโปรตีน (Grune *et al.*, 1997) จากการศึกษาพบว่า การสลายโปรตีน (Davies *et al.*, 1987; Stadtman, 1993; Wolff *et al.*, 1986) จะเพิ่มขึ้นหลังจากมีการสร้างอนุมูลอิสระ เช่น ไฮโดรเจนเปอร์ออกไซด์ (O_2^-) หรือไฮโดรเจนเปอร์ออกไซด์ (H_2O_2) (Davies and Goldberg, 1987) อนุมูลอิสระมีผลต่อการเปลี่ยนแปลงการทำงานของเซลล์ โดยตรง โดยอนุมูลอิสระจะไปออกซิไดซ์แบบข้างของกรดอะมิโน และแแกนโครงสร้างของโปรตีน (protein backbone) ซึ่งจะนำไปสู่ protein-protein cross-link และการแยกออกเป็นส่วนๆ ของโปรตีน จะมีผลต่อเนื่องทำให้เกิดการเปลี่ยนแปลงของโปรตีนดังกล่าว

หมู่คาร์บอนิลจากโมเลกุลของโปรตีนในพลาสma (plasma protein carbonyl groups) จะเกิดบนแบบข้างของกรดอะมิโนของโปรตีน (Grune *et al.*, 1997) เมื่อมี metal ions ไคด์แอก' Fe^{2+} เป็นตัวกระตุ้นที่สำคัญ โดยไปจับกับตำแหน่ง cation binding site ในโมเลกุลของโปรตีนที่อยู่ในพลาสma หรือที่เยื่อหุ้มเซลล์ จากนั้น H_2O_2 จะมีผลในการเปลี่ยนแบบข้าง (side chains) ของกรดอะมิโนไปเป็นหมู่คาร์บอนิล (aldehydes และ ketones) ซึ่งทั้ง Fe^{2+} และ H_2O_2 ล้วนเกี่ยวข้องกับการสร้าง OH^- (ตามสมการของ Fenton reaction) (Stadtman, 1990; Moskovitz *et al.*, 2002) ซึ่งมีพลังในการทำลายสารชีวโมเลกุลสูง นำไปสู่การทำลายเยื่อหุ้มเซลล์ในบริเวณไกคีเดียง ดังนั้นการเพิ่มขึ้นของ protein carbonyl ในพลาสma ที่ถูกเก็บรักษาแสดงให้เห็นถึงการเกิดความเสียหายเนื่องจากอนุมูลอิสระ (Grune *et al.*, 1997; Stadtman, 1993)

ผลการทดลองพบว่าการ์บอนิลໂປຣຕິນໃນພລາສມາເພີ່ມຂຶ້ນອ່າງມືນຍສຳຄັ້ງ ($P<0.05$) ໃນກາຮເກີບຮັກຢາເລືອດນານ 3 ຂໍ້ວໂມງ ເມື່ອເທີບກັບເລືອດທີ່ເກີບກ່ອນໄສ່ໃນຖຸງເລືອດ (ຕາຮາງທີ່ 9) ຜຶ່ງປັນອກຄື່ງຄວາມເປົ່າຍັນແປ່ງຂອງໂປຣຕິນໃນພລາສມາທີ່ງ່າຍຕ່ອງກາຮງູກເຫັນຍ່ານໍາໃຫ້ເກີດຄວາມເສີ່ຍຫາຍເື່ອງຈາກເປົ່າຍັນແປ່ງດ້ານກວາງແວດ້ອມ ນໍາໄປໄສູ່ກາຮເພີ່ມປັກີກິຣີຍາອອກຊີເດັ່ນ ເກີດກາຮທໍາລາຍໂປຣຕິນທີ່ສຳຄັ້ງ ຜຶ່ງຈາກເປັນຈຸດເຮັ່ນຕັ້ນຂອງຄວາມເສີ່ຍຫາຍໃນຮະຫວ່າງກາຮເກີບຮັກຢາເລືອດ ແລະ ນໍາໄປໄສູ່ກາຮເກີດອນຸມຸລີສະຮະທີ່ມີຄວາມຮຸນແຮງໝັດ OH^- ໃນຮະບນຕາມມາ ມີລັກຢະນະເປັນວົງກາຮເພີ່ມປັມານ ດັບກັນໂປຣຕິນແລະ ອນຸມຸລີສະຮະອ່າງຕ່ອງເນື່ອງ ເມື່ອເກີບເລືອດນານຄື້ນ 14 28 ແລະ 42 ວັນ (ຕາຮາງທີ່ 10) ຜຶ່ງມີຜົດທໍາລາຍສາຮ້າວໂມເລັກລົດທີ່ເປັນໄຟ້ນັ້ນ ແລະ ໂປຣຕິນ ອັນເປັນສ່ວນປະກອບຂອງເໜັດລົດທີ່ອູ້ໃນພລາສມາ ອ່າງເຫັນເໜັດລົດມີຜົດເລືອດແດງ ເພີ່ມຄວາມເສີ່ຍັງຕ່ອງກາຮງູກທໍາລາຍ ຈາກກາຮສຶກຍາໃນຄົນພບວ່າກວາງເຄີຍຈາກປັກີກິຣີຍາອອກຊີເດັ່ນມີຜົດ ໂດຍຕຽນໃນກາຮທໍາລາຍໂປຣຕິນທີ່ເປັນສ່ວນປະກອບຂອງເໜັດລົດ ແລະ ມີສ່ວນທໍາໃຫ້ເກີດຄວາມເສີ່ຍຫາຍຕ່ອງເໜັດລົດມີຜົດເລືອດແດງ (Dumaswala *et al.*, 1996; Dumaswala *et al.*, 1997; Jarolim *et al.*, 1990; Kriebardis *et al.*, 2006)

ກາຮເພີ່ມຂຶ້ນຂອງກາຮດັບອນິລໂປຣຕິນໃນພລາສມາ ຜຶ່ງແສດງຄື່ງກາຮເພີ່ມກາຮເກີດອນຸມຸລີສະຮະ HO^- ຈາກກາຮດັບອນິລໂປຣຕິນ ກີ່ຈະນໍາໄປໄສູ່ກາຮທໍາລາຍເຂົ້ອຫຼຸມເໜັດລົດຂອງເໜັດລົດທຸກໝັດໃນເລືອດ ເໜັດລົດມີຜົດເລືອດຂາວມັກເກີດອນຸມຸລີສະຮະໝັດອນຸມຸລີຈຸບປ່ອຮ້ອກໄໝ໌ (Curnutte and Babior, 1987) ຈາກບໍທນາທກ ກາຮທໍາລາຍທາງອິນມູນ ແຕ່ເນື່ອງຈາກມີປັມານເໜັດລົດນ້ອຍ ຈຶ່ງໄມ້ມີຜົດກະທນໃນກາຮເຫັນຍ່ານໍາໃຫ້ເກີດກາຮທໍາລາຍເໜັດລົດມີຜົດເລືອດແດງທີ່ອູ້ຂ້າງເຄີຍໄດ້ມາກນັກ ດັ່ງນັ້ນກາຮເປົ່າຍັນແປ່ງຂອງກາຮດັບອນິລໂປຣຕິນໃນພລາສມາຈຶ່ງເປັນດັ່ງນີ້ທີ່ສຳຄັ້ງໃນກາຮສຶກຍາພລອຂອງອນຸມຸລີສະຮະຕ່ອງໂຄຮງສ້າງຂອງເໜັດລົດມີຜົດເລືອດແດງ ຈາກຜົດກາຮທໍາລາຍແສດງວ່າກວາງເຄີຍຈາກປັກີກິຣີຍາອອກຊີເດັ່ນມີຜົດຕ່ອງໂປຣຕິນຂອງເຂົ້ອຫຼຸມເໜັດລົດແລະໂປຣຕິນທີ່ອູ້ໃນສປາພແວດ້ອມ ຜຶ່ງຈາຈະສ່າງຜົດຕ່ອງເໜັດລົດທີ່ກ່າວທຽບແລະທາງອ້ອມຕາມລຳດັບ ຜຶ່ງຜົດຈາກກາຮທໍາລາຍໂປຣຕິນທີ່ສຳຄັ້ງຈາກທີ່ກ່າວທຽບແລະທາງອ້ອມຕາມລຳດັບ ເປັນຜົດໃຫ້ເໜັດລົດມີຜົດເລືອດແດງສູງເລີຍກາຮທໍາລາຍ ແລະ ເໜັດລົດງູກທໍາລາຍໃນທີ່ສຸດ

ตารางที่ 9 การเปรียบเทียบค่าความเข้มข้นของคาร์บอนิลโปรตีน ก่อน และหลังใส่ในถุงเลือดที่มีสาร CPDA

Control/Test	Carbonyl proteins (nmol/ml)
C	6.95±0.82 ^a
0	9.49±0.88 ^b

ตัวเลขแสดงค่า mean±SEM, n =7

^{a,b} แสดงนัยสำคัญทางสถิติ ($P<0.05$) เมื่อเปรียบเทียบกับกลัมเน่เดียวกัน

ตารางที่ 10 ค่าความเข้มข้นของคาร์บอนิลโปรตีน ในระหว่างการเก็บรักษาเลือดที่มีสาร CPDA

Duration (days)	Carbonyl proteins (nmol/ml)
0	9.49± 0.88 ^a
14	12.77±1.06 ^b
28	18.65±1.37 ^c
42	20.97±1.30 ^d

ตัวเลขแสดงค่า mean±SEM, n =7

^{a,b,c,d} แสดงนัยสำคัญทางสถิติ ($P<0.05$) เมื่อเปรียบเทียบกับกลัมเน่เดียวกัน

6. ผลของการเก็บรักษาเลือดต่อความ perse และปริมาตรอัดแน่นของเม็ดเลือดแดง

จากการทดลองข้างต้นชี้ให้เห็นถึงปัญหาที่เกิดขึ้นในระหว่างการเก็บรักษาเลือด โดยมีสาเหตุหลักมาจากการอนุมูลอิสระที่เพิ่มขึ้น เป็นผลให้ระบบป้องกันของเซลล์เสื่อมสภาพลง และเกิดการทำลายโมเลกุลโครงสร้างของเซลล์ นำไปสู่การทำลายสารชีวโมเลกุลที่สำคัญของเซลล์ มีผลทำให้เซลล์สูญเสียการทำงาน สูญเสียรูปร่าง และสุดท้ายเซลล์จะถูกทำลาย ดังนั้น ค่าความperse และแทกจ่ายของเซลล์ (MFC) สามารถออกถึงความเสียหายทางกายภาพที่สะท้อนถึงคุณสมบัติของเยื่อหุ้มเซลล์ เนื่องจากการออกซิเดชันของกรดอะมิโน เกิดผลต่อเนื่องจนนำไปสู่การเปลี่ยนแปลงของโมเลกุลไขมัน และโปรตีนที่เป็นองค์ประกอบของเยื่อหุ้มเซลล์ มีผลต่อการลดการควบคุมการผ่านเข้าออกของสารระหว่างภายในและนอกเซลล์ ตลอดจนลดความยืดหยุ่นของเยื่อหุ้มเซลล์ และการ

สูญเสียคุณสมบัติแอนติเจนบนผิวเซลล์เม็ดเลือดแดง (Clarke, 1985; Pfafferot *et al.*, 1982; Jain *et al.*, 1983; Hochstein and Jain., 1981) ในระหว่างการเก็บรักษาเม็ดเลือดมีผลต่อการเพิ่มปัฏ्ठิกริยาออกซิเดชันนำไปสู่การลดความสามารถของสารต้านอนุมูลอิสระ ทำให้ในระบบการเก็บรักษาเลือดมีปริมาณอนุมูลอิสระสูง ถึงแม่จะเป็นปัฏ्ठิกริยาที่ชาแต่ก็มีความไวพอดีที่จะสร้างความเสียหายต่อมีดเลือดแดง จนนำไปสู่การแตกของเม็ดเลือดแดงในที่สุด (Jozwiz *et al.*, 1997)

ผลการทดลองพบว่า ค่า MCF เพิ่มขึ้นในเลือดที่เก็บในสาร CPDA นาน 3 ชั่วโมงอย่างไม่มีนัยสำคัญ เมื่อเทียบกับเลือดที่เก็บก่อนใส่ในถุงเลือด (ตารางที่ 11) สอดคล้องกับการลดลงของค่า Hct เพียงเล็กน้อย (ตารางที่ 13) ซึ่งอาจเกิดจากการเลือดางของเลือดลงร้อยละ 14.28 ด้วยสาร CPDA เมื่อใส่เลือดในถุง นอกจากนี้ยังแสดงว่าปัฏ्ठิกริยาออกซิเดชันใน 3 ชั่วโมงแรกของการเก็บรักษาเลือดยังไม่มีผลต่อการแตกของเซลล์เม็ดเลือดแดงมากนัก

เมื่อเก็บรักษาเลือดนานถึง 14 วัน ค่า MCF ก็ยังคงเพิ่มขึ้นแต่ไม่มีนัยสำคัญทางสถิติ (ตารางที่ 12) และเมื่อพิจารณาลดลงของค่า Hct ที่ 14 วัน (ตารางที่ 14) แสดงถึงความอญ്ത์รอดของเซลล์เม็ดเลือดแดงโดยรวมในสาร CPDA ใน 14 วันแรกของการเก็บรักษาไม่มีผลต่อเซลล์มากนัก แต่เมื่อเก็บรักษาเลือดนานถึงวันที่ 28 และ 42 ค่า MCF เพิ่มสูงขึ้น พร้อมทั้ง Hct ที่ลดลงอย่างมีนัยสำคัญ ($P<0.05$) และเมื่อถูกในภาพที่ 14 ก็จะเห็นเปอร์เซ็นต์การแตกของเม็ดเลือดแดงที่ 50% เข้าใกล้ความเข้มข้นของสารละลายที่เป็นไอโซโทนิก (isotonic solution) และถึงภาวะการเพิ่มความเปร่าของเม็ดเลือดแดงเมื่อเก็บเป็นเวลานาน 28 ถึง 42 วัน อาจจะมีผลต่อความอญ্ত์รอดของเม็ดเลือดแดงเนื่องจากมีการศึกษาถึงการทำลายโมเลกุลลิปิดและโปรตีนของเยื่อหุ้มเซลล์เม็ดเลือดแดงในระหว่างการเก็บรักษาเลือด (Dumaswala *et al.*, 1996; Dumaswala *et al.*, 1997; Jarolim *et al.*, 1990; Kriebardis *et al.*, 2006;) ซึ่งเพิ่มขึ้นอย่างต่อเนื่อง การเพิ่มขึ้นของคาร์บอนไดออกไซด์ในพลาสมาออกถึงความเสียหายของโปรตีนที่มีส่วนในการเพิ่มการผลิตสารอนุมูลอิสระเข้าทำลายสารชีวโมเลกุลที่เป็นไขมัน และโปรตีนของเซลล์เม็ดเลือดแดง การร่วมทำลายเซลล์เม็ดเลือดแดงทั้งภายในเซลล์ และภายนอกเซลล์ ยิ่งทวีความรุนแรงเป็นผลให้เซลล์ สูญเสียหน้าที่ และการทำงาน นำไปสู่การเพิ่มการแตกของเซลล์ตามมา (Knight *et al.*, 1992; Chiu *et al.*, 1989; Jain, 1988)

จากการทดลองดังกล่าวยืนยันได้ว่า ความเปร่าที่เพิ่มขึ้นของเม็ดเลือดแดงเกิดควบคู่กับการเพิ่มความเข้มข้นของ MDA (ตารางที่ 8) ซึ่งสอดคล้องกับการทดลองในคน (Chiu *et al.*, 1989; Knight *et al.*, 1992; Jain, 1988 and Wong *et al.*, 1987) และการเพิ่มของ TAC ในพลาasmaเนื่องจาก การเคลื่อนย้ายของสารต้านอนุมูลอิสระจากภายในเซลล์ อันเป็นผลจากการสูญเสียคุณสมบัติปกติ

ของเยื่อหุ้มเซลล์เม็ดเลือดแดง และมีการแตกเพิ่มขึ้นตามความประrageของเม็ดเลือดแดงที่เพิ่มขึ้น การเกิดอนุมูลชูปเปอร์ออกไซด์ (superoxide radical) จากการออกซิไดซ์ชีโนโกลบิน (Carrel *et al.*, 1975) ยังเพิ่มอัตราการใช้สารต้านอนุมูลอิสระ และส่งผลต่อการขนส่งออกซิเจน (Chiu *et al.*, 1989; Tsuda *et al.*, 1972; Desforges and Slawski, 1972; Fagiolo *et al.*, 1986) โปรตีนในพลาสมาซึ่งเป็นสาเหตุที่สำคัญในการทำลายเยื่อหุ้มเซลล์เซลล์เม็ดเลือดแดงและส่งผลต่อการแตกของเซลล์เนื่องจากมีการเพิ่มปริมาณคาร์บอนิล โปรตีน (ตารางที่ 10) ที่แสดงถึงการเพิ่มออกซิเดชันของโปรตีนในพลาasma โดยอาจมีผลมาจากการเกิด OH⁻ ที่มีความรุนแรงในการทำลายสารชีวโมเลกุลของเซลล์ข้างเคียง ซึ่งเป็นแนวร่วมที่สำคัญในการทำลายเซลล์เม็ดเลือดแดง

ตารางที่ 11 การเปรียบเทียบค่าความประrageของเม็ดเลือดแดง (Mean Corpuscular Fragility, MCF) ก่อน และหลังใส่ในถุงเลือดที่มีสาร CPDA

Control/Test	MCF (%)
C	0.3779±0.01 ^a
0	0.3910±0.01 ^a

ตัวเลขแสดงค่า mean±SEM, n =7

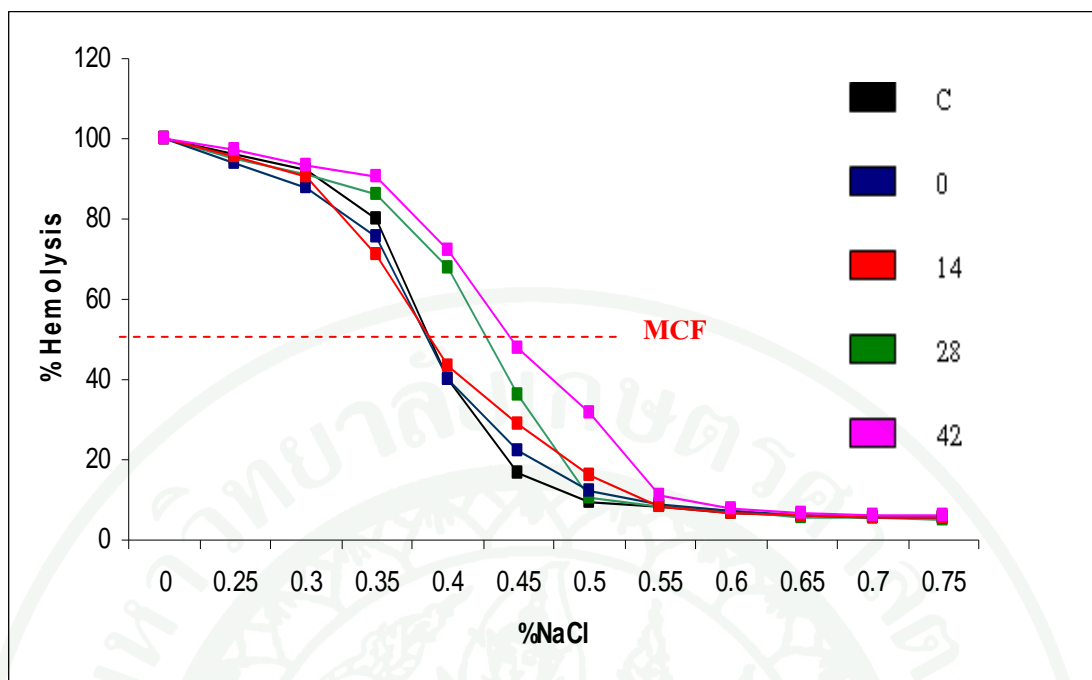
^a แสดงนัยสำคัญทางสถิติ ($P<0.05$) เมื่อเปรียบเทียบคอลัมน์เดียวกัน

ตารางที่ 12 ค่าความประrageของเม็ดเลือดแดง (Mean Corpuscular Fragility; MCF) ในระหว่างการเก็บรักษาเลือดที่มีสาร CPDA

Duration (days)	MCF (%)
0	0.3910±0.01 ^a
14	0.4026±0.01 ^a
28	0.4588±0.01 ^b
42	0.4718±0.01 ^b

ตัวเลขแสดงค่า mean±SEM, n =7

^{a,b} แสดงนัยสำคัญทางสถิติ ($P<0.05$) เมื่อเปรียบเทียบคอลัมน์เดียวกัน



ภาพที่ 14 กราฟแสดงค่า % Hemolysis ของเลือดก้อนเข้าถุงเลือด (C) หลังเข้าถุงเลือดนาน 3 ชั่วโมง (0) 14 28 และ 42 ตามลำดับ

ตารางที่ 13 การเปรียบเทียบค่าปริมาตรเซลล์เม็ดเลือดแดงอัดแน่น (Hematocrit; Hct) ก้อนและหลังใส่ในถุงเลือดที่มีสาร CPDA

Control/Test	Hct (%)
C	38.29±0.84 ^a
0	38.00±0.82 ^a

ตัวเลขแสดงค่า mean±SEM, n =7

^a แสดงนัยสำคัญทางสถิติ ($P<0.05$) เมื่อเปรียบเทียบค่าลักษณะเดียวกัน

ตารางที่ 14 ค่าปริมาตรเซลล์เม็ดเลือดแดงอัดแน่น (Hematocrit; Hct) ในระหว่างการเก็บรักษาเลือด
ที่มีสาร CPDA

Duration (days)	Hct (%)
0	38.00±0.82 ^a
14	37.21±0.72 ^a
28	33.43±0.37 ^b
42	31.00±0.77 ^c

ตัวเลขแสดงค่า mean±SEM, n =7

^{a,b,c} แสดงนัยสำคัญทางสถิติ ($P<0.05$) เมื่อเปรียบเทียบคอลัมน์เดียวกัน

สรุปและข้อเสนอแนะ

สรุป

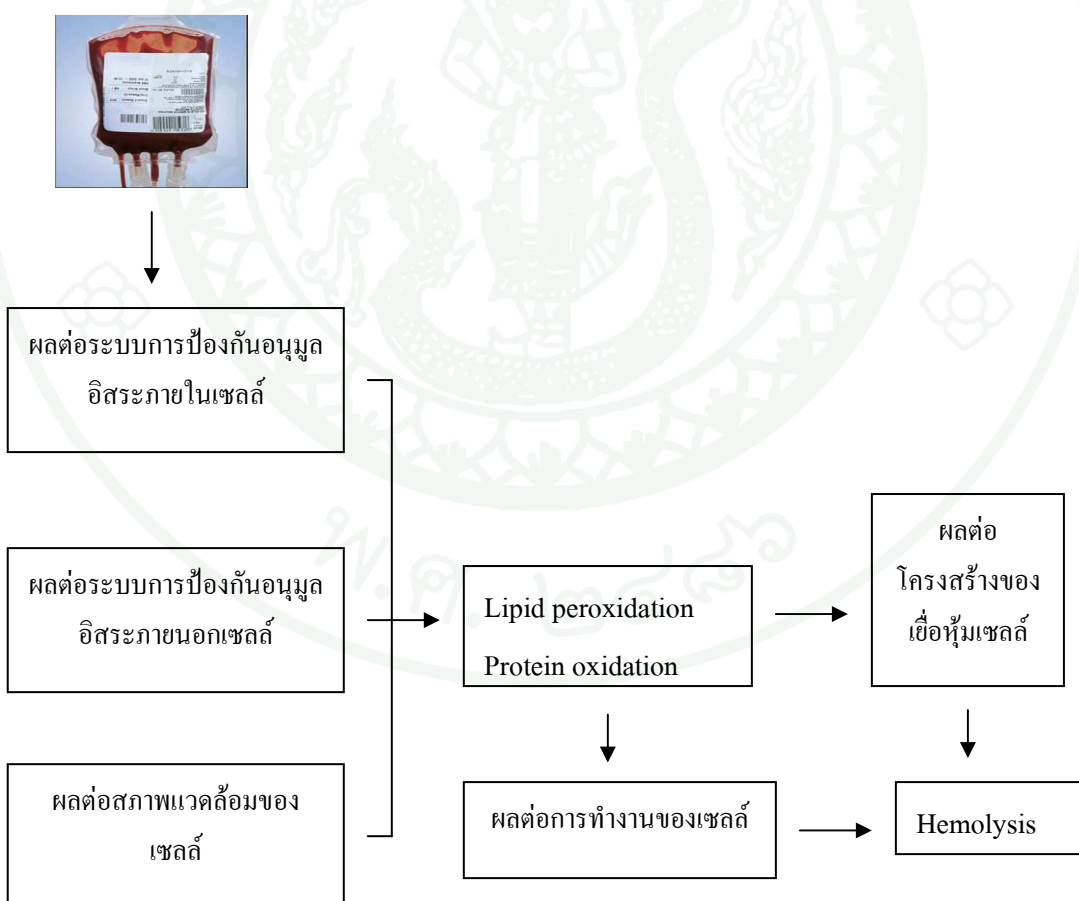
1. ปริมาณ MDA และคาร์บอนิลโปรตีนในพลาスマ ที่เพิ่มขึ้นอย่างต่อเนื่อง และการลดลงของระดับกลูต้าไธโอนในเซลล์เม็ดเลือดแดง และมีแนวโน้มลดลงอย่างต่อเนื่อง ร่วมกับการเพิ่มขึ้นของระดับ TAC ในพลาasma ในวันที่ 14 ถึง 42 บ่งว่าเซลล์เม็ดเลือดแดงของสุนัขที่เก็บรักษาในสารรักษาสภาพของเซลล์ CPDA มีการเกิดปฏิกิริยาออกซิเดชัน แม้ที่อุณหภูมิ 4 องศาเซลเซียส และมีการใช้กลูต้าไธโอนร่วมด้วยในการทำงานของระบบป้องกันออกซิเดชันภายในเซลล์
2. การเกิดภาวะเครียดจากปฏิกิริยาออกซิเดชัน ส่งผลลดความสามารถรวมของสารต้านอนุมูลอิสระในพลาasma (TAC) ในเลือดที่เก็บรักษาด้วยสาร CPDA ที่ 3 ชั่วโมง แสดงถึงการลดการทำงานของระบบป้องกันออกซิเดชันภายในเซลล์ เนื่องจากมีการเปลี่ยนแปลงสภาพแวดล้อมของเซลล์ นำไปสู่การปรับตัวของเซลล์ในช่วงต้นของการเก็บรักษาเลือด ต่อเมื่อมีการเปลี่ยนแปลงสภาวะแวดล้อมของเซลล์ นำไปสู่การแตกหักของโครงสร้างและการทำงานมากขึ้น ระดับของ TAC ในพลาasma จึงเพิ่มสูงขึ้นในวันที่ 14 28 และ 42 อันอาจมีผลมาจากการความเปราะของเม็ดเลือดแดงที่เพิ่มขึ้นจนนำไปสู่การแตกของเม็ดเลือดแดง และมีสารต้านอนุมูลอิสระเคลื่อนออกสู่พลาasma ในระหว่างการเก็บรักษาเลือด
3. ภาวะเครียดจากปฏิกิริยาออกซิเดชันส่งผลเพิ่ม lipid peroxidation ของเยื่อหุ้มเซลล์ (ปริมาณ MDA) และกระทบต่อความอยู่รอดของเซลล์เม็ดเลือดแดง โดยเพิ่มความเปราะของเม็ดเลือดแดง (ค่า MCF) จนนำไปสู่การแตกเพิ่มขึ้น (ค่า Hct) เมื่อเก็บรักษาเลือดนานถึง 28 และ 42 วัน มีผลเพิ่มการเคลื่อนออกของสารต้านอนุมูลอิสระสู่พลาasma (TAC) ในระหว่างการเก็บรักษาเลือด ในวันที่ 14 28 และ 42
4. ในระหว่างการเก็บรักษาเลือดมีปอร์ออกซิเดชันของโมเลกุลไบมันที่เป็นโครงสร้างของเซลล์เม็ดเลือดแดงอย่างชัดเจน (การเพิ่มของ MDA) แต่จะมีผลต่อเซลล์เม็ดเลือดแดงชัดเจนที่สุดในวันที่ 28 และ 42 เมื่อพิจารณาการเพิ่มของ MCF และการลดของ Hct
5. ปริมาณคาร์บอนิลโปรตีนในพลาasma เพิ่มขึ้นอย่างต่อเนื่องในระหว่างการเก็บรักษาเลือด แสดงถึงออกซิเดชันของโปรตีนในพลาasma และเยื่อหุ้มเซลล์ ซึ่งบ่งถึงความไม่เหมาะสมของ

สภาพแวดล้อมของเซลล์เม็ดเลือดแดงในระหว่างการเก็บรักษา ที่มีความเสี่ยงต่อการเพิ่มการทำงานทำลายเซลล์เม็ดเลือดแดง

6. จากผลการทดลองสามารถประยุกต์ได้ว่า การเก็บรักษาเลือดตัวชี้สาร CPDA นานถึง 28 วันอาจไม่ให้ประสิทธิภาพดีในการใช้ถ่ายเลือดให้แก่สูนัขป่วย

7. จากผลการทดลองที่เกิดขึ้นแสดงถึงการเกิดความเครียดจากปฏิกิริยาออกซิเดชันในระหว่างการเก็บรักษาเลือดสูนัข โดยพิจารณาจากตัวชี้วัดที่สำคัญ ซึ่งผลจากการทดสอบกล่าว นำไปสู่การเสื่อมของระบบป้องกันอนุมูลอิสระ เกิดการทำลายโครงสร้างของเซลล์ และเซลล์ถูกทำลายในที่สุดดังแสดงในภาพที่ 15

ระยะเวลาการเก็บรักษาเลือด



ภาพที่ 15 แสดงกลไกการทำงานทำลายเซลล์เม็ดเลือดแดงในระหว่างการเก็บรักษาเลือด

ข้อเสนอแนะ

1. ความมีการศึกษาถึงการเสริมสารต้านอนุมูลอิสระ หรือสารให้พลังงานอื่นๆ เข้าไปในถุงเลือดมาตรฐาน (Maeda et al., 1992; Lindeman et al., 1992) เพื่อเพิ่มความสามารถในการต้านการทำลายของอนุมูลอิสระ เพื่อเพิ่มศักยภาพในการทำงานของเซลล์เม็ดเลือดแดงหลังการถ่ายเลือดให้สุนัขป่วย อีกทั้งยังช่วยเพิ่มคุณภาพเลือดให้กับเลือดที่เก็บเป็นเวลานานขึ้นด้วย
2. ความมีการศึกษาถึงการทำงานของเซลล์เม็ดเลือดแดงหลังจากถ่ายเลือดให้กับสุนัขตัวรับหลังจากการให้เลือดกับสุนัขป่วย เพื่อให้ทราบถึงประสิทธิภาพของเลือดที่ถูกเก็บรักษาในแต่ละช่วงเวลา
3. การใช้เลือดที่เก็บรักษานานถึง 28 วันอาจไม่ให้ประสิทธิภาพในการรักษาสุนัขป่วย
4. ความมีการศึกษาผลของการเครียดต่อเซลล์เม็ดเลือดแดงเพิ่มเติม เพื่อพัฒนาประสิทธิภาพ และคุณภาพของเลือด ตลอดจนการเพิ่มข้อมูลที่เป็นมาตรฐานในการเก็บรักษาเลือดสุนัข เพื่อเป็นแนวทางในการใช้ผลิตภัณฑ์เลือดอย่างมีประสิทธิภาพต่อไป

เอกสารและสิ่งอ้างอิง

เฉลี่ยว ศาลากิจ. 2548. ตำราโลหิตวิทยาทางสัตวแพทย์. โรงพยาบาลศูนย์ส่งเสริมและฝึกอบรม
การเกษตรแห่งชาติ มหาวิทยาลัยเกษตรศาสตร์, นครปฐม.

พิมล เชี่ยวศิลป์. 2526. การให้เลือด. โรงพยาบาลศูนย์ พิมเสนศ, กรุงเทพฯ.

Amici, A., R. L. Levine, L. Tsai, and E. R. Stadtman. 1989. Conversion of amino acid residues in proteins and amino acid homopolymers to carbonyl derivatives by metal - catalyzed oxidation reactions. **J. Biol. Chem.** 264:3341-3346.

Anderson, M.E. 1998. Glutathione: an overview of biosynthesis and modulation. **Chem. Biol. Interact.** 2: 1–14.

Aslan, R., M.R. Sekeroglu, M. Tarakcioglu and H. Koylu. 1997. Investigation of malondialdehyde formation and antioxidant enzyme activity in stored blood. **Haematology.** 28: 233-237.

Atkinson, D.E. 1949. The energy charge of adenylate pool as a regulatory parameter: Interactions with feedback modifiers. **Biochemistry.** 7: 4030-4034.

Audet, A.M. and , L.T. Goodnough. 1992. Practice strategies for elective red blood cell transfusion. **Ann Intern Med.** 116:403.

Authement, J.M., K.J. Wolfsheimer and S. Catchings. 1987. Canine blood component therapy: product preparation,storage, and administration. **J Amer Anim Hosp Assoc.** 23:483-493.

Baggot, J.D. 1992. Clinical pharmacokinetics in veterinary medicine. **Clinical Pharmacokinetics.** 18:254–273.

Bahorun, T., M.A. Soobrattee, V. Luximon-Rammaand and O.I. Aruoma. 2006. Free radicals and antioxidants in cardiovascular health and disease. **IJMU**. 1(2): 1-20.

Bailey, D.N. and Bove, J.R. 1975. Chemical and hematological changes in stored CPD blood. **Transfusion**. 15: 244-249.

Banerjee, R. and F. Stetzkowski. 1970. Heme transfer from hemoglobin and ferrihemoglobin to some new ligands and its implication in the mechanism of oxidation of ferrohemoglobin by air. **Biophys. Acta**. 221: 636-9.

Bannai, S., H.N. Christensen, J.V. Vadgama, J.C. Ellory, E. Englesberg and G.G. Guidotti. 1984. Amino acid transport systems. **Nature**. 311: 308.

Beckman, K.B. and B.N. Ames. 1998. The free radical theory of aging matures. **Physiol. Rev.** 78: 547-581.

Benzie, I.F. and J.J. Strain. 1996. The ferric reducing ability of plasma (FRAP) as a measure of antioxidant power : The FRAP Assay. **Analytical Biochemistry**. 239: 70-76.

Boaz, M., Z. Matas and , A. Biro. 1999. Comparison of hemostatic factors and serum malondialdehyde as predictive factors of cardiovascular disease in hemodialysis patients. **Am. J. Kidney Dis.** 34: 438-444.

Bohnstedt, K.C. 2005. Determination of biomarkers for lipid peroxidation and oxidative stress. **Doctoral thesis**. 91.

Brown, W.D. and L.B. Mebine. 1969. Autoxidation of myoglobin by oxygen. **Biochem. J.** 244: 6696-701.

- Burney, S., J.C. Niles, P.C. Dedon and S.R. Tannenbaum. 1999. DNA damage in deoxynucleosides and oligonucleotides treated with peroxynitrite. **Chem. Res. Toxicol.** 12: 513-520.
- Butterfield, D.A. 1996. **Biofunctional Membranes**. Plenum Press, New York.
- Butterfield, D.A. and E.R. Stadtman. 1997. Protein oxidation processes in aging brain. **Adv. Cell Aging Gerontol.** 2: 161-191.
- Buttke, T.M. and P.A. Sandstorm. 1994. Oxidative stress as a mediator of apoptosis. **Immunology Today.** 15: 7-10.
- Carrell, R.W., C.C. Winterbourn and E.A. Rachmilewitz. 1975. Activated Oxigen and hemolysis. **Br J Haematol.** 30: 259-64.
- Castro, L. and B.A. Freeman. 2001. Reactive oxygen species in human health and disease. **Nutrition.** 17: 161-165.
- Chiu, D., F. Kuypers and B. Luben. 1989. Lipid peroxidation in human red blood cells. **Semin Hematol.** 26: 257-276.
- Clarke, S. 1985. The role of aspartic acid and asparagine residues in the aging of erythrocyte proteins: Cellular metabolism of racemized and isomerised forms by methylation reactions. **Prog Clin Biol Res.** 195: 91-107.
- Claster, S., D.T.Y. Chiu, A. Quintanilha and B. Lubin. 1984. Neutrophils mediate lipid peroxidation in human red cells. **Blood.** 64: 1079-1084.
- Curnutt, J.T. and B.M. Babior. 1987. Chronic granulomatous disease. **Adv Human Genetics.** 16:229-245.

- Danyelle, M., D. Kenneth, T.H. Tapiero. 2003. The importance of glutathione in human disease. **Biomed. Pharmacother.** 57: 145-155.
- Davies, K.J.A., M.E. Delsignore and S.W. Lin. 1987. Protein damage and degradation by oxygen radicals.II. Modification of amino acids. **J. Biol. Chem.** 262: 9902-9907.
- Davies, K.J.A. and A.L. Goldberg. 1987. Oxygen radicals stimulate intracellular proteolysis and lipid peroxidation by independent mechanisms in erythrocytes. **J. Biol. Chem.** 262: 8220-8226.
- Dawson, R.B., W.F. Kocholaty and J.L. Gray. 1970. Hemoglobin function and 2, 3-DPG levels of blood stored at 4°C in ACD and CPD, pH effect. **Transfusion.** 10: 299-304.
- Dekkers, J. C., L.J.P. van Doornen and H.C.G. Kemper. 1996. The role of antioxidant vitamins and enzymes in the prevention of exercise-induced muscle damage. **Sports Med.** 21:213-238.
- Demma, L.S. and J.M. Salhany. 1977. Direct generation of superoxide anions by flash photolysis of human oxyhemoglobin. **J. Biol. Chem.** 252: 1226-30.
- Deneke, S.M. and B.L. Fanburg. 1989. Regulation of cellular glutathione. **Am J Physiol.** 257:163-73.
- Desforges, J.F. and P. Slawski. 1972. Red cell 2,3-diphosphoglycerate and intracellular arterial pH in acidosis and alkalosis. **Blood.** 40:740–6.
- Dizdaroglu, M. 1992. Oxidative damage to DNA in mammalian chromatin. **Mutat. Res.** 275: 331-342.
- Donne, I.D., R. Rossib, D. Giustarini, A. Milzania and R. Colomboa. 2003. Protein carbonyl groups as biomarkers of oxidative stress. **Clinica Chimica Acta.** 329: 23–38.

Dorge, W. 2002. Free radicals in physiological control of cellular function. **Physiol.Rev.** 82: 47-95.

Dukan, S., A. Farewell, M. Ballesteros, F. Taddei, M. Radman and T. Nystrom. 2000. Protein oxidation in response to increased transcriptional or translational errors. **Proc. Natl. Acad. Sci.** 97:5746–49.

Dumaswala, U. J., M. J. Wilson, T. Jose and D. L. Daleke. 1996. Glutamine-and phosphate-containing hypotonic storage media better maintain erythrocyte membrane physical properties. **Blood.** 88:697-704.

Dumaswala, U. J., M. J. Wilson, T. Jose and D. L. Daleke. 1997. Effect of a glycerol-containing hypotonic medium on erythrocyte phospholipid asymmetry and aminophospholipid transport during storage. **Biophys. Acta.** 1330:265-273.

Dumaswala, U.J., L. Zhuo, D.W. Jacobsen, S.K. Jain and K.A. Sukalski. 1999. Protein and lipid oxidation of banked human erythrocytes: role of glutathione. **Free Radical Biology & Medicine.** 27:1041-1049.

Duncan, J.R., Prasse, K.W. and Mahaffey, E.A. 1994. **Veterinary Laboratory Medicine: Clinical Pathology.** 3rd ed. The Iowa State University Press. Iowa. 300 p.

Ettinger, S. J. and E. C. Feldman. 2000. **Textbook of Veterinary Internal Medicine: Diseases of the Dog and Cat.** Vol. 1, 5th ed. W.B. Saunders Co,Philadelphia.

Ettinger, S. J. and E. C. Feldman. 2005. **Textbook of Veterinary Internal Medicine: Diseases of the Dog and Cat.** Vol. 1, 6th ed. W.B. Saunders Co,Philadelphia.

Fagiolo, E., N. Mores, A. Pelliccetti, M.L. Gozzo, C. Zuppi and G.P. Littarru. 1986. Biochemical parameters to assess viability of blood stored for transfusional use. **Haematol.** 113: 783-9.

Fantel, A. G. 1996. Reactive oxygen species in developmental toxicity: Review and hypothesis. **Teratology.** 53: 196-217.

Feig, D.I., T.M. Reid and L.A. Loeb. 1994. Reactive oxygen species in tumorigenesis. **Cancer Res.** 54 Suppl. 7: 1890-1894.

Feldman, B.F., J.G. Zinkl and N.C. Jain. 2000. **Veterinary Hematology.** 5th ed. Lippincott Williams and Wilkins, Canada.

Fernandez-Pachon, M.S., D. Villano, A.M. Troncoso and M.C. Garcia Parrilla. 2005. Antioxidant capacity of plasma alter red wine intake in human volunteers. **J.AgroFood Chem.** 53: 5024-5029.

Fiorillo, C., C. Oliviero, G. Rizzuti, C. Nediani, A. Pacini and P. Nassi. 1998. Oxidative stress and antioxidant defences in renal patients receiving regular hemodialysis. **Clin. Chem. Lab. Med.** 36: 149-153.

Gaetani, G.F., H.N. Kirkman, R. Mangerini and A.M. Ferraris. 1994. Importance of catalase in the disposal of hydrogen peroxide within human erythrocytes. **Blood.** 84(1): 325-330.

Geldwerth, D., F.A. Kuypers, P. Butikofer, I.M. Allary, B.H. Lubin and P.F. Devaux. 1993. Trans bilayer mobility and distribution of red cell phospholipid during storage. **J. Clin. Invest.** 92:308-314.

George, P. and C.J. Stratmann. 1952. Oxidation of myoglobin by oxygen. **Biochem. J.** 51: 418-25.

Gibson, J.G., R.D. Evans, J.C. Aus, T. Sack and W.C. Peacock. 1947. The post -transfusion survival of preserved human erythrocytes stored blood or in resuspension, after removal of plasma, by mean of two isotopes of radioactive iron. **J. Clin. Invest.** 26: 715-738.

- Gieseg, S. 1999. Reducing free radicals. **New Zealand Science.** 3: 6-8.
- Ginsburg, I. and R. Kohen. 1995. Cell damage in inflammatory and infectious sites might involve a coordinated 'cross-talk' among oxidants, microbial haemolysins and amphiphiles, cationic proteins, phospholipases, fatty acids, proteinases and cytokines (an overview). **Free Radic Res Commun.** 22: 489–517.
- Goldfarb, A. H. 1999. Nutritional antioxidants as therapeutic and preventive modalities in exercise-induced muscle damage. **Can. J. Appl. Physiol.** 24:249-266.
- Grune, T., T. Reinheckel and K.J.A. Davies. 1997. Degradation of oxidized proteins in mammalian cells. **FASEB. J.** 11: 526-534.
- Gultekin, F., M. Akdogan, I. Altuntas, N. Delibas and M. Kaptanagasi. 2000. Changes in erythrocyte lipid peroxidation and antioxidant potential during storage of blood and protective effect of melatonin. **Turkish J. Biochem.** 25: 83-91.
- Guyton, K.Z. and T.W. Kensler. 1993. Oxidative mechanisms in carcinogenesis. **Br. Med. Bull.** 49: 523-544.
- Halliwell, B. 1998. Can oxidative DNA damage be used as a biomarker of cancer risk in humans ? Problems, resolutions and preliminary results from nutritional supplementation studies. **Free Radical Res.** 29: 469-486.
- Halliwell, B. and J.M.C. Gutteridge. 1984. Oxygen toxicity, oxygen radical, transition metals and disease. **Biochem. J.** 219: 1-14.
- Halliwell, B. and J. M. C. Gutteridge. 1985. **The chemistry of oxygen radicals and other oxygen-derived species.** In : **Free radicals in Biology and Medicine.** Oxford University Press, New York.

Halliwell, B. and J.M.C. Gutteridge. 1985. The importance of free radicals and catalytic metal ions in human diseases. **Mol Aspects Med.** 8: 189-93.

Halliwell, B. and J.M.C. Gutteridge. 1986. Oxygen free radicals and iron in relation to biology and medicine: some problems and concepts. **Arch. Biochem. Biophys.** 246: 501-4.

Hamasaki, N. and M. Yamamoto. 2000. Red blood cell function and blood storage. **Vox. anguinis.** 79:4: 191–197.

Hanrahan, C.J., M.D. Bacolod, T. VyasLiu, N.E. Geacintov, E.L. Loechler and A.K. Basu. 1997. Sequence specific mutagenesis of the major (C) anti benzo a]pyrene diol epoxide DNA adduct at a mutational hot spot *in vitro* and in *Escherichia coli* cells, **Chem.Res.Toxicol.** 10: 369-377.

Hawkins, C.L. and M.J. Davies. 2001. Generation and propagation of radical reactions on proteins. **Biochem. Biophys. Acta.** 1504: 196–219

Ho, J., W.J. Sibbald, I.H. Chin-Yee. 2003. Effects of storage on efficacy of red cell transfusion: when is it not safe?. **Crit Care Med.** 31: 687–97.

Hochstein, P. and S.K. Jain. 1981. Association of lipid peroxidation and polymerization of membrane proteins with erythrocyte aging. **Fed. Proc.** 40: 183–8.

Howard, A., B. Callan and M. Sweeny. 1992. Transfusion practices and costs in dogs. **JAVMA.** 210:1697.

Hunt, N.H. and R. Stocker. 1990. Oxidative stress and the redox status of malaria-infected erythrocytes. **Blood Cells.**16: 499-526.

Iris, F., F. Benzie and J.J. Strain. 1996. **Assessing Age-Related Changes in Antioxidant Status: the FRASC Assay for Total Antioxidant Power and Ascorbic Acid Concentration in Biological Fluids.** Humana Press.

Jacobson, M. D. 1996. Reactive oxygen species and programmed cell death. **TIBS.** 21: 83-86.

Jain, S.K. 1988. Evidence for membrane lipid peroxidation during the *in vivo* aging of human erythrocytes. **Biochem Biophys Acta.** 937: 205–10.

Jain, S.K., N. Mohandas, M.R. Clark and S.B. Shohet. 1983. The effect of malondialdehyde, a product of lipid peroxidation, on the deformability, dehydration and Cr-survival of erythrocytes. **Br J Haematol.** 53: 247–55.

Jarolim, P., M. Lahav, S.H. Chun Liu and J. Palek. 1990. Effect of Hemoglobin Oxidation Products on the Stability of Red Cell Membrane Skeletons and the Associations of Skeletal Proteins: Correlation With a Release of Hemin. **Blood.** 76 (10):2125-2131.

Jozwik, M., M. Jozwiz, M. Szczypka, J. Gajewska and T. Laskowska-Klita. 1997. Antioxidant defence of red blood cells and plasma in stored human blood. **Clinica Chimica Acta.** 267:129-142.

Karlsson, J. 1997. Introduction to Nutraology and Radical Formation. In: Antioxidants and Exercise. Illinois: **Human Kinetics Press.** 21: 1-143.

Kasai, H. 1997. Analysis of a form of oxidative DNA damage, 8-hydroxy-20-deoxyguanosine, as a marker of cellular oxidative stress during carcinogenesis. **Mutat. Res.** 387: 147-163.

Kerl, M.E. and A.E. Hohenhaus. 1993. Packed red blood cell transfusions in dogs. **J. Am. Vet. Med. Assoc.** 202, 1495-1499.

- Knight, A., R.P. Voorhees and L. Martin. 1992. The effect of metal chelators on lipid peroxidation in stored erythrocytes. **Ann Clin Lab Sci.** 22: 207-13.
- Korgun, D.K., S. Bilmen and A. Yesilkaya. 2001. Alteration in the erythrocyte antioxidant system of blood stored in blood bags. **Res. Commun. Mol. Pathol. Pharmacol.** 109: 357-363.
- Kretzschmar, M. and W. Klinger. 1990. The hepatic glutathione system influence of xenobiotics. **Exp. Pathol.** 38: 145-64.
- Kriebardis, A.G., M.H. Antonelou, K.E. Stamoulis, E. Economou-Petersen, L.H. Margaritis and I.S. Papassideri. 2006. Progressive oxidation of cytoskeletal proteins and accumulation of denatured hemoglobin in stored red cells. **J. Cell. Mol. Med.** 11:148-155.
- Kriebardis, A.G., M.H. Antonelou, K.E. Stamoulis, E.E. Petersen, L.H. Margaritis and I.S. Papassideri. 2006. Membrane protein carbonylation in non-leukodepleted CPDA-preserved red blood cells. **Blood Cells, Molecules, and Diseases.** 36 : 279–282.
- Laguerre, M., J. Lecomte and P. Villeneuve. 2007. Evaluation of the ability of antioxidants to counteract lipid oxidation: Existing methods, new trends and challenges. **Progress in Lipid Research.** 46 : 244–282.
- Lanevschi, A. and K.J. Wardrop. 2001. Principles of transfusion medicine in small animals. **Can. Vet. J.** 42: 447–454.
- Levine, R. L., D. Garland, C. N. Oliver, A. Amici, I. Climent, A.G. Lenz, B.W. Ahn, S. Shaltiel and E.R. Stadtman. 1990. Determination of carbonyl content in Oxidatively modified proteins. **Methods Enzymol.** 186: 464-478.
- Lewin, G. and I. Popov. 1994. The antioxidant system of the organism. Theoretical basis and practical consequences. **Med. Hypotheses.** 42: 269-275.

- Lim, P-S., Y-M. Cheng and Y-H. Wei. 2002. Increase in oxidative damage to lipids and proteins in skeletal muscle of uremic patients. **Free Radic Res.** 36: 295-301.
- Lindeman, J.H.N., E.G.W.M. Lentjes, E. Houdkamp and D. Zoeren-Grobben. 1992. Effect of and exchanges transfusion on plasma antioxidants in the newborns. **Pediatrics.** 90: 200-203.
- Lippa, S., F. Forni, A. Candido, V. Aureli and G. Mango. 1990. Oxidative stress of red blood cell stotred for transfusion use. **Folia. Haematol. Intl. MAg. Klin. Morphol. Blutforsch.** 117: 105-110.
- Liu, S-C. and LH. Derick. 1992. Molecular anatomy of the red blood cell membrane skeleton: structure-function relationships. **Semin Hematol.** 29:231-243.
- Lynch, R.E., G.R. Lee and G.E. Cartwright. 1976. Inhibition by superoxide dismutase of methemoglobin formation from oxyhemoglobin. **J. Biol. Chem.** 251: 1015-9.
- Lynch, R. E., J. E. Thomas and G. R. Lee. 1977. Inhibition of methemoglobin formation from purified oxyhemoglobin by superoxide dismutase. **Biochemistry.** 16: 4563-4567
- Maeda, H., H. Yoshida, T. Nakahari, Y. Imai and H.Tamai. 1992. Effect of alpha-tocopherol on oxidative hemolysis, as evaluated by impedance measurements. **J.Nutr. Sci. Vitamimol.** 28: 1-14.
- Mannervik, B. 1985. The isoenzymes of glutathione transferase, **Adv. Enzymol. Relat. Areas Mol. Biol.** 57: 357– 411.
- Mannervik, B. 1987. The enzymes of glutathione metabolism: an overview. **Biochem. Soc. Trans.** 15: 717-9.
- Marchesi, V. T., N. Furthmayr and M. Tomita. 1976. The red cell membrane. **Annual Review of Biochemistry.** 45: 667-698.

Marjani, A. 2006. Alterations in plasma Lipid peroxidation and total antioxidant status during storage of blood. **Pakistan Journal of Biological Science.** 9 (13) : 2520-2523.

Marnett, L.J. 2000. Oxyradicals and DNA damage. **Carcinogenesis.** 21: 361-370.

McGown, E.I., R.J. O'Connor and J.W. Neher. 1982. Erythrocyte filterability, fragility and membrane proteins in folic acid deficient guinea pigs. **J. Nutr.**, 112: 92-97.

Meister, A. and M.E. Anderson. 1983. Glutathione. **Annu. Rev. Biochem.** 52: 711-760.

Meier, B. 2001. Reactive oxygen intermediates involved in cellular regulation. **Protoplasma.** 217: 101-116.

Misra, H.P. and I. Fridovich. 1972. The generation of superoxide radical during the autoxidation of hemoglobin. **J. Biol. Chem.** 247:6960-2.

Morrissey, P. and S. Cotter. 2000. I Need Blood, Stat! Canine Transfusion Medicine. **Vet. Technician.** 21(5):273-278.

Moskovitz, J., B. Yim and B. Chock. 2002. Free radicals and diseases. **Arch. Biochem. Biophys.** 397: 354-60.

Nagababu, E., S. Ramasamy, D. R. Abernethy and J. M. Rifkind. 2003. Active nitric oxide produced in the red cell under hypoxic conditions by deoxyhemoglobin-mediated nitrite reduction. **J. Biol. Chem.** 278: 46349-46356.

Negre-Salvayre, A., C. Coatrieux, C. Ingueneau and R. Salvayre. 2008. Advanced lipid peroxidation end products in oxidative damage to proteins. Potential role in diseases and therapeutic prospects for the inhibitors. **Pharmacology.** 153:6–20.

Neta, P., R.E. Huie, A.B. Ross. 1988. Rate constants for reactions of inorganic radicals in aqua solution. **J.Phys. Chem. Ref. Data.** 17: 1027-1284.

Niki, E., Y. Yamoto, M. Takahashi and K. Yamoto. 1988. Free radical-mediated damage of blood and its inhibition by antioxidants. **J. Nutr. Sci. Vitaminol.** 34: 507-512.

Orlina, A.R. and A.M. Josephson. 1969. Comparative viability of blood stored in ACD and CPD. **Transfusion.** 9:62-69

Orten, J.M. and O.W. Neutaus. 1982. **Human Biochemistry.** 10th ed. The C.V. Mosby Co, Louis.

Ozben, T. 1998. **Free Radicals, Oxidative stress, and Antioxidants.** Plenum Press, New York.

Pfafferot, C., H.J. Meiselman and P. Hochstein. 1982. The effect of malonyldialdehyde on erythrocyte deformability. **Blood.** 59:12-5.

Poulsen, H.E., H. Prieme and S. Loft. 1998. Role of oxidative DNA damage in cancer initiation and promotion. **Eur. J. Cancer Prev.** 7: 9-16.

Puppo, A. and B. Halliwell. 1988. Formation of hydroxyl radicals from hydrogen peroxide in the presence of iron. **Biochem. J.** 249: 185-90.

Racek, J., R. Herynkova, V. Holeck, Z. Jerabek and V. Slama. 1997. Influence of antioxidants on the quality of stored blood. **Vox. Sang.** 72: 16-19.

Reed, D.J. and M.W. Fariss. 1984. Glutathione depletion and susceptibility. **Pharmacol. Rev.** 36:25-33.

Ross, J.F., C.A. Finch, W.E. Peacock and M.C. Sammons. 1947. The *in vitro* preservation and post-transfusion survival of stored blood . **J. Clin. Invest.** 26: 687-703.

- Shikama, K. 1984. A controversy on the mechanism of autoxidation of oxymyoglobin and oxyhemoglobin. **Biochem. J.** 84: 223-279.
- Sinnhuber, R.O., I.C. Yu and T.C. Yu. 1958. Characterization of the red pigment formed in the 2-thiobarbituric acid determination of oxidative rancidity. **Food Res.** 23: 624-634.
- Stadtman, E.R. 1990. Metal catalyzed oxidation of proteins: biochemical mechanism and biological consequences. **Free Rad Biol Med.** 9:315-25.
- Stadtman, E.R. 1993. Oxidation of free amino acids and amino acid residues in proteins by radiolysis and by metal-catalyzed reactions. **Annu. Rev. Biochem.** 62: 797-821.
- Tietze, F. 1969. Enzymatic method for quantitative determination of nanogram amounts of total And oxidized glutathione : Application to mammalian blood and other tissues. **Anal.Biochem.** 27: 502-522.
- Tinmouth, A.T., A.L. McIntyre, R.A. Fowler. 2008. Blood conservation strategies to reduce the need for red blood cell transfusion in critically ill patients. **CMAJ.** 178: 49-57.
- Trotter, J., M.G. Rumsby. 1981. Lipids of the human erythrocyte membrane during storage for transfusion. Correlation of lipid changes with the discocyte to spherocyte shape transformation. **J. Appl. Biochem.** 3:19.
- Tsuda, S., K. Kakinuma and S. Minarami. 1972. Intracellular pH of red cells stored in acid citrate dextrose medium. **Experientia.** 28: 1481-2.
- Vineis, P., N. Malats, M. Porta and F.X. Real. 1999. Human cancer, carcinogenic exposures and mutaion spectra. **Mutat. Res.** 436: 185-194.
- Wang, D., D.A. Kreutzer and J.M. Essigmann. 1998. Mutagenicity and repair of oxidative DNA damage: insights from studies using defined lesions. **Mutat. Res.** 400: 99-115.

- Webster, N.R. and C. Toothil. 1986. Effects of blood storage on red blood cell antioxidative systems. **Acta Haematol.** 75: 30-3.
- Wefers, H. and H. Sies. 1988. The protection by ascorbate and glutathione against microsomal lipid peroxidation is dependent on vitamin E. **European Journal of Biochemistry.** 174: 353–357.
- Weiss, S.J. 1980. The role of superoxide in the destruction of erythrocyte targets by human neutrophils. **J. Biol. Chem.** 255: 9912–9917.
- Weiss, S.J., J. Young, A.F. Lobuglio, A. Slivka and N.F. Nimen. 1981. Role of hydrogen peroxide in neutrophil-mediated destruction of cultured endothelial cells. **J. Clin. Invest.** 68: 714–721
- Wever, R., B. Oudega, and B.F. Gelder Van. 1973. Generation of superoxide radicals during the autoxidation of mammalian oxyhemoglobin. **Biochem Biophys Acta.** 302: 475-8.
- Winterbourn, C.C., B.M. McGrath and R.W. Carrel. 1976. Reactions involving superoxide and normal and unstable hemoglobins. **Biochem. J.** 155: 493-502.
- Winterbourn, C.C. 1985. Free-radical production and oxidative reactions of hemoglobin. **Environ Health Perspect.** 64: 321-30.
- Wolff, S.P., A. Garner and R.T. Dean. 1986. Free radicals, lipids and protein degradation. **Trends. Biochem. Sci.** 11: 27.
- Wong, S.H.Y., J.A. Knight, S.M. Hopfer, O. Zacharia, J.r. C.N.Leach and Jr. F.W. Sunderman. 1987. Lipoperoxides in plasma as measured by liquid chromatographic separation of malondialdehyde-thiobarbituric acid adduct. **Clin Chem.** 33: 214–20.
- Wood, P. 1988. The potential diagram for oxygen at pH 7.0. **Biochem. J.** 253:287-9.

Yamagchi, T., K. Uchimura, Y. Kurokova and M.M. Hamada. 1992. Selenium concentration and glutathione peroxidase activity in plasma and erythrocyte from human blood. **J. Clin. Biochem. Natur.** 12: 41-50.

Yu, B. 1994. Cellular defenses against damage from reactive oxygen species. **Physiological Reviews.** 74: 139–162.

Zachara, B.A., J. Gromadzinska, W. Wasowicz and Z. Zbrog. 2006. Red blood cell and plasma glutathione peroxidase activities and selenium concentration in patients with chronic kidney disease: A review. **Acta Biochimica Polonica.** 53 (4) : 663–677.

Zuck, T. F., T.A. Bensinger, C.C. Peck, R.K. Chillar, E. Beutler, L.N. Button, P.R. McCurdy, A.M. Josephson and T.J. Greenwalt. 1977 . The *in vivo* survival of red blood cells stored in modified CPD with adenine: report of a multi-institutional cooperative effort. **Transfusion.** 17: 374-382.

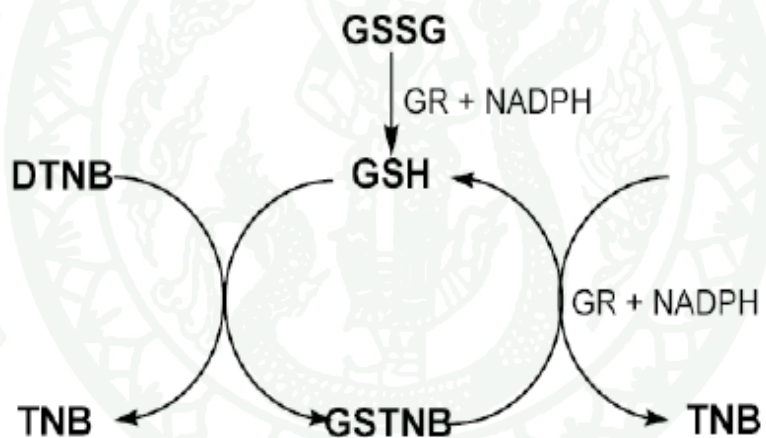


สิงหนาท นิตาธิยาลัยเกษตรศาสตร์

1. การวิเคราะห์กลูต้าไธโอนโดยวิธี Enzymatic Recycling Assay

หลักการวิเคราะห์กลูต้าไธโอน(GSH)

กลูต้าไธโอนในตัวอย่าง จะทำการวัดโดยวิธี enzymatic recycling method โดยใช้ เอ็นไซม์กลูต้าไธโอน รีดักเทส (glutathione reductase) เพื่อหาความเข้มข้นของกลูต้าไธโอนใน microtiter plate assay โดยอาศัยหลักการดังนี้ หมู่ sulhydryl ของกลูต้าไธโอน จะทำปฏิกิริยา กับ 5,5'-dithiobis-2-nitrobenzoic acid (DTNB) และ ให้สีเหลืองของ 5-thio-2-nitrobenzoic acid (TNB) ซึ่ง ถูกวัดค่าการดูดกลืนแสง ที่ ความยาวคลื่น 405 นาโนเมตร อัตราการสร้าง TNB เป็นสัดส่วน โดยตรงต่อปฏิกิริยาการย้อนกลับ ซึ่งการย้อนกลับนี้จะเป็นสัดส่วนโดยตรงต่อกลุ่มความเข้มข้นของกลูต้าไธโอนในตัวอย่าง ดังรูป



ภาพพนวกที่ 1 ปฏิกิริยาการวิเคราะห์ GSH ด้วยวิธี enzymatic recycling method.

สารเคมี

1. Metaphosphoric acid
2. 100 mM Sodium phosphate buffer pH 7.4
3. Ethylene Diamine Tetra Acetic acid-Na (EDTA –Na)
4. Oxidized glutathione (GSSG)
5. Triethanolamine
6. 5,5'-dithiobis-(2-nitrobenzoic acid) (DTNB)
7. NADPH
8. Glutathione reductase (GR)
9. 2-vinylpyridine

อุปกรณ์

1. เครื่อง Elisa reader
2. 96 well plate
3. Eight multi-channel pipette

การเตรียม ตัวอย่างเม็ดเลือดแดง

1. ใช้เลือดที่แบ่งจากถุงเก็บเลือดมาตรฐาน 2 มิลลิลิตร
2. ปั่นด้วยความเร็ว 1,300 g นาน 15 นาที ที่อุณหภูมิ 4 องศาเซลเซียส
3. คูดแยกพลาสมา และคูด buffy coat ที่ได้ส่วนของเม็ดเลือดแดง
4. เติมน้ำกลัน 4 เท่าของปริมาตรตัวอย่างผสมให้เข้ากันเพื่อทำให้เม็ดเลือดแดงแตก
5. ปั่นตกรตะกอนเยื่อหุ้มเซลล์ที่ 4,000 g นาน 15 นาที
6. คูดของเหลวส่วนบนใส่หลอดทดลอง (microcentrifuge tube)
7. เติม metaphosphoric acid ปริมาตร 1:1 ผสมให้เข้ากันด้วย vortex mixer

นาน 5 นาที

8. ปั่นตกรตะกอนด้วยการ centrifuge ที่ 2,000 g อย่างน้อย 2 นาที
9. คูดส่วนใส่ด้านบนไว้เพื่อรอการวิเคราะห์
10. ถ้ายังไม่ทำการวิเคราะห์ ก็เก็บไว้ที่ -40 องศาเซลเซียส

วิธีการทดลอง

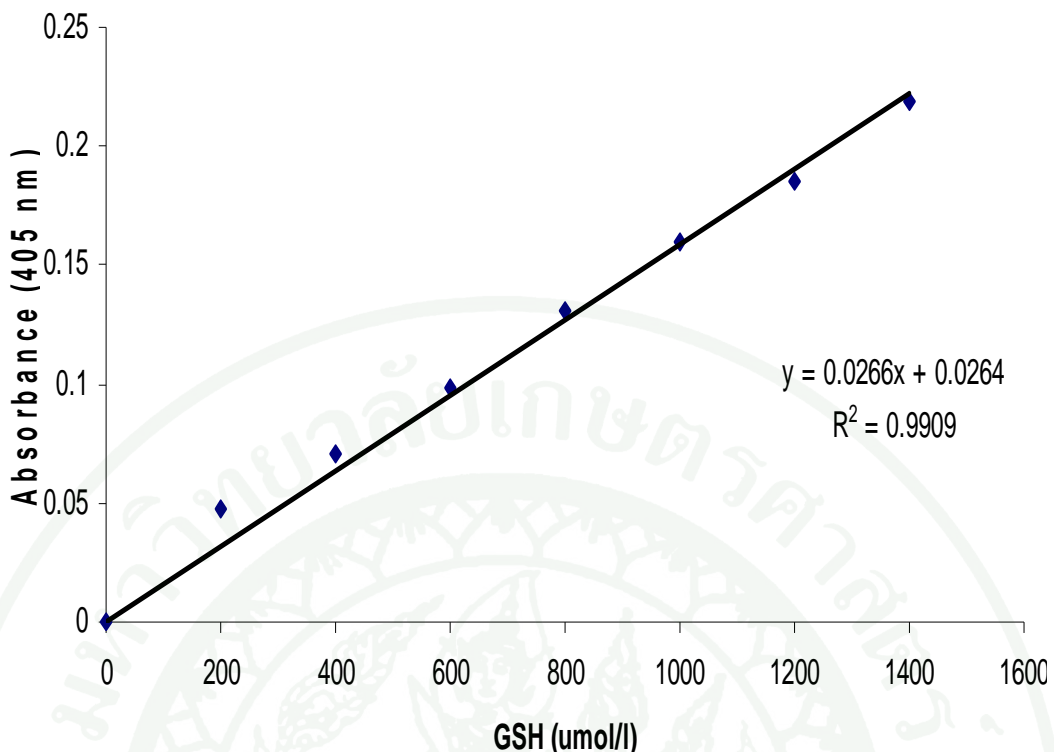
1. ดูดตัวอย่างส่วนisaquea ข้อ 9 (ทำการเจือจาง 20 เท่าโดยใช้ตัวอย่าง 50 ไมโครลิตร เติม buffer 950 ไมโครลิตร), standard และ blank (น้ำกลั่น) ปริมาตรอย่างละ 1 มิลลิลิตรใส่ใน microtube
2. เติม triethanolamine 50 ไมโครลิตร เพื่อปรับ pH ให้เท่ากับ 7.0 ผสมด้วย vortex mixure ทันที
3. ดูดข้อ 1.2 standard และ blank ปริมาตร 50 ไมโครลิตร ลงใน 96 well plate ตามตาราง template plate ที่กำหนดไว้
4. เติม reagent (ประกอบด้วย 1 มิลลิโอมล DTNB 1 มิลลิโอมล NADPH 100 มิลลิโอมล Sodium phosphate buffer pH 7.4 และ 20 ยูนิต Glutathione reductase) หลุมละ 100 ไมโครลิตร ตั้งแต่หลุมแรกถึงหลุมสุดท้ายใช้เวลาไม่เกิน 2 นาที
5. วัดค่า OD ที่ความยาวคลื่น 405 นาโนเมตร อ่านค่าทุกๆ 30 วินาทีจนถึง 15 นาที
6. นำค่าที่ 4 (ในข้อ 1.5) นาทีมาคำนวณความเข้มข้นเทียบกับค่ามาตรฐานกลูต้าไธโอน (GSH standard) ตามสูตร

รายงานผลการทดลอง

คำนวณความเข้มข้นเทียบกับกราฟมาตรฐาน

สูตรคำนวณ

$$\text{GSH} = \frac{\{(\text{absorbance at } 405 \text{ nm}) - (\text{y-intercept})\}}{\text{Slope} \times \text{sample dilution}}$$

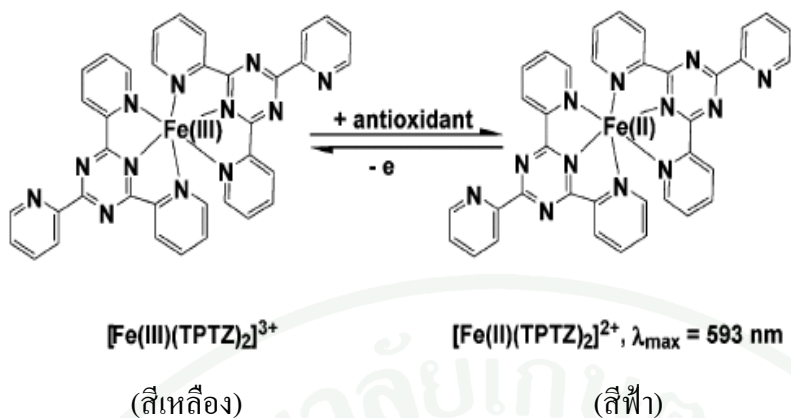


ภาพผนวกที่ 2 กราฟมาตรฐานแสดงความเข้มข้นของกลูต้าไธโอน (GSH)

2. วิธีวัดความสามารถรวมของสารต้านอนุมูลอิสระในการรีดิวช์เฟอริกในตัวอย่างพลาสม่า โดยวิธี Ferric Reducing Ability of Plasma (FRAP) Assay

หลักการ

การวัดค่าความสามารถรวมของสารต้านอนุมูลอิสระในพลาสม่า โดยวิธี Ferric Reducing Ability of Plasma (FRAP) Assay (ดัดแปลงจากวิธีการของ Benzie and Strain (1996)) โดยใช้หลักการของสารต้านอนุมูลอิสระ ในพลาสม่า สามารถรีดิวช์ เฟอริก ไอออน (ferric ion:Fe³⁺) ไปเป็นเฟอรัส ไอออน (ferrous ion: Fe²⁺) ที่ pH ต่ำ ไมเลกุล tripyridyl-triazine (TPTZ) ในปฏิกิริยาจะจับกับ เฟอรัส ไอออน ทำให้เกิดสีฟ้า วัดค่าการดูดกลืนแสงที่ความยาวคลื่น 593 นาโนเมตร



ภาพพนักที่ 3 ปฏิกิริยาระหว่าง TPTZ กับ Fe^{2+}

ที่มา: Fernandez-Pachon *et al.* (2005)

คำนวณความเข้มข้นได้จากการเปรียบเทียบกับความเข้มข้นของ Fe^{2+} ที่ทราบความเข้มข้นแล้ว (0-3,000 ไมโครโมลต์/ลิตร) รายงานผลค่าความสามารถรวมของสารต้านอนุมูลอิสระเป็นค่าเป็นไมโครโมลต์/ลิตร (Iris F. F. Benzie and J. J. Strain, 1996, Fernandez-Pachon *et al.*, 2005)

อุปกรณ์

1. หลอดทดลองขนาด 15 มิลลิลิตร
2. Autopipette ขนาด 20, 200 และ 1000 ไมโครลิตร
3. Microcentrifuge tube
4. Cuvette พลาสติก
5. เครื่อง UV/VIS Spectrophotometer รุ่น Helios Alpha หมายเลขเครื่อง UVA 130623 จากบริษัท บางกอกไฮเทค จำกัด
6. Waterbath

สารเคมี

1. 2-4-6-trypyridyl-s-triazine จากบริษัท Sigma-Aldrich ประเทศสหรัฐอเมริกา
2. Ferric chloride hexahydrate ($\text{FeCl}_3 \cdot 6\text{H}_2\text{O}$) จากบริษัท Sigma-Aldrich ประเทศสหรัฐอเมริกา
3. Ferrous sulfate heptahydrate จากบริษัท Sigma-Aldrich ประเทศสหรัฐอเมริกา
4. Sodium acetate จากบริษัท Sigma-Aldrich ประเทศสหรัฐอเมริกา
5. Hydrochloric acid (HCl)
6. Glacial acetic acid
7. Deionized water

วิธีการ

การเตรียมตัวอย่างพลาสma

1. เก็บเลือดโดยใช้สารป้องกันการแข็งตัวของเลือดชนิดเชปาริน ที่ความเข้มข้นเชปาริน 5-10 ยูนิต ต่อมิลลิลิตรเลือด
2. นำไป centrifuge ที่ความเร็ว 1,300 g นาน 15 นาที ที่อุณหภูมิ 4 องศาเซลเซียส
3. คูดเก็บส่วนของเหlovais (ส่วนบน) โดยปราศจากการรบกวนต่อ white buffy layer ใส่ในหลอดทดลอง
4. ถ่ายง่ายไม่ทำการวิเคราะห์ เก็บไว้ที่ -80 องศาเซลเซียส

การเตรียมสารเคมี

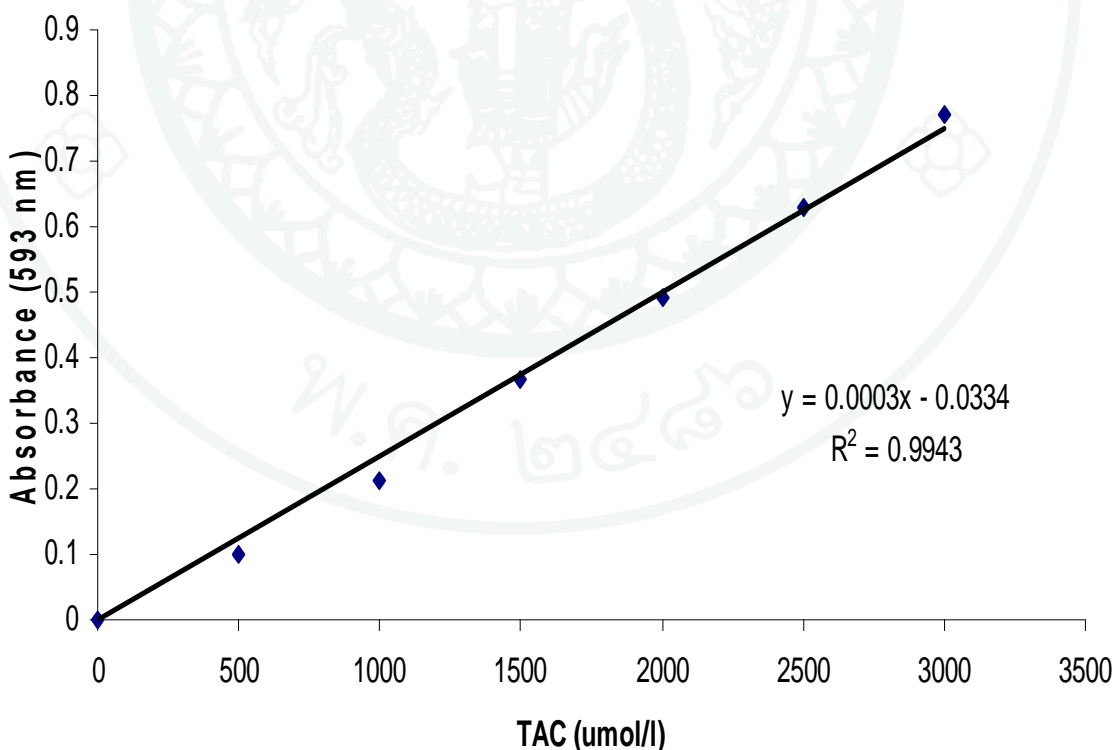
1. FRAP reagent โดยใช้อัตราส่วนข้อ 1.1:1.2 :1.3 เท่ากับ 10:1:1
 - 1.1 300 มิลลิโอลต์อลิตรของ acetate buffer pH 3.6 ($\text{C}_2\text{H}_3\text{NaO}_2 \cdot 3\text{H}_2\text{O}$ 3.1 g + $\text{C}_2\text{H}_4\text{O}_2$ 16 มิลลิลิตร เติมน้ำให้ครบ 1 ลิตร)
 - 1.2 10 มิลลิโอลต์อลิตรของ TPTZ ละลายใน 40 มิลลิโอลต์อลิตรของ HCl
 - 1.3 20 มิลลิโอลต์อลิตรของ $\text{FeCl}_3 \cdot 6\text{H}_2\text{O}$

วิธีการทดลอง

1. ดูด FRAP reagent ปริมาตร 1800 ไมโครลิตร ใส่ในหลอดขนาด 15 มิลลิลิตร
2. เติมน้ำกลั่นปริมาตร 180 ไมโครลิตร
3. ดูดพลาสมาปริมาตร 60 ไมโครลิตร (ในปฏิกิริยาตัวอย่างต้องมีความเข้มข้นเท่ากับ 1/34)
4. วัดค่าการดูดกลืนแสงที่ความยาวคลื่น ที่ 593 นาโนเมตร เทียบกับ standard ทุกๆ 15 วินาที นาน 10 นาที
5. นำค่าที่ 4 นาทีจากข้อ (4) มาคำนวณหาความเข้มข้นเทียบกับ standard (Fe^{2+}) ที่ทราบ ความเข้มข้นแล้ว

การรายงานผล

รายงานความสามารถตรวจของสารต้านอนุมูลอิสระ เป็นหน่วย ไมโครโมลต์ลิตร

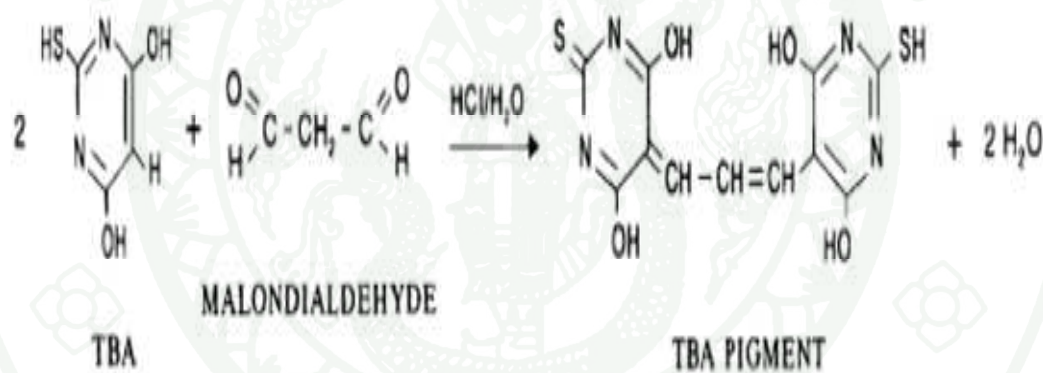


ภาพผนวกที่ 4 กราฟมาตรฐานแสดงความเข้มข้นของเหล็กเฟอร์ริก

3. การวิเคราะห์ Malondialdehyde (MDA) ด้วย วิธี Thiobarbituric Acid (TBA) assay

หลักการ

MDA เป็นผลิตภัณฑ์ที่ได้จากการปฏิกิริยาการเปอร์ออกซิเดชันของไขมัน จะไปทำปฏิกิริยา กับ Thiobarbituric acid (TBA) เกิดเป็น Thiobarbituric acid reactive substrate (TBARS) ให้สีชมพูแดง ซึ่งเป็นผลจากการทำปฏิกิริยาระหว่าง TBA 2 โมเลกุล กับ MDA 1 โมเลกุล วัดค่าการดูดกลืนแสงที่ความยาวคลื่นแสง 532 และ 572 นาโนเมตร เพื่อกำจดปฏิกิริยารบกวนที่ไม่ใช่ MDA-TBA โดยการนำค่า OD ที่ 532 นาโนเมตรลบด้วย OD ที่ 572 นาโนเมตร และรายงานผลค่า MDA เป็น นาโนโมลต่อมิลลิลิตร (Sinnhuber *et al.*, 1958)



ภาพพนวกที่ 5 ปฏิกิริยาระหว่าง TBA และ MDA

ที่มา: Sinnhuber และคณะ (1958)

อุปกรณ์

1. หลอดทดลองขนาด 15 มิลลิลิตร
2. Autopipette ขนาด 20, 200 และ 1,000 ไมโครลิตร
3. Vortex mixer
4. Cuvette quatze

5. เครื่อง UV/VIS Spectrophotometer รุ่น Helios Alpha หมายเลขเครื่อง UVA 130623
จากบริษัท บางกอกไฮเต็ม จำกัด

6. Waterbath

สารเคมี

1. 2-thiobarbituric acid (TBA) จากบริษัท sigma
2. Trichloroacetic acid จากบริษัท sigma
3. Butylatehydroxytoluene (BHT) จากบริษัท sigma
4. n-butanol
5. Hydrochloric acid (HCl)
6. Pyridine
7. Deionized water

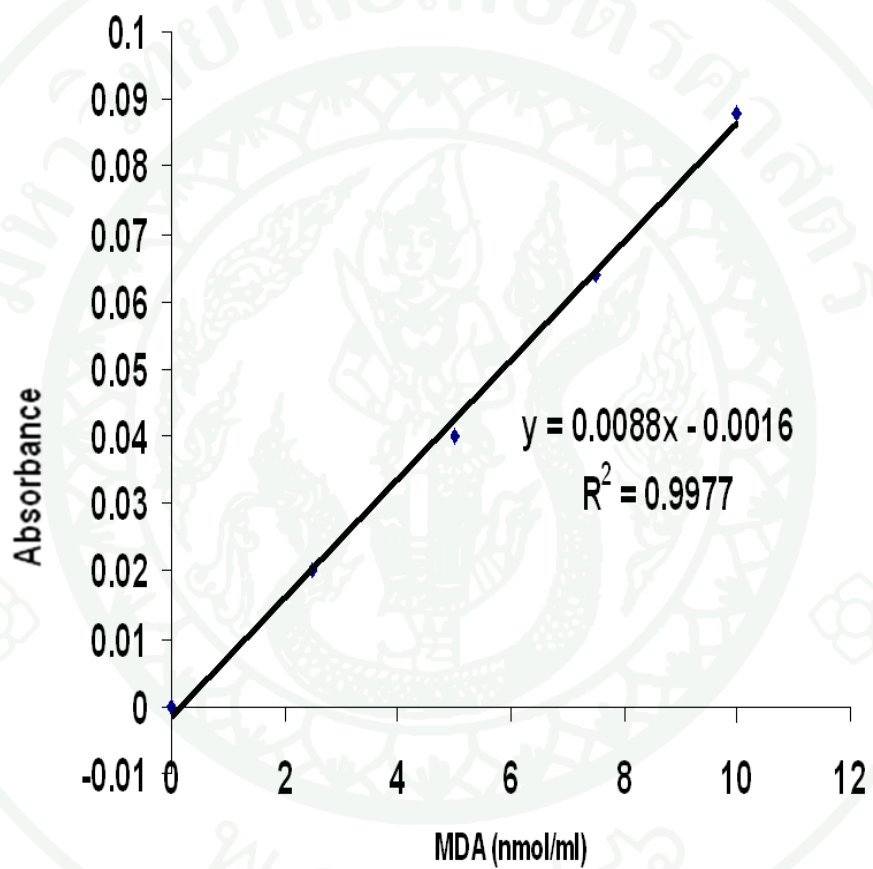
วิธีการ

1. ดูด TBA (3.7 กรัมต่อลิตร ละลายน้ำ 0.25 มิลลิลิตรของ HCl) ปริมาตร 500 ไมโครลิตร ใส่หลอด centrifuge tube
ขนาด 15 มิลลิลิตร
2. เติม 15% trichloroacetic acid (ละลายน้ำ 0.25 มิลลิลิตรของ HCl) ปริมาตร 1.5 มิลลิลิตร
3. เติม 0.5 M BHT ปริมาตร 50 ไมโครลิตร
4. เติมตัวอย่างพลาสม่า standard และ blank (deionized water) ปริมาตร 250 ไมโครลิตร
ใส่ในแต่ละหลอด
5. ผสมให้เข้ากันด้วย vortex mixer
6. ต้มที่อุณหภูมิ 95°C นาน 1 ชั่วโมง
7. ทำให้เย็นโดยแช่น้ำเย็น นาน 5 นาที
8. เติมน้ำ 1 หยด ใส่ centrifuge ที่ความเร็วรอบ 3,500 rpm นาน 10 นาที
9. นำไปปั่นด้วยเครื่อง centrifuge ที่ความเร็วรอบ 3,500 rpm นาน 10 นาที

10. ดูดส่วนชั้นบนปริมาตร 2.5 มิลลิลิตร ใส่ cuvette วัดค่า OD ที่ความยาวคลื่น 532 และ 572 นาโนเมตร เพื่อกำจัดปฏิกิริยารบกวนที่ไม่ใช่ MDA-TBA

การรายงานผล

รายงานผลความเข้มข้นของเป็น Malondialdehyde เป็น นาโนโมลต่อมิลลิลิตร



ภาพพนวกที่ 6 กราฟมานาครฐานแสดงความเข้มข้น malondialdehyde (MDA)

4. การหาปริมาณคาร์บอนิลโปรตีนในตัวอย่างพลาสม่า โดยใช้วิธีของ Levine และคณะ (1990)

การเตรียมตัวอย่าง

1. เลือดที่เก็บ (whole blood) centrifuge ที่ 1,300 g เป็นเวลา 15 นาที
2. ดูดแยกพลาสมาออกและเก็บที่ – 80 องศาเซลเซียส (จนกว่าจะนำมาใช้)

สารเคมี

1. 10 มิลลิโตร 2,4-dintrophenylhydrazine (DNPH)
2. 2.5 โมลาร์ HCl
3. 20% TCA (w/v)
4. 10 % TCA
5. thanol : ethyl acetate (1:1, v/v)
6. 6 M guanidine hydrochloride

วิธีการหาปริมาณคาร์บอนิลโปรตีน

1. เติมพลาสม่า 1.0 มิลลิลิตร ลงในหลอดทดลอง 2 หลอด (หลอดละ 1.0 มิลลิลิตร) สำหรับเตรียมเป็นตัวอย่างในการทดสอบ (test sample) และ ตัวอย่างควบคุม (control sample)
2. โดย เติม 4.0 มิลลิลิตร ของ 10 mM 2,4-dintrophenylhydrazine (DNPH) ที่ละลายด้วย 2.5 M HCl ให้เป็น ตัวอย่างในการทดสอบ
3. ใส่เฉพาะ 4.0 มิลลิลิตร ของ 2.5 โมลาร์ HCl เป็น ตัวอย่างควบคุม
4. ผสมให้เข้ากัน แล้ว incubate ที่อุณหภูมิห้อง (มีด) เป็นเวลา 1 ชั่วโมง โดยต้องเบี่ยงหลอด ทุก 15 นาที
5. เติม 20% TCA (w/v) 5 มิลลิลิตร ในทั้ง 2 หลอด ตั้งหลอดบนน้ำแข็ง 10 นาที
6. นำไป centrifuge ที่ 1,300 g เป็นเวลา 15 นาที จะได้ตะกอนโปรตีนอนกัน ดูดส่วนใสทิ้งไป
7. ล้างตะกอนโปรตีน ด้วย 10 % TCA

8. ล้างตะกอนโปรตีน อีก 3 ครั้งด้วย 4 มิลลิลิตร ของ ethanol : ethyl acetate (1:1, v/v) เพื่อกำจัดเอาส่วนที่ไม่ได้ทำปฏิกิริยากับ DNPH และ ส่วนที่เป็นไขมันออก
9. ละลายตะกอนโปรตีนด้วย 6 มิลลาร์ guanidine hydrochloride 2 มิลลิลิตร
10. incubate ที่ 37 องศาเซลเซียส นาน 10 นาที ใน water bath
11. แยกส่วนที่ไม่ละลายออก โดยการ centrifuge
12. วัดปริมาณการ์บอนิล โปรตีนด้วยเครื่อง spectrophotometer ที่ความยาวคลื่น 370 นาโนเมตร โดยเปรียบเทียบแต่ละตัวอย่างในการทดสอบ กับ ตัวอย่างควบคุม
13. คำนวณปริมาณการ์บอนิล โปรตีน โดยการเปรียบเทียบกับตัวอย่างควบคุม
14. คำนวณปริมาณการ์บอนิล โปรตีน โดยใช้ $22,000 \text{ M}^{-1}\text{Cm}^{-1}$ ซึ่งเป็นค่า molar extinction coefficient (ϵ) ของการ์บอนิล โปรตีน
15. สรุปคำนวณ

$$\text{ปริมาณการ์บอนิล โปรตีน} = \frac{\text{OD.}}{0.022} \times \frac{\text{ปริมาณตัวทำละลาย โปรตีน}}{\text{ปริมาณตัวอย่าง}}$$

แสดงหน่วยปริมาณการ์บอนิล โปรตีนเป็น นาโนโมลต่อมิลลิลิตร

5. การวิเคราะห์ค่าความเปราะของเม็ดเลือดแดง โดยวิธี Osmotic fragility test (McGown *et al.*, 1983)

วิธีการ

1. เตรียมหลอดทดลอง 8 มิลลิลิตร จำนวน 12 หลอด จำนวน 2 ชุด (duplicated) แต่ละหลอดบรรจุด้วยสาร NaCl ที่ความเข้มข้นต่างๆ ในปริมาตร 1 มิลลิลิตร ดังตาราง

หลอด ที่	1	2	3	4	5	6	7	8	9	10	11	12
%NaCl	Dw	0.25	0.30	0.35	0.40	0.45	0.50	0.55	0.60	0.65	0.70	0.75

2. นำเม็ดเลือดไปปั่นแยกพลาสماด้วยการ centrifuge ที่ความเร็ว 1,300 g นาน 7 นาที
3. ดูดแยกพลาสmaด้วยพลาสเตอร์ปีเปต เหลือไว้แต่เม็ดเลือดแดง
4. เติมสารละลายน PBS pH 7.4 ลงในหลอดบรรจุเม็ดเลือดในอัตราส่วนเม็ดเลือดต่อสารละลายน 1:5 ปิดฝาด้วย parafilm ผสมให้เข้ากันโดยการพลิกหงายหลอดช้าๆ เพื่อไม่ให้มีเม็ดเลือดแตก
5. นำส่วนผสมเม็ดเลือดไปปั่นแยกเม็ดเลือดตามข้อ 2 แล้วดูดแยกส่วนที่เป็นสารละลายน และขั้นผิวเม็ดเลือดขาวและเกล็ดเลือด (buffy coat) ทิ้งด้วยพลาสเตอร์ปีเปต
6. ทำข้อ 4-5 ซ้ำอีก 1 ครั้ง เพื่อล้างเม็ดเลือดและขัดจดพลาสmaที่ปะปนอยู่
7. เติมสารละลายน PBS pH 7.4 ลงในหลอดเม็ดเลือด ในอัตราส่วน 1:2 เพื่อให้ได้สารแขวนลอยเม็ดเลือด ในอัตราส่วน 50% ปิดฝาและผสมช้าๆ ให้เข้ากัน
8. บรรจุสารแขวนลอยเม็ดเลือด 50% ลงในแต่ละหลอดที่เตรียมไว้ตามข้อ 1 ในปริมาตร 50 ไมโครลิตร ผสมเบาๆ ให้เข้ากันและตั้งทิ้งไว้ 15 นาที
9. เติมสารละลายน 0.9% NaCl 3 มิลลิลิตร ลงในทุกหลอด ให้สารละลายนหลงตามผนังหลอดเบาๆ เพื่อระงับการแตกของเม็ดเลือด ผสมเบาๆ แล้วนำไปปั่นตามข้อ 2
10. ใช้พลาสเตอร์ปีเปตสะอัดดูดสารละลายน้ำ (supernatant) ไปวัดความเข้มสีด้วยเครื่อง spectrophotometer ที่ความยาวคลื่น 540 นาโนเมตร
11. การคำนวณและแสดงผล

11.1 การคำนวณหาปริมาณเม็ดเลือดแดง (Hemolysis) โดยใช้สูตร

$$\% \text{ Hemolysis} = \frac{\text{O.D. Soln}}{\text{O.D. H}_2\text{O}} \times 100$$

O.D. Soln = Optical density ของสารละลายน้ำจากการแตกของเม็ดเลือดแดง ในสารละลายนิดต่างๆ

O.D. H₂O = Optical density ของสารละลายน้ำจากการแตกของเม็ดเลือดแดง ในน้ำกลั่น

11.2 การคำนวณค่า Mean Corpuscular Fragility (MCF) โดยใช้สูตร ดังนี้

$0.05 \times \text{ค่าสูงสุดที่อยู่ในช่วงที่ทำให้มีดเลือดแดงแตก } 50\% - 50$

$$\frac{\text{ค่าสูงสุดที่อยู่ในช่วงที่ทำให้มีดเลือด} - \text{ค่าต่ำสุดที่อยู่ในช่วงที่ทำให้มีดเลือด}}{\text{แดงแตก } 50\% \quad \text{แดงแตก } 50\%}$$

นำผลของสมการที่ (1) + % NaCl ของค่าสูงสุดที่อยู่ในช่วงที่ทำให้มีดเลือดแดงแตก 50% จะได้ค่า MCF ที่มีหน่วยเป็น % NaCl ที่ทำให้มีดเลือดแดงแตกที่ระดับ 50%

ประวัติการศึกษาและการทำงาน

ชื่อ	นายธนานินทร์ สิงกันยา
เกิดวันที่	23 กรกฎาคม 2526
สถานที่เกิด	อำเภอคลองลาไ洒 จังหวัด กาฬสินธุ์
ประวัติการศึกษา	วท.บ. (วิทยาศาสตร์สุขภาพสัตว์) มหาวิทยาลัยเทคโนโลยีราชมงคลตะวันออก วิทยาเขตบางพระ จังหวัด ฉะบุรี

